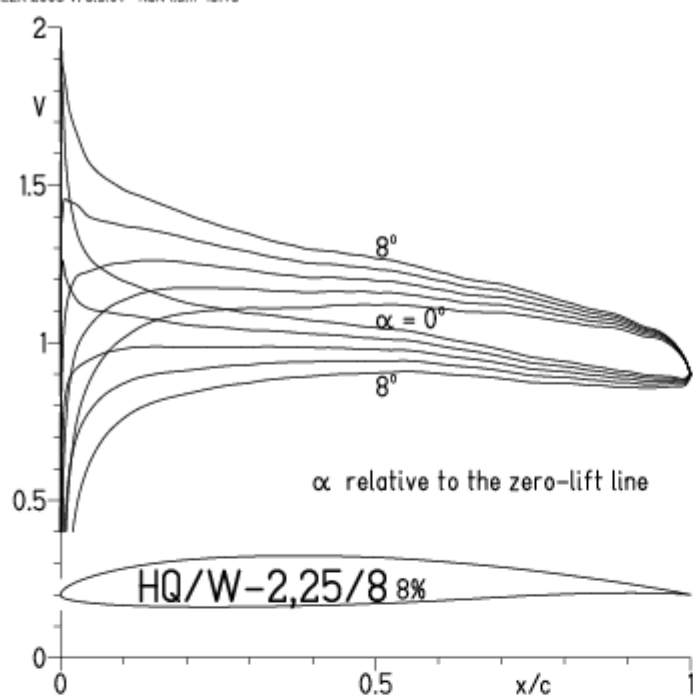


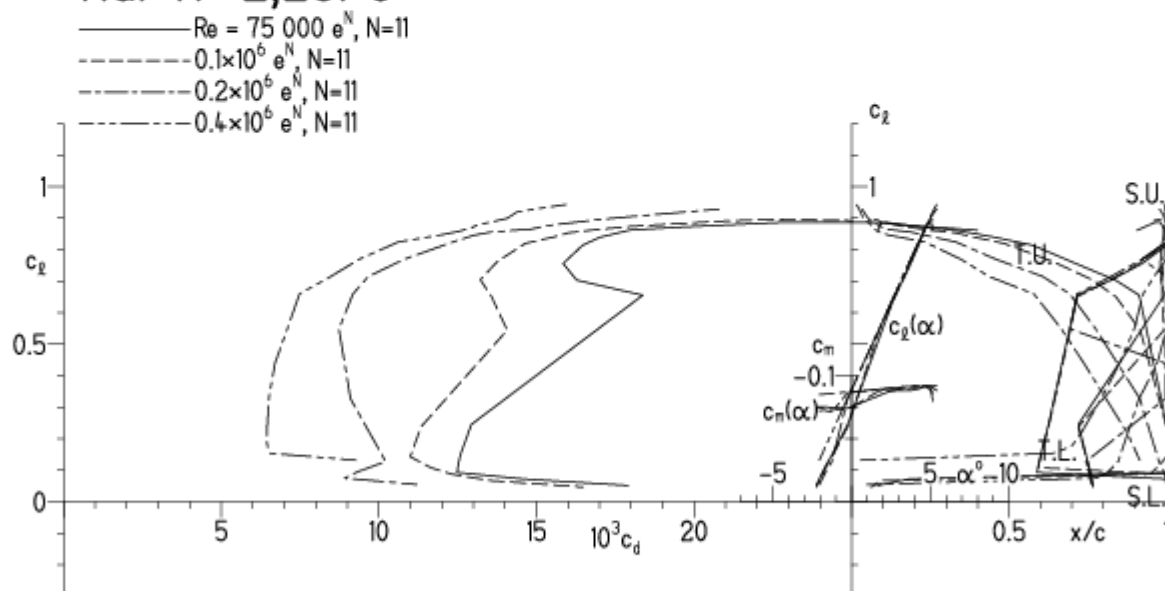
# HQ/W-2,25/8, N=11

EPPLER 2005 V. 8.5.07 RUN 1.3.11 18:46



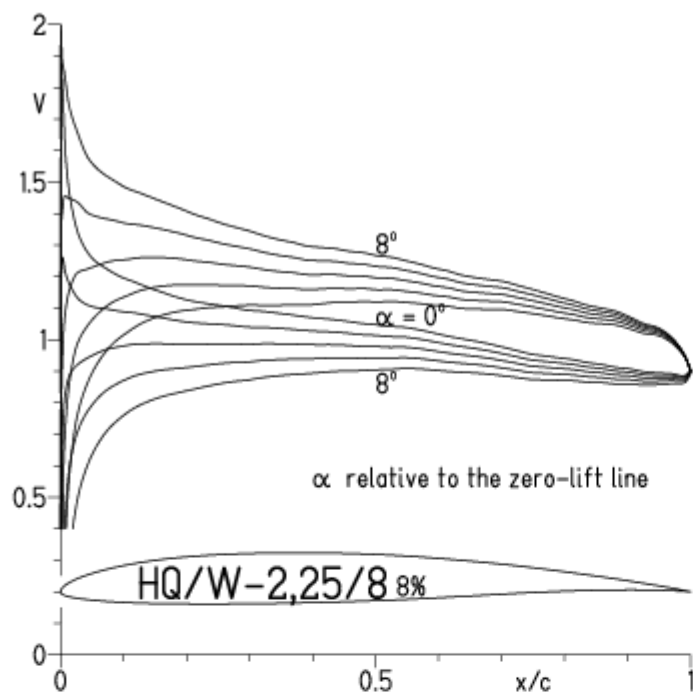
EPPLER 2005 V. 8.5.07 RUN 1.3.11 18

## HQ/W-2,25/8 8%



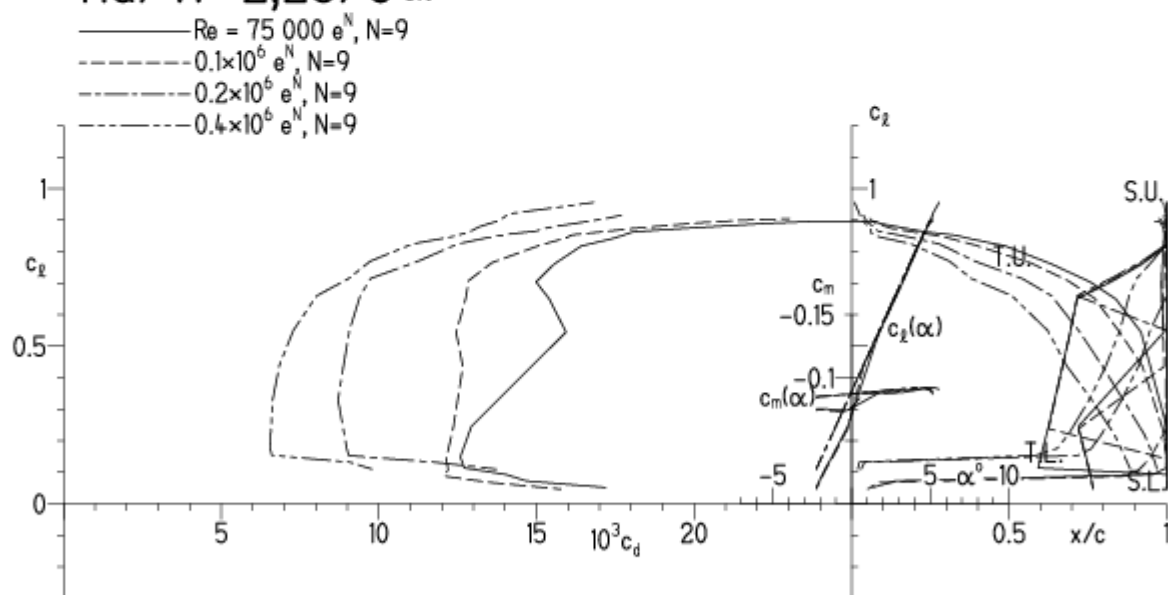
# HQ/W-2,25/8, N=9

EPPLER 2005 V. 8.5.07 RUN 1.3.11 18:52



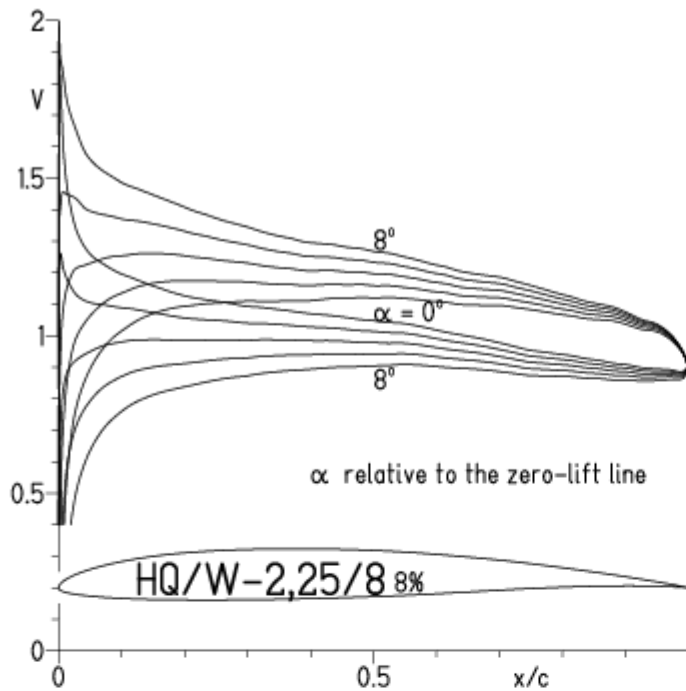
EPPLER 2005 V. 8.5.07 RUN 1.3.11 18:52

## HQ/W-2,25/8 8%



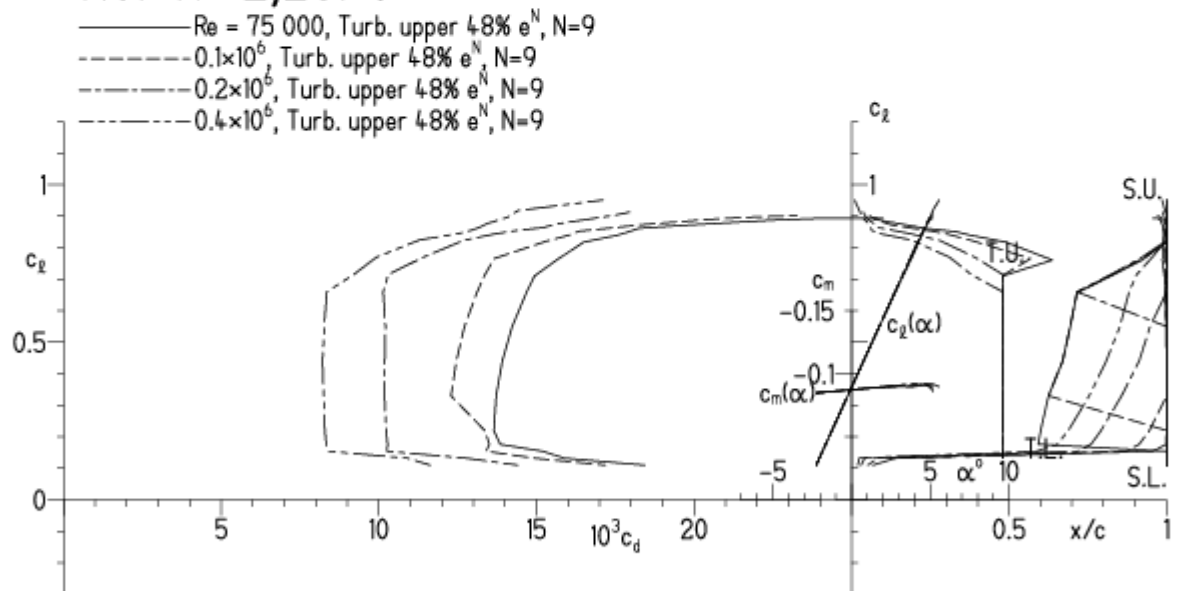
# HQ/W-2,25/8, N=9, Turbulatoreffekt (optimal beim Maximum der Wölbung)

EPPLER 2005 V. 8.5.07 RUN 1.3.11 18:57



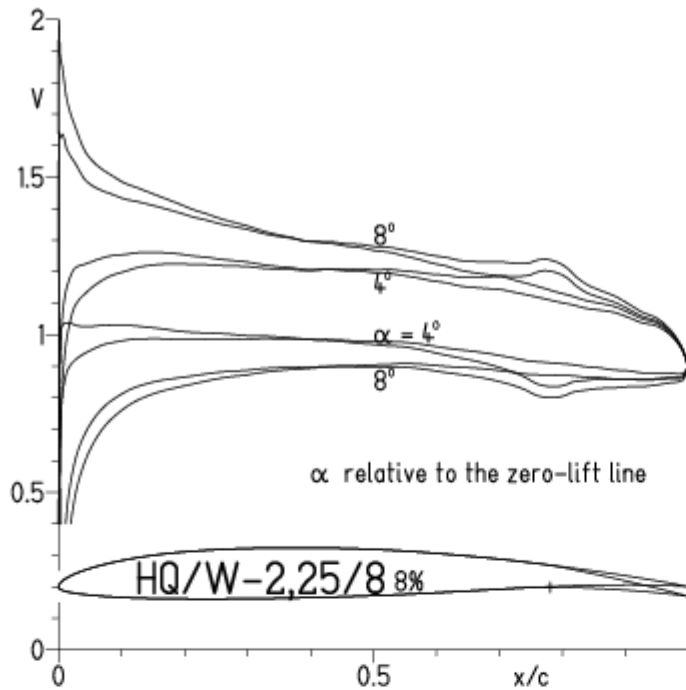
EPPLER 2005 V. 8.5.07 RUN 1.

## HQ/W-2,25/8 8%



# HQ/W-2,25/8, N=11, mit $+4^\circ$ Wölbklappenausschlag

EPPLER 2005 V. 8.5.07 RUN 3.3.11 11:51

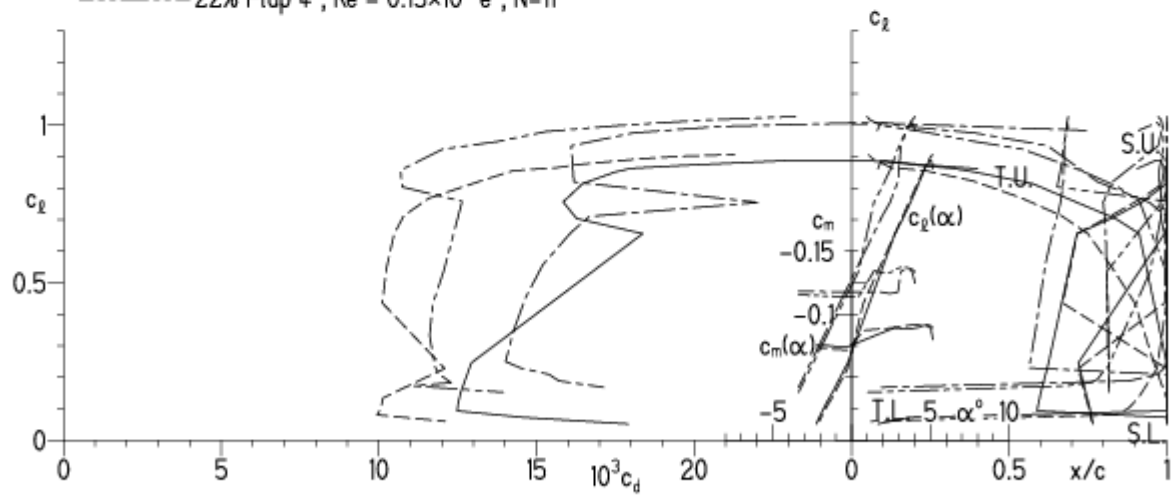


EPPLER 2005 V. 8.5.07 RUN 3.3.11 11:51

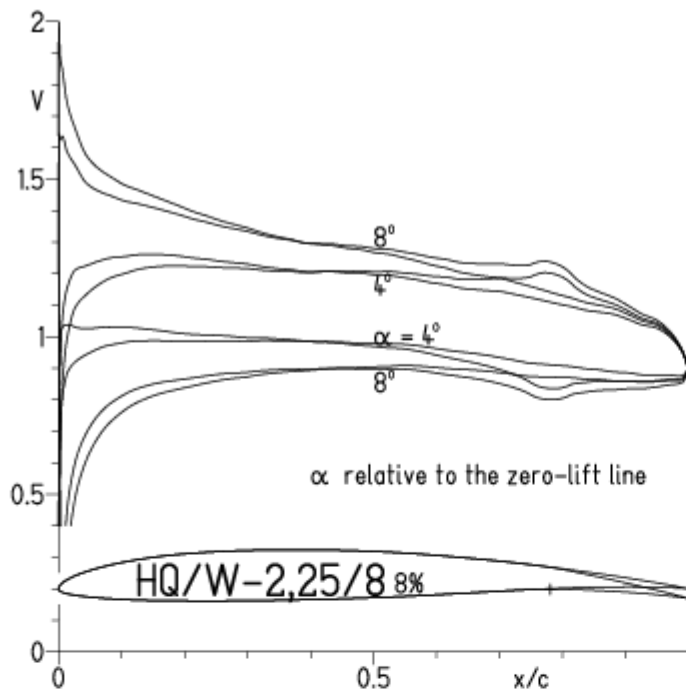
### HQ/W-2,25/8 8%

- $Re = 75\,000\, e^N, N=11$
- - -  $0.15 \times 10^6\, e^N, N=11$
- · - 22% Flap  $4^\circ, Re = 75\,000\, e^N, N=11$
- · - 22% Flap  $4^\circ, Re = 0.15 \times 10^6\, e^N, N=11$

- T. boundary layer transition
- S. boundary layer separation
- U. upper surface
- L. lower surface



EPPLER 2005 V. 8.5.07 RUN 3.3.11 11:55

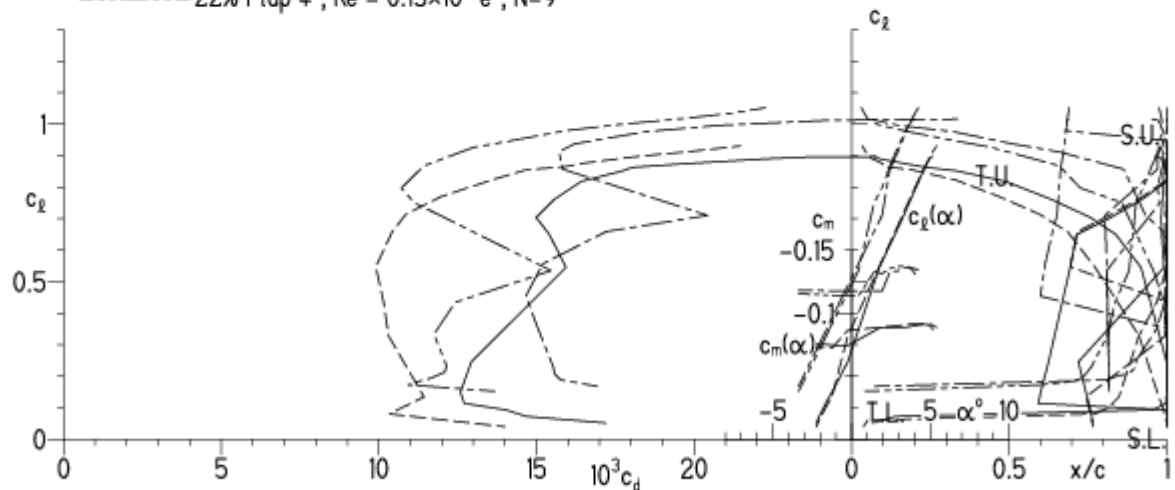


EPPLER 2005 V. 8.5.07 RUN 3.3.11 11

HQ/W-2,25/8 8%

- $Re = 75\,000\, e^N, N=9$
- - -  $0.15 \times 10^6\, e^N, N=9$
- · - 22% Flap  $4^\circ, Re = 75\,000\, e^N, N=9$
- · - 22% Flap  $4^\circ, Re = 0.15 \times 10^6\, e^N, N=9$

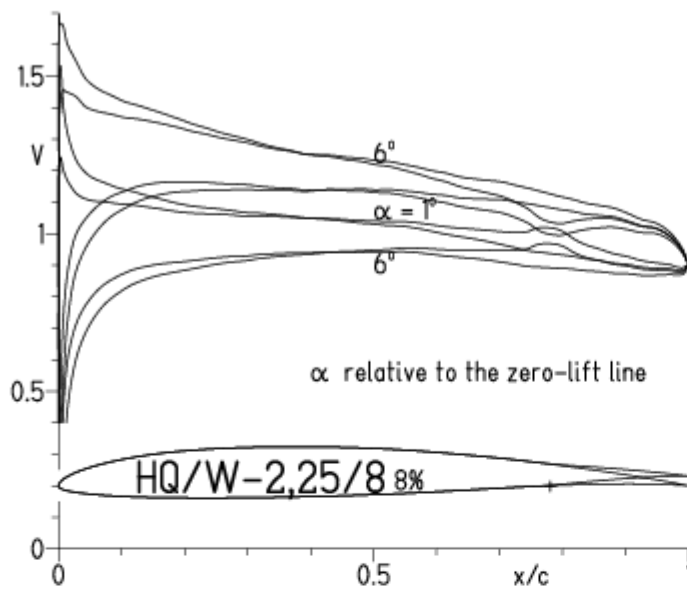
- T. boundary layer transition
- S. boundary layer separation
- U. upper surface
- L. lower surface



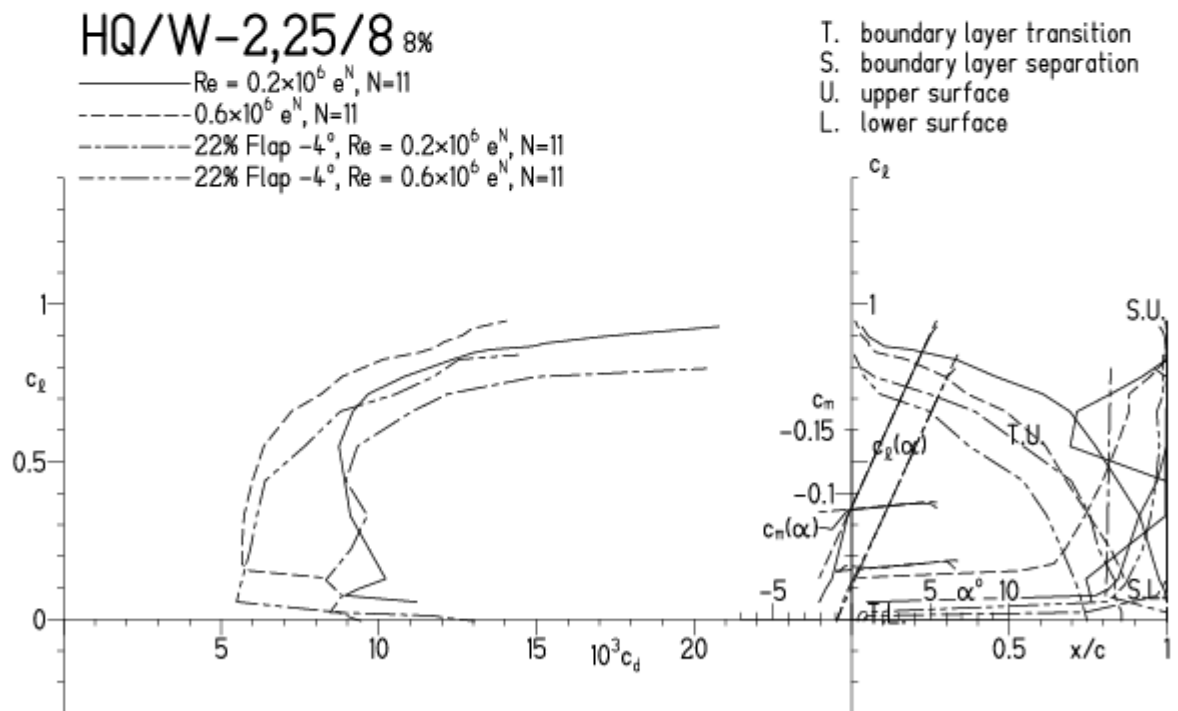
HQ/W-2,25/8,  $N=9$  mit  $+4^\circ$  Wölbklappenausschlag, Turbulatoreffekt  
(Verbesserungen für niedrige Geschwindigkeiten und Profiltiefen an Flügelenden)



EPPLER 2005 V. 8.5.07 RUN 3.3.11 12:23

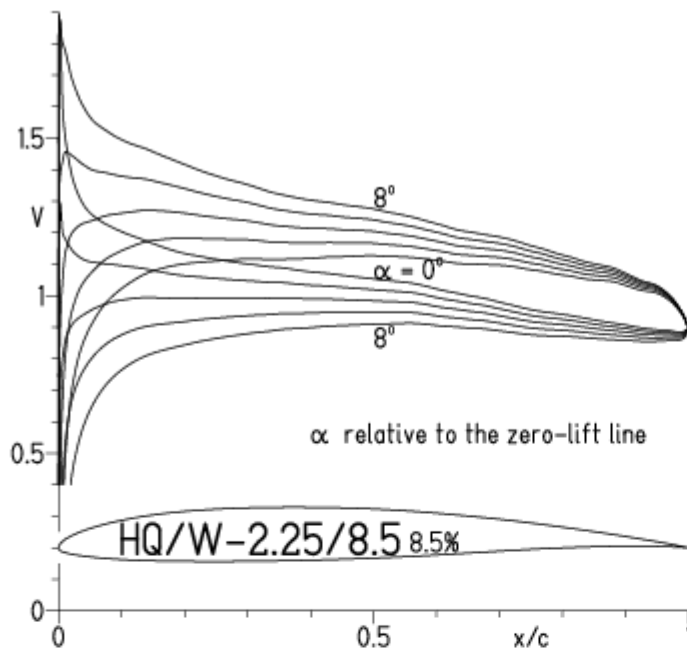


EPPLER 2005 V. 8.5.07 RUN 3.3.11 1

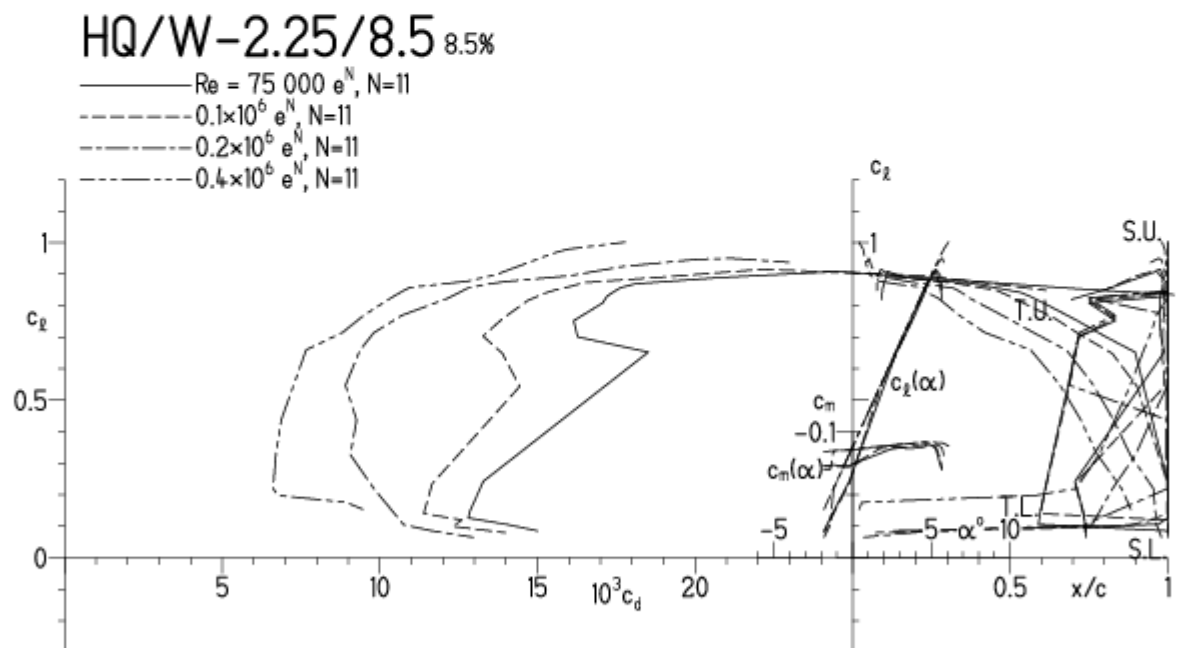


HQ/W-2,25/8,5, N=11

EPPLER 2005 V. 8.5.07 RUN 24.3.11 13:07



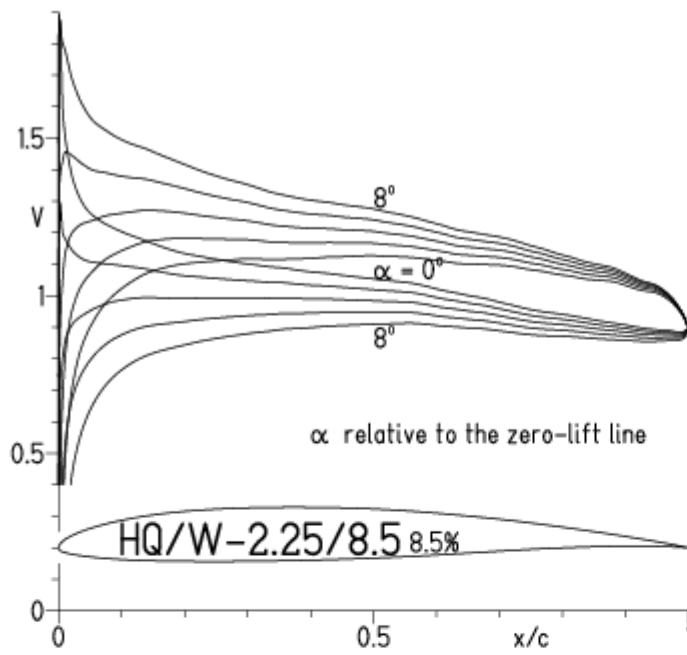
EPPLER 2005 V



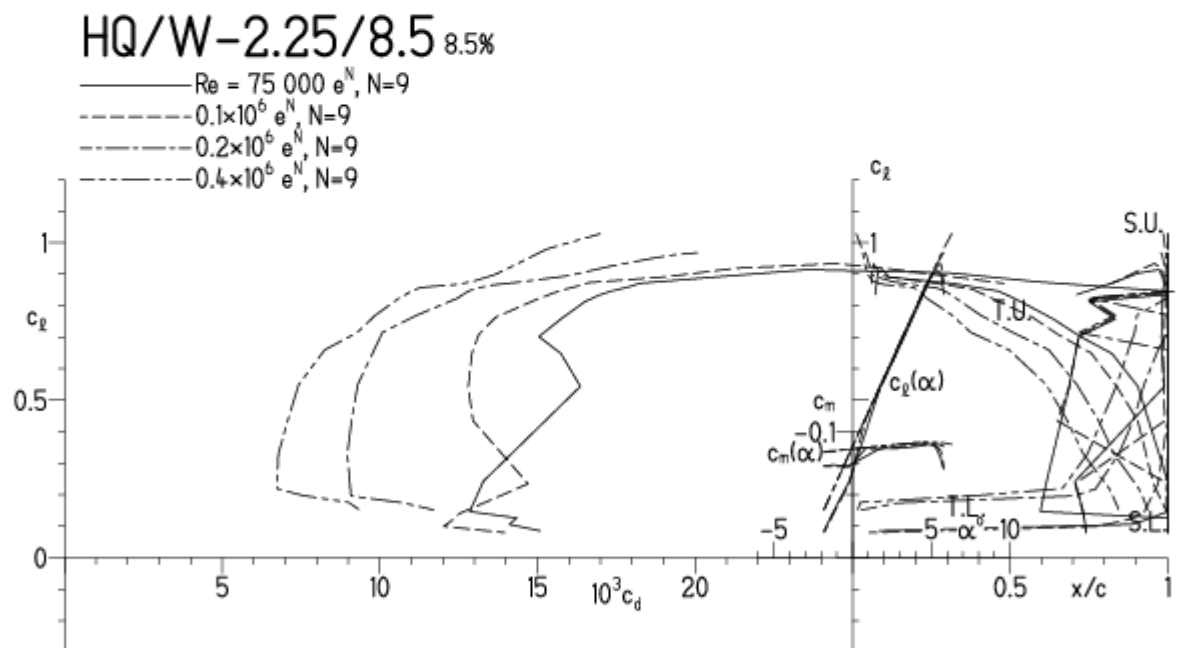
HQ/W-2.25/8.5,  $N=9$



EPPLER 2005 V. 8.5.07 RUN 24.3.11 13:33

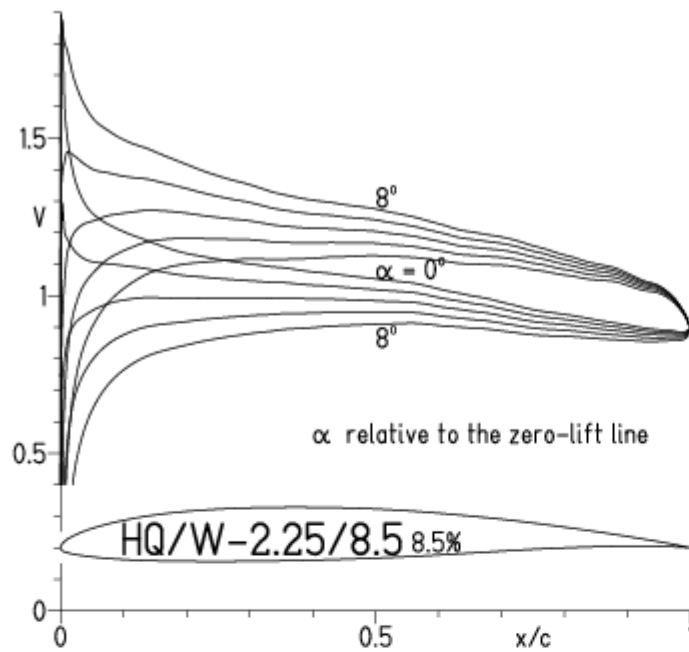


EPPLER 2005 V. 8.5.07 RUN 24.3.11 13:



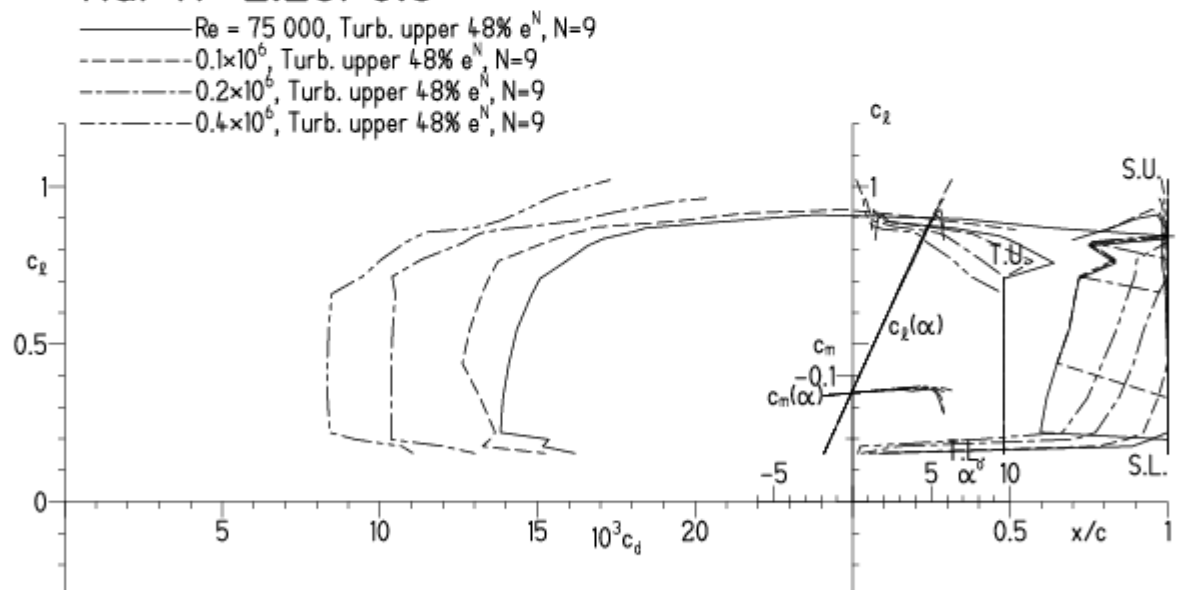
HQ/W-2,25/8,5,  $N=9$ , Turbulatoreffekt (optimal beim Maximum der Wölbung)

EPPLER 2005 V. 8.5.07 RUN 24.3.11 17:31



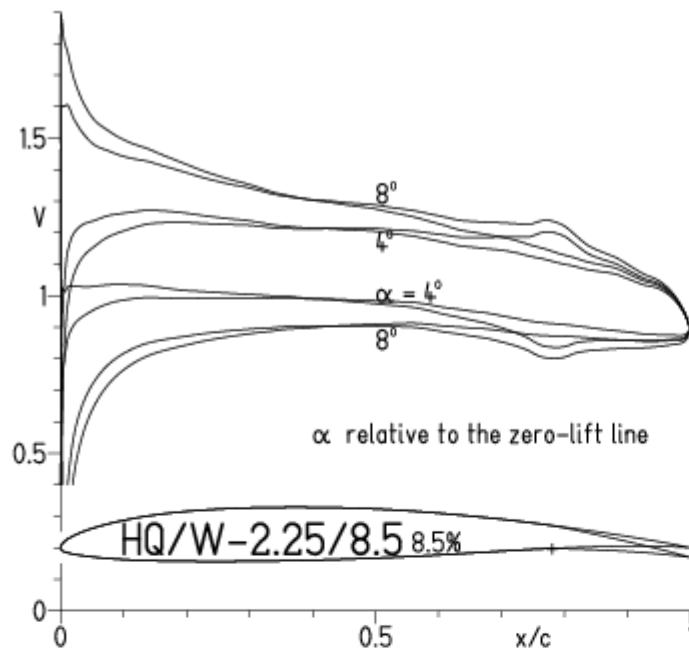
EPPLER 2005 V.

### HQ/W-2.25/8.5 8.5%

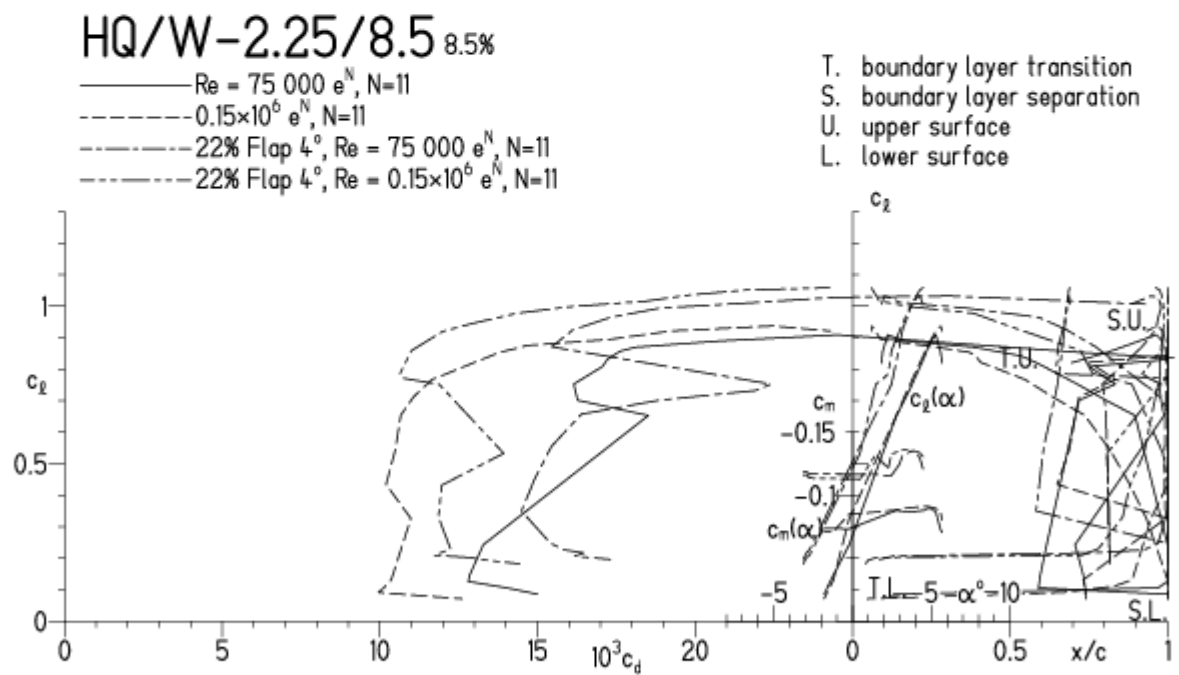


HQ/W-2,25/8,5,  $N=11$ , mit  $+4^\circ$  Wölbklappenausschlag

EPPLER 2005 V. 8.5.07 RUN 24.3.11 18:08

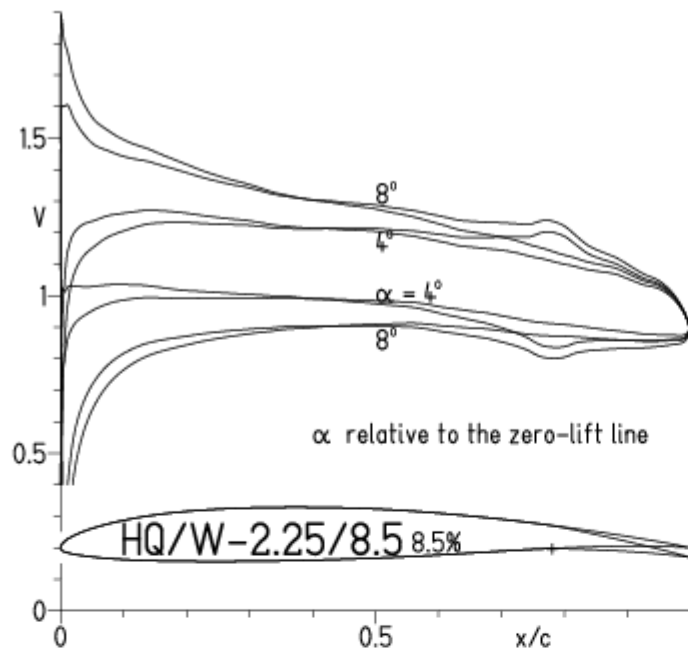


EPPLER 2005 V. 8.5.

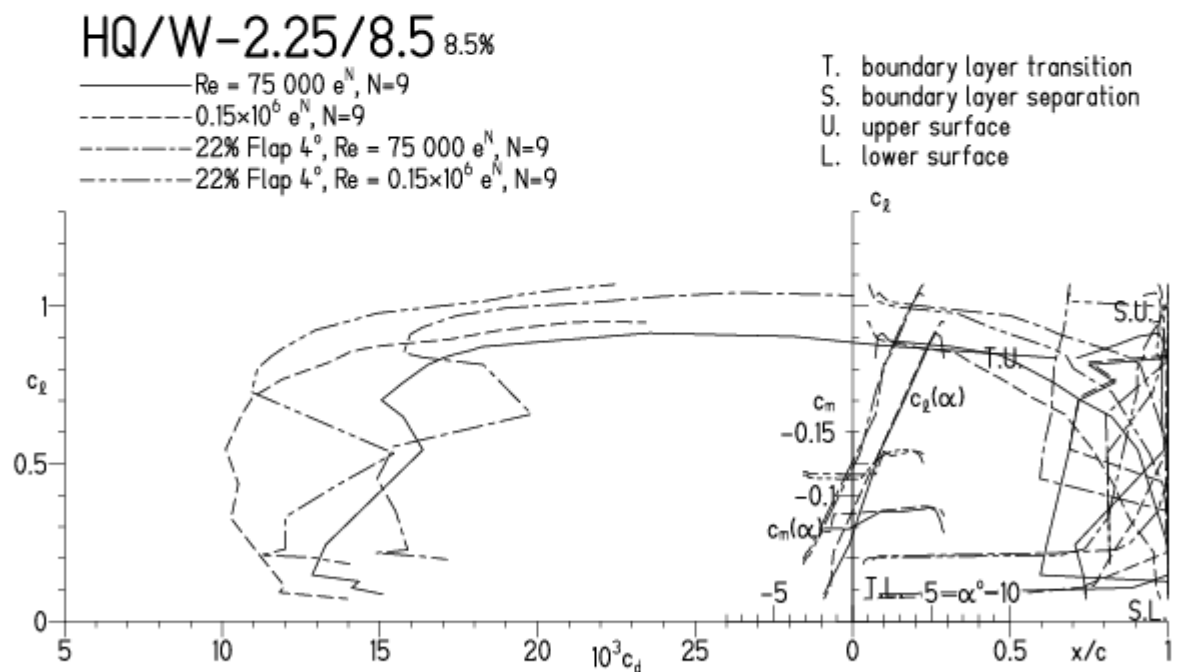


HQ/W-2,25/8,5,  $N=9$ , mit  $+4^\circ$  Wölbklappenausschlag

EPPLER 2005 V. 8.5.07 RUN 24.3.11 18:12

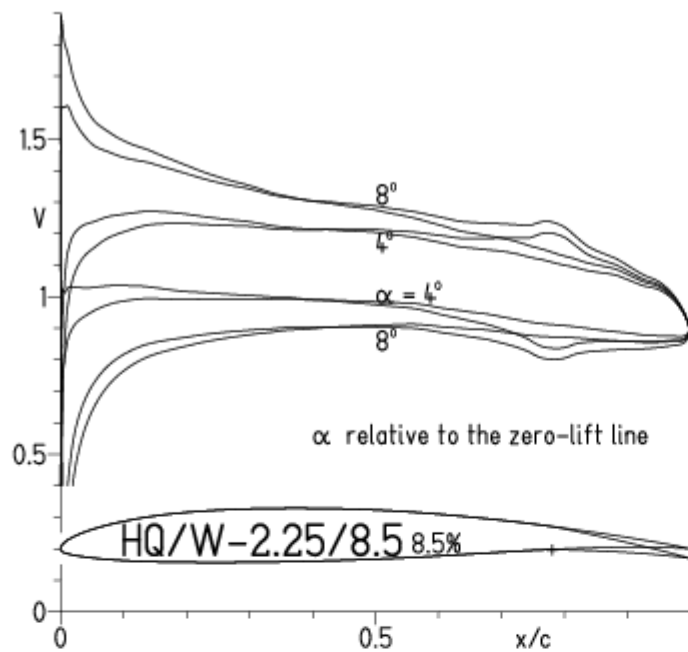


EPPLER 2005 V.



HQ/W-2,25/8,5, N=9 mit  $+4^\circ$  Wölbklappenausschlag, Turbulatoreffekt  
(Verbesserungen für niedrige Geschwindigkeiten und Profiltiefen an Flügelenden)

EPPLER 2005 V. 8.5.07 RUN 24.3.11 18:16

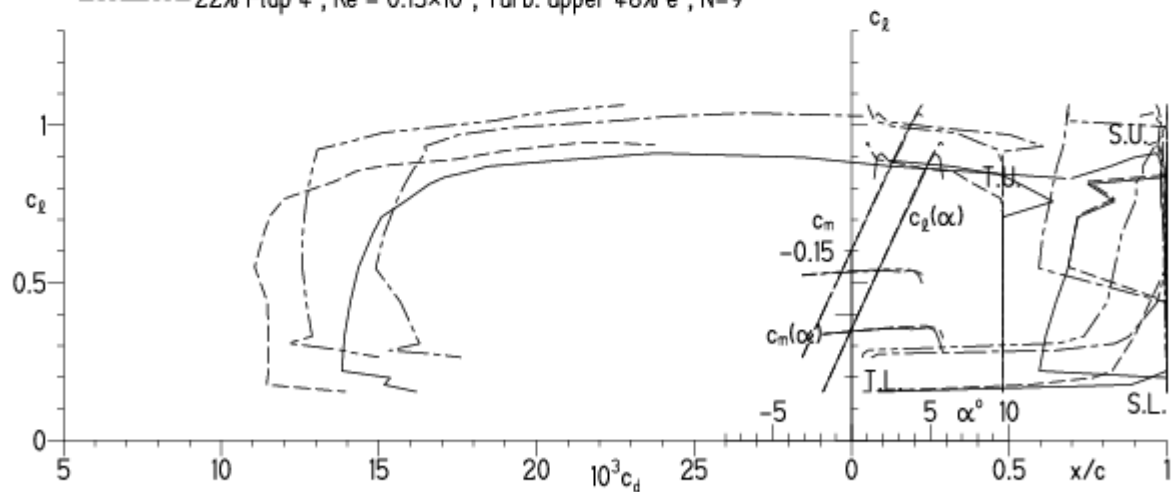


EPPLER 2005 V. 8.5.07 RUN 24.3.11 1

### HQ/W-2.25/8.5 8.5%

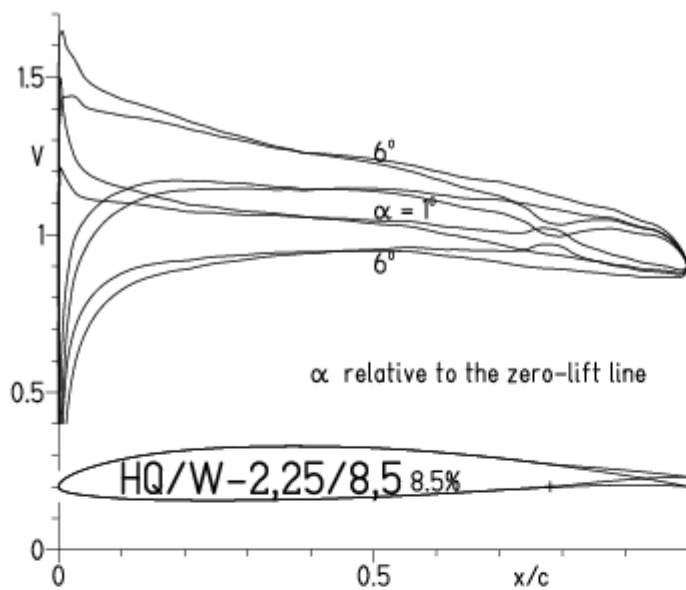
- $Re = 75\,000$ , Turb. upper 48%  $e^N$ ,  $N=9$
- - -  $0.15 \times 10^6$ , Turb. upper 48%  $e^N$ ,  $N=9$
- - - 22% Flap  $4^\circ$ ,  $Re = 75\,000$ , Turb. upper 48%  $e^N$ ,  $N=9$
- - - 22% Flap  $4^\circ$ ,  $Re = 0.15 \times 10^6$ , Turb. upper 48%  $e^N$ ,  $N=9$

- T. boundary layer transition
- S. boundary layer separation
- U. upper surface
- L. lower surface

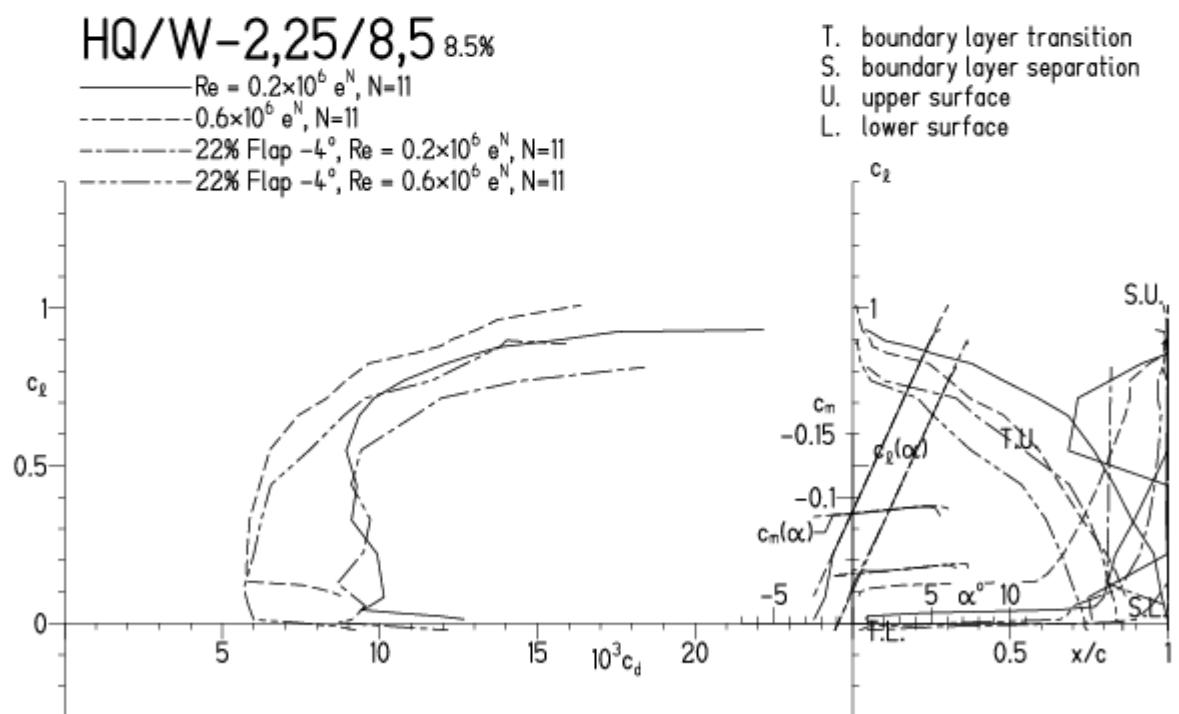


HQ/W-2.25/8.5,  $N=11$  mit  $-4^\circ$  Wölbklappenausschlag  
(F3J-Modelle mit  $30\text{ g/dm}^2$  erreichen damit ca.  $50\text{ m/s}$  Höchstgeschwindigkeit)

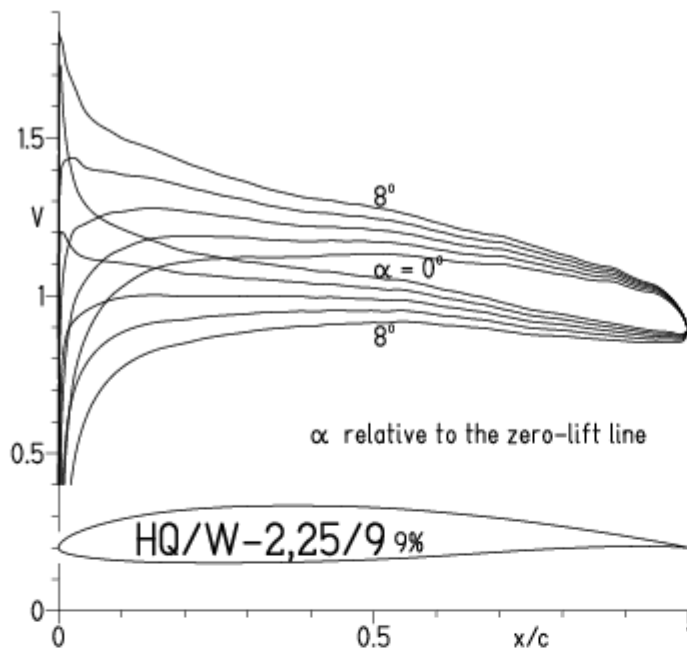
EPPLER 2005 V. 8.5.07 RUN 24.3.11 19:09



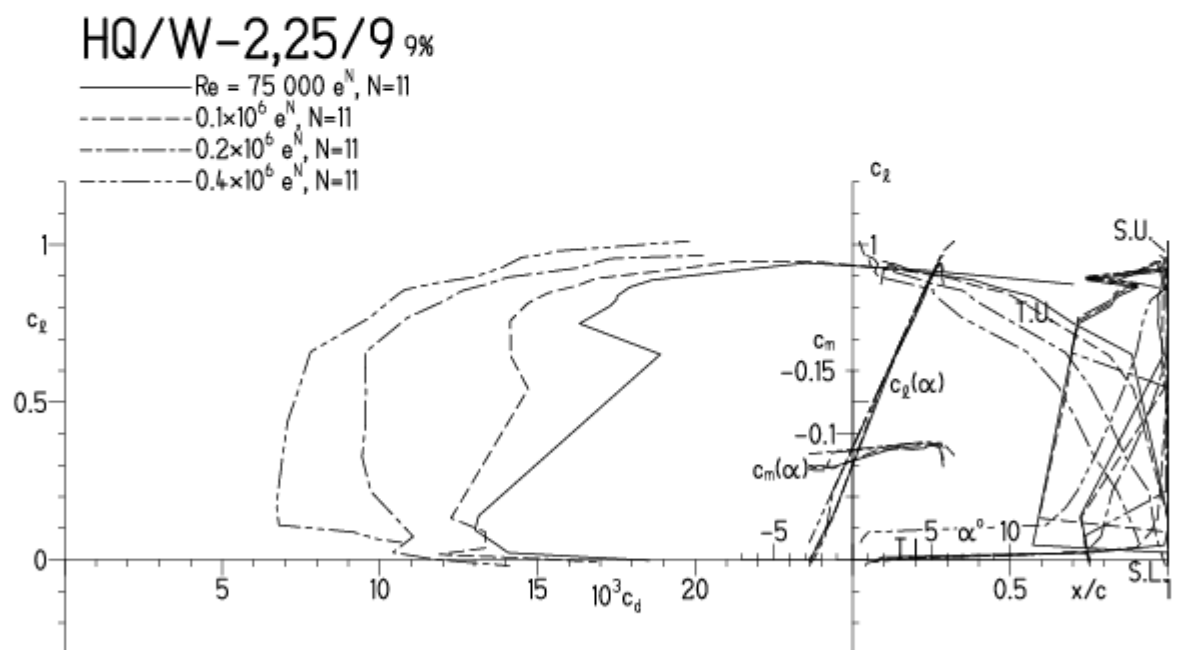
EPPLER 2005 V. 8.5.07 RUN 24.3.11 19:09

HQ/W-2,25/9, N=11

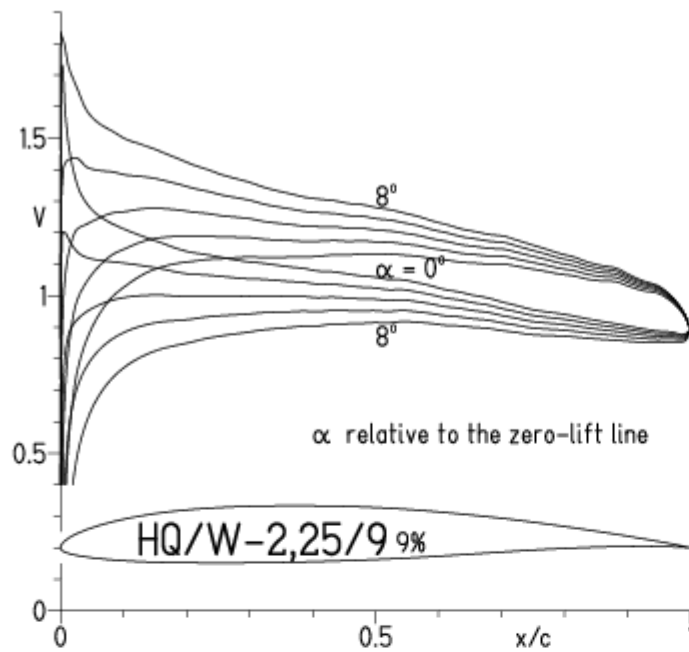
EPPLER 2005 V. 8.5.07 RUN 7.3.11 17:50



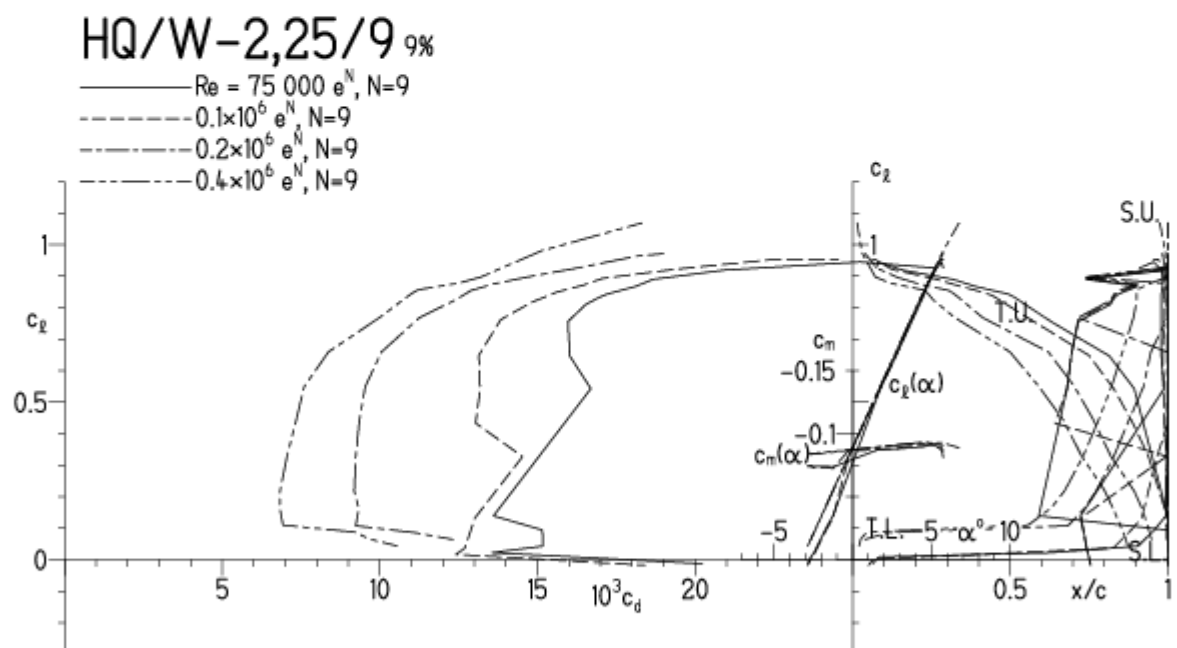
EPPLER 2005 V. 8.5.07 RUN 7.3.11 17:50

HQ/W-2,25/9, N=9

EPPLER 2005 V. 8.5.07 RUN 7.3.11 18:08



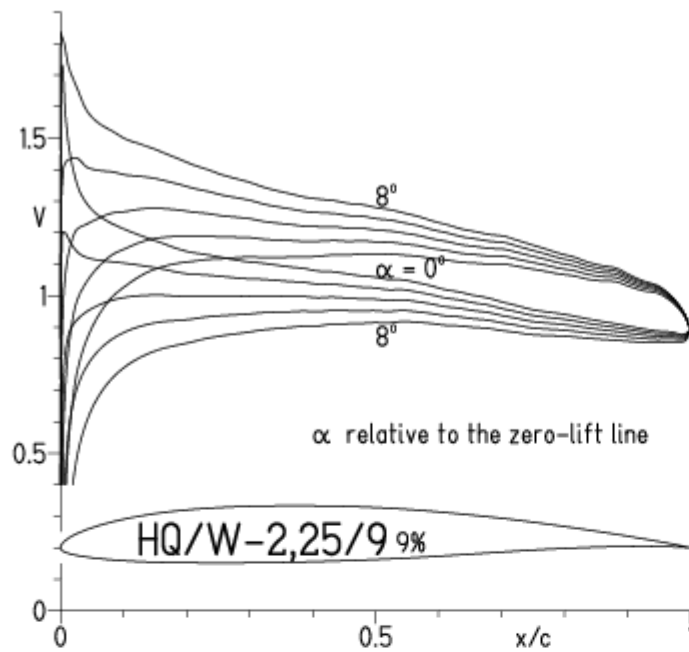
EPPLER 2005 V. 8.



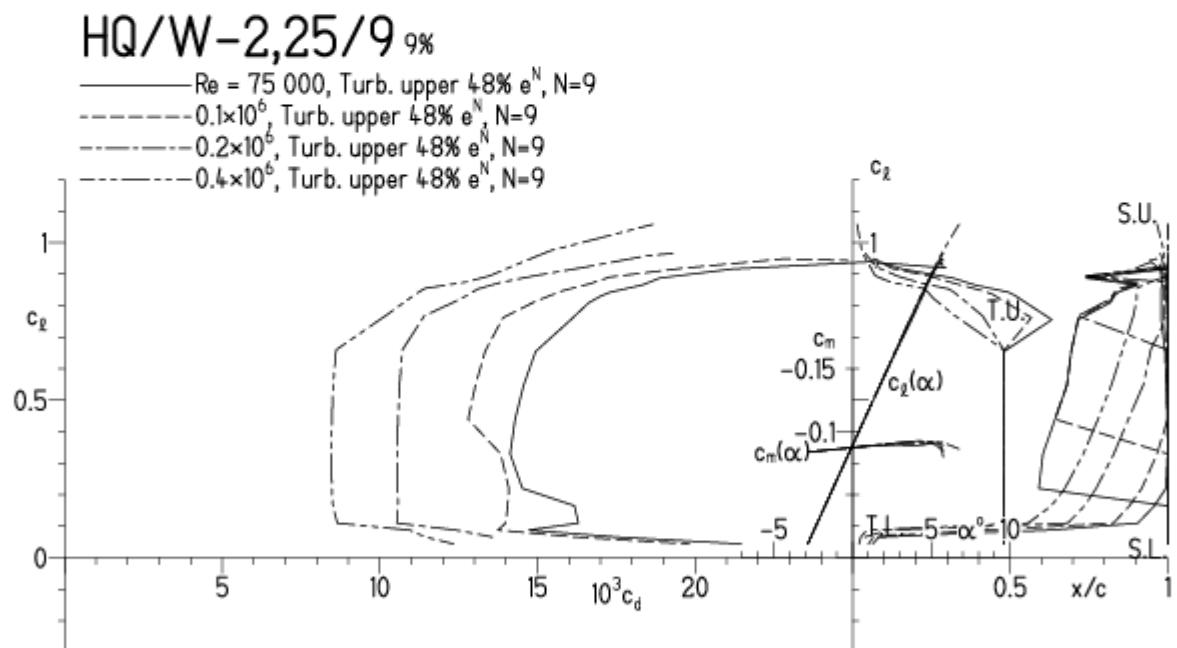
HQ/W-2,25/9,  $N=9$ , Turbulatoreffekt (optimal beim Maximum der Wölbung)



EPPLER 2005 V. 8.5.07 RUN 7.3.11 18:12

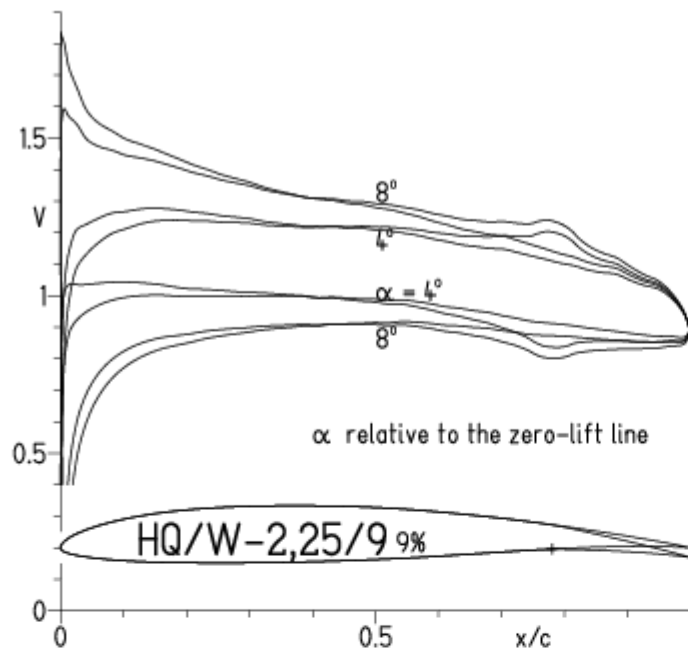


EPPLER 2005 V. 8.5.07 RUN 7

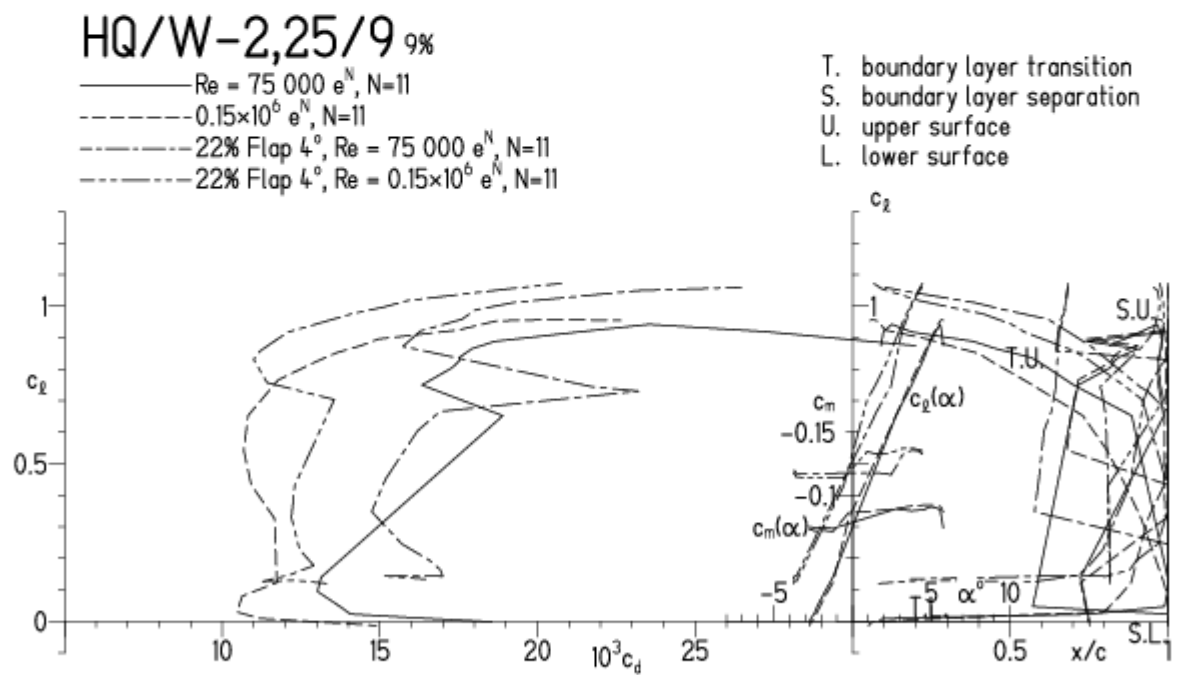


HQ/W-2,25/9,  $N=11$ , mit  $+4^\circ$  Wölbklappenausschlag

EPPLER 2005 V. 8.5.07 RUN 8.3.11 15:38

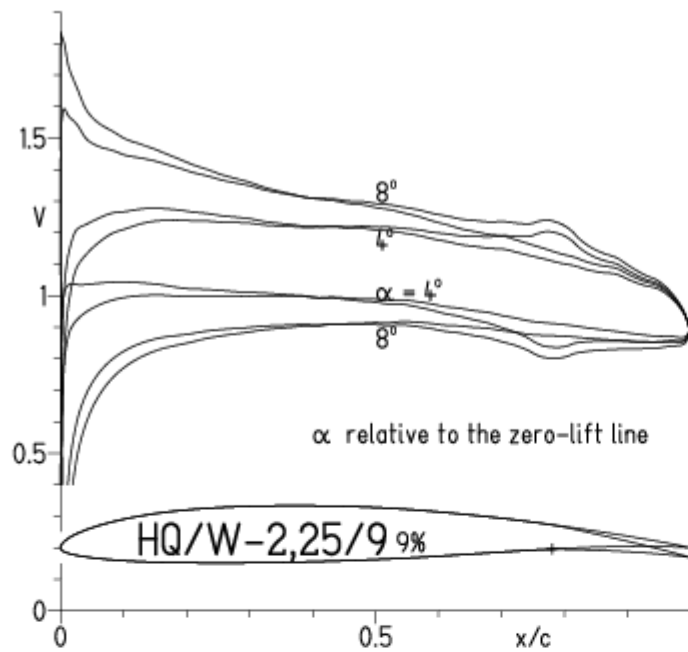


EPPLER 2005 V. 8.5.07 RUN 8.3.11 15:3

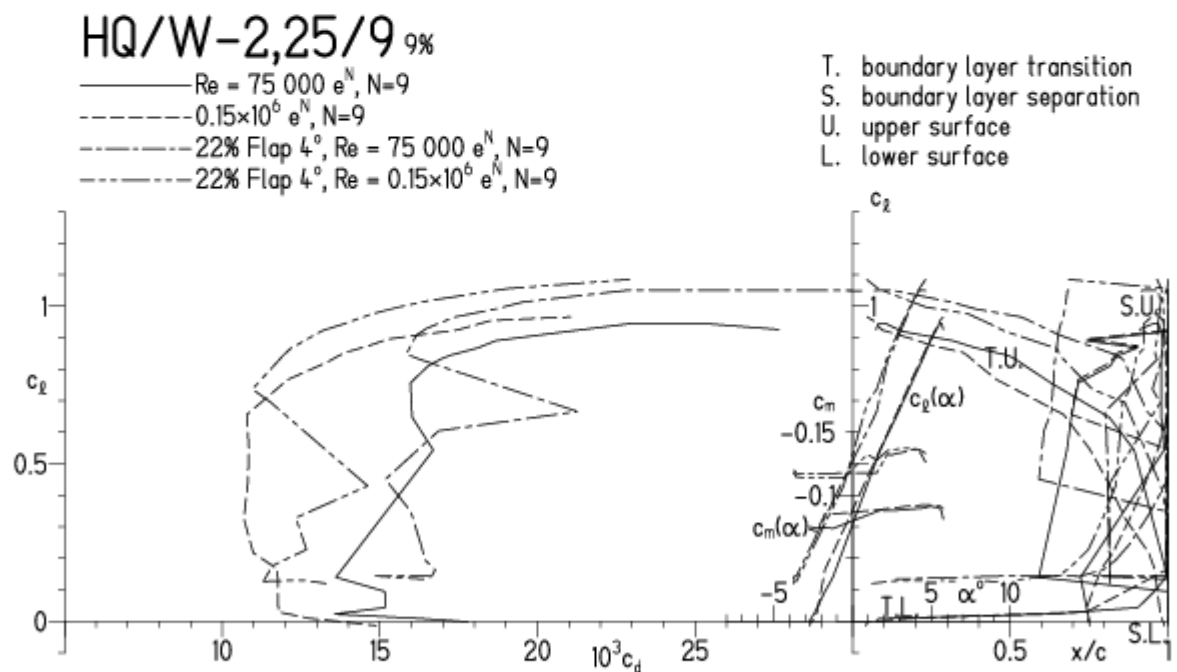


HQ/W-2,25/9, N=9, mit  $+4^\circ$  Wölbklappenausschlag

EPPLER 2005 V. 8.5.07 RUN 8.3.11 15:48

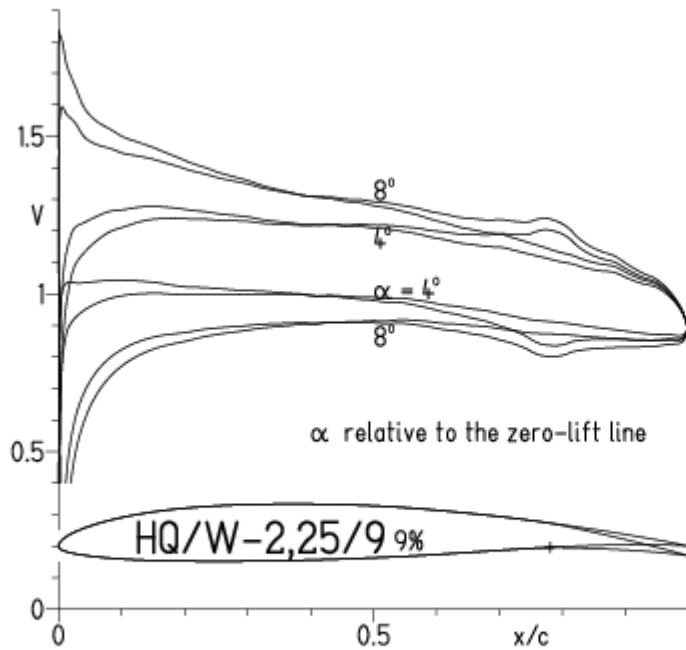


EPPLER 2005 V. 8.5.07 RUN 8.3.1



HQ/W-2,25/, N=9 mit  $+4^\circ$  Wölbklappenausschlag, Turbulatoreffekt  
(Verbesserungen für niedrige Geschwindigkeiten und Profiltiefen an Flügelenden)

EPPLER 2005 V. 8.5.07 RUN 8.3.11 15:54

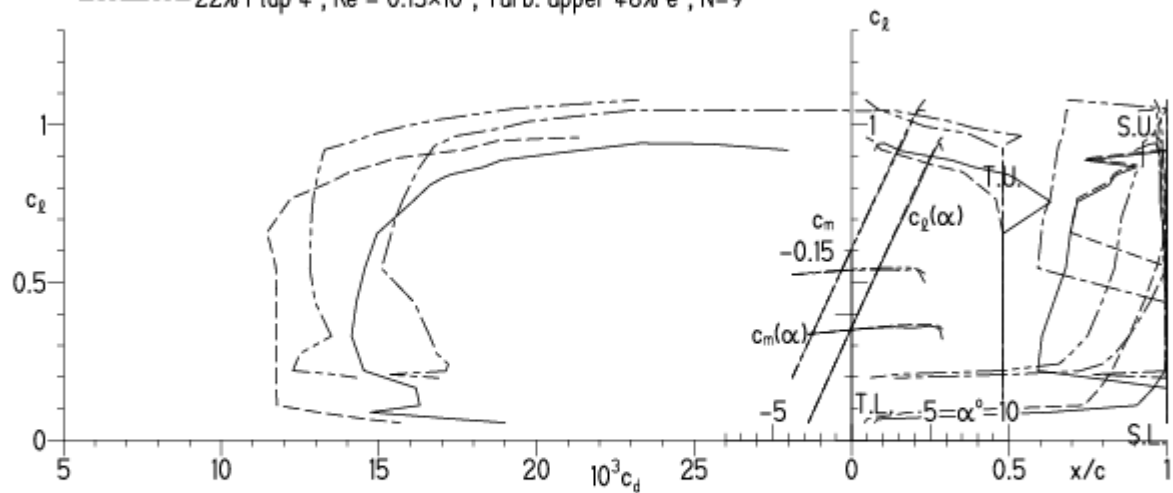


EPPLER 2005 V. 8.5.07 RUN 8.3.11 15:54

### HQ/W-2,25/9 9%

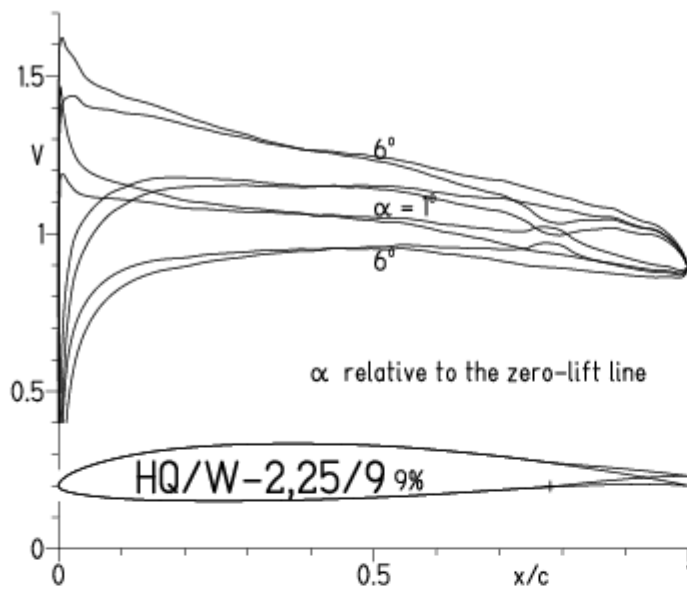
- $Re = 75\,000$ , Turb. upper 48%  $e^N$ ,  $N=9$
- - -  $0.15 \times 10^6$ , Turb. upper 48%  $e^N$ ,  $N=9$
- · - 22% Flap  $4^\circ$ ,  $Re = 75\,000$ , Turb. upper 48%  $e^N$ ,  $N=9$
- · - 22% Flap  $4^\circ$ ,  $Re = 0.15 \times 10^6$ , Turb. upper 48%  $e^N$ ,  $N=9$

- T. boundary layer transition
- S. boundary layer separation
- U. upper surface
- L. lower surface

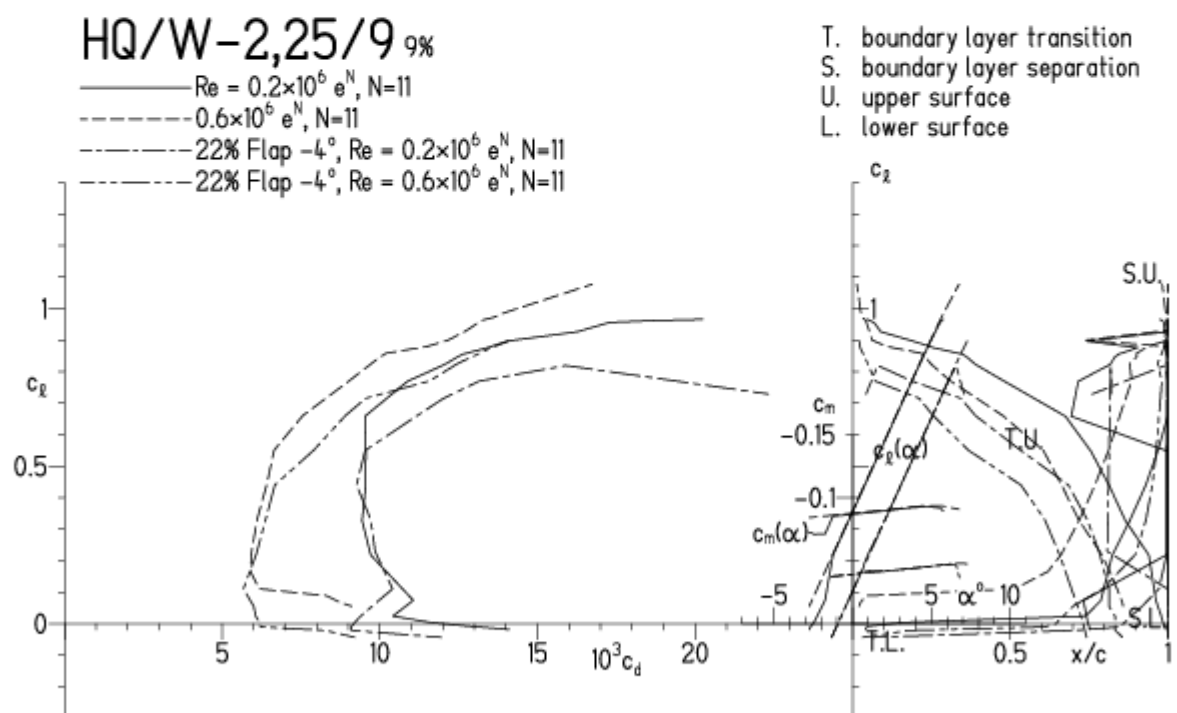


HQ/W-2,25/9,  $N=11$  mit  $-4^\circ$  Wölbklappenausschlag  
 (F3J-Modelle mit  $30\text{ g/dm}^2$  erreichen damit ca. 50 m/s Höchstgeschwindigkeit)

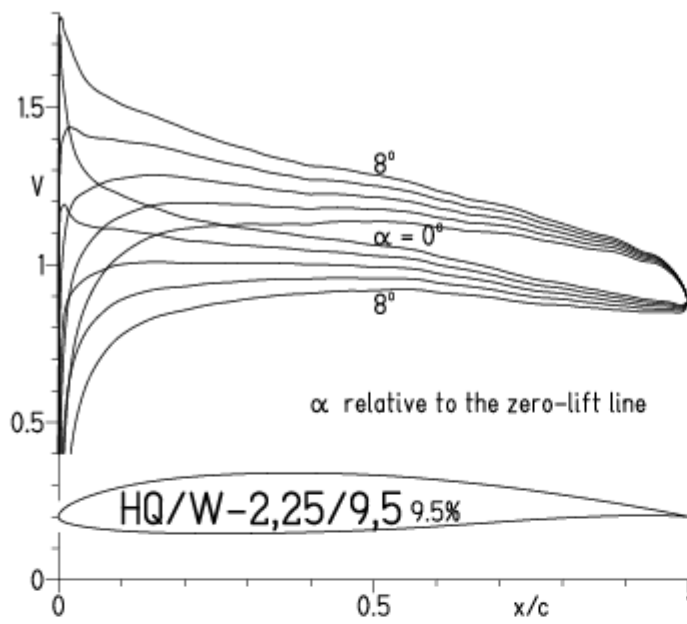
EPPLER 2005 V. 8.5.07 RUN 8.3.11 16:17



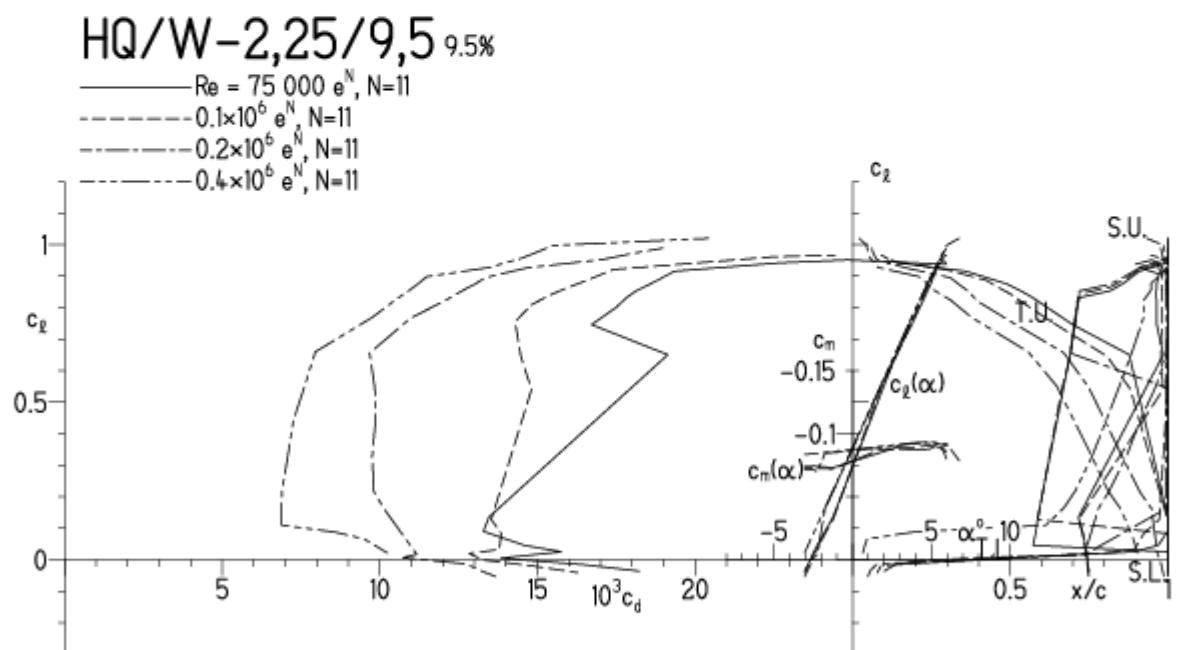
EPPLER 2005 V. 8.5.07 RUN 8.3.11 16:02

HQ/W-2,25/9,5, N=11

EPPLER 2005 V. 8.5.07 RUN 8.3.11 16:33

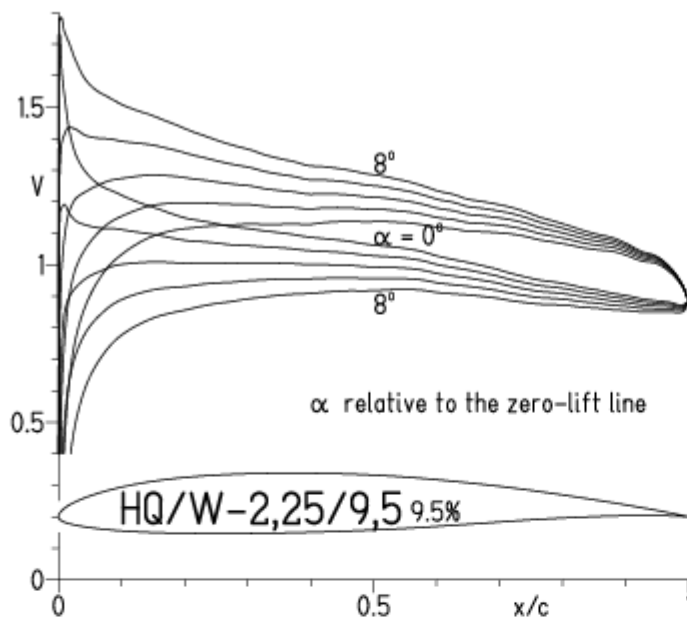


EPPLER 2005 V. 8.5.07 RUN 8.3.11 16:33

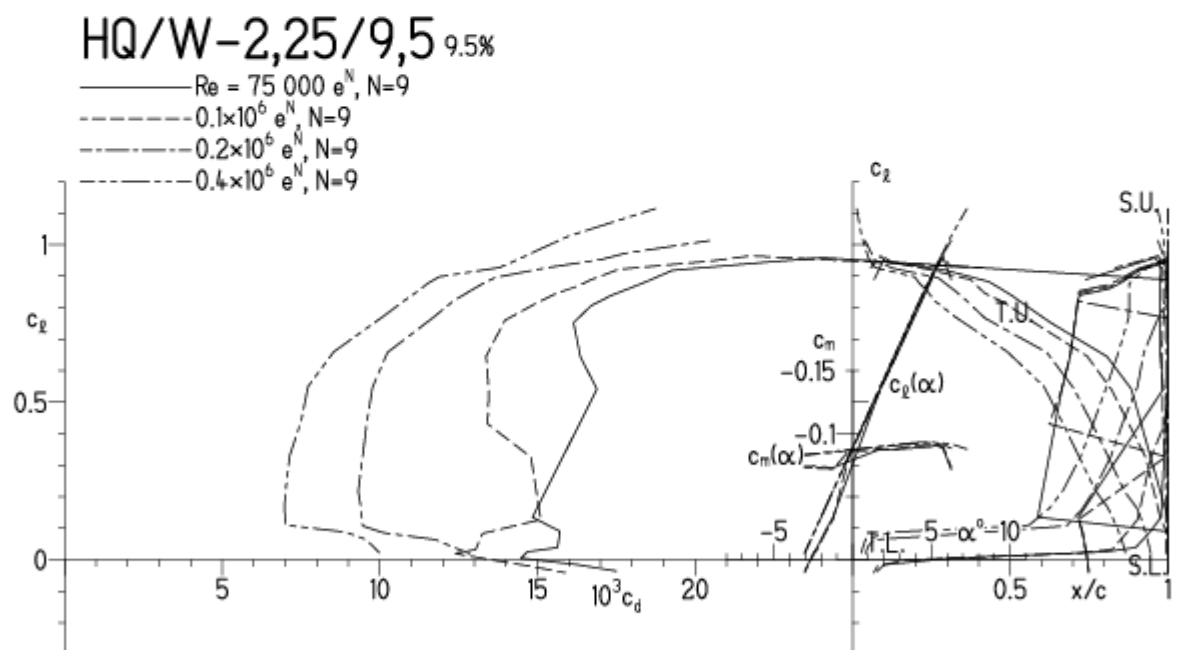


HQ/W-2,25/9,5, N=9

EPPLER 2005 V. 8.5.07 RUN 8.3.11 16:43

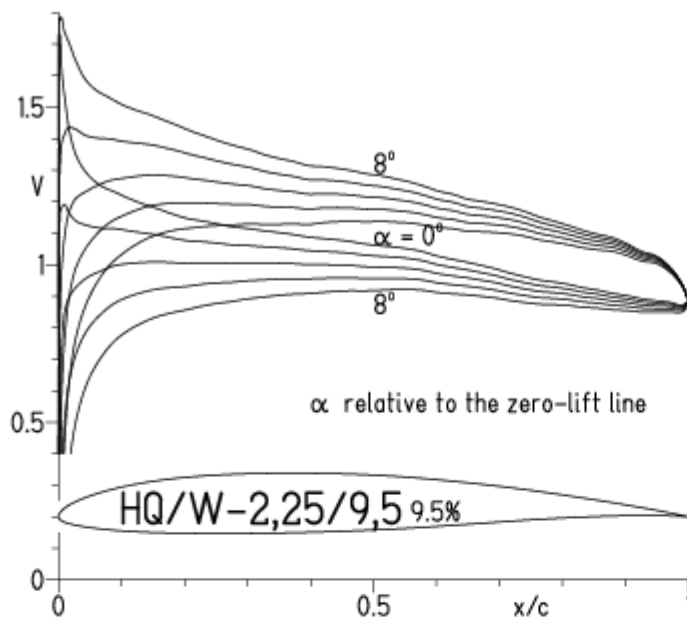


EPPLER 2005 V. 8.5.07 RUN 8.3.

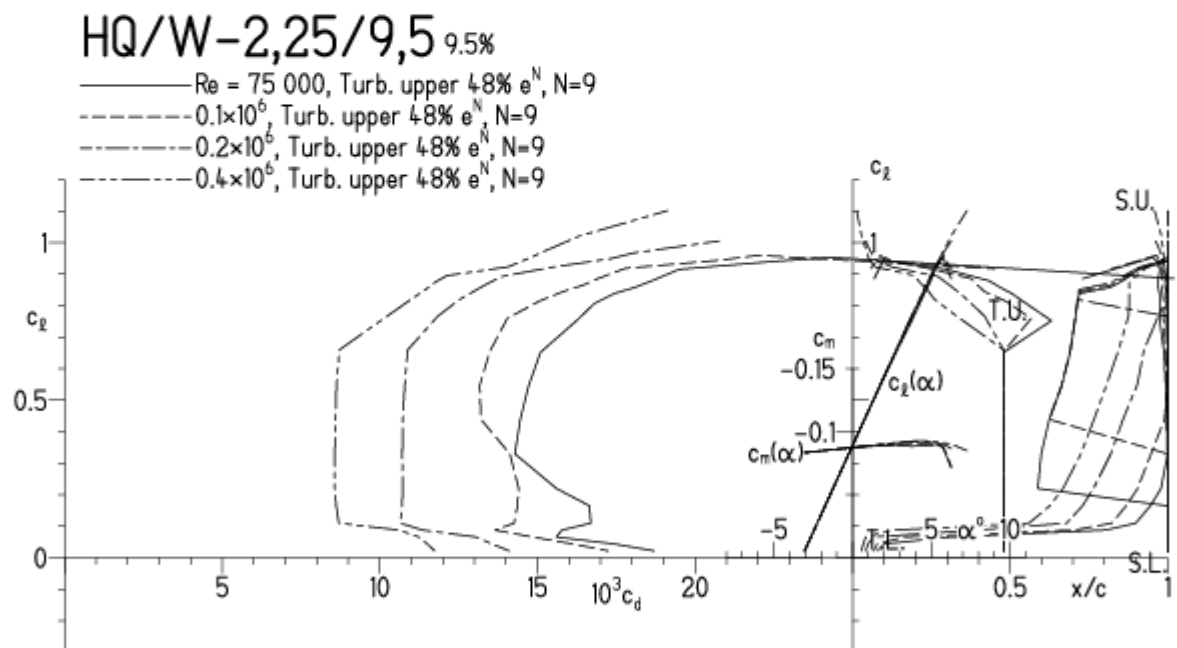


HQ/W-2,25/9,5, N=9, (Turbulatoreffekt (optimal beim Maximum der Wölbung))

EPPLER 2005 V. 8.5.07 RUN 8.3.11 16:46



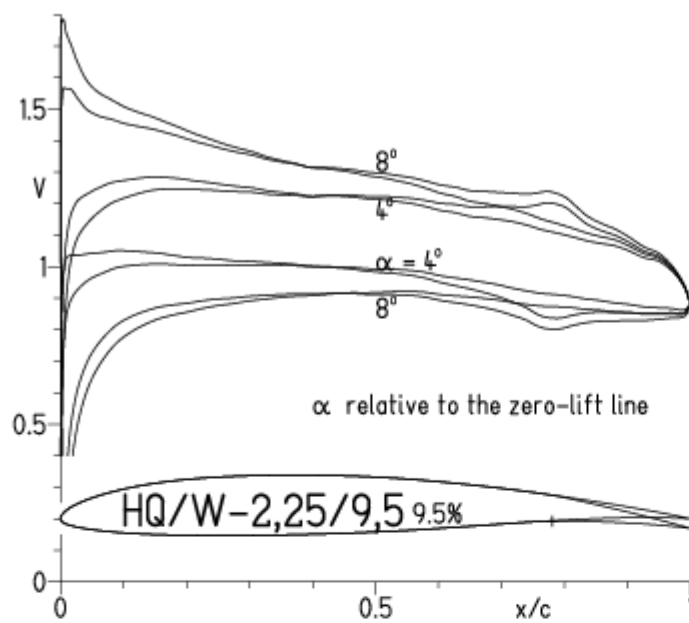
EPPLER 2005 V. 8.5.07 RUN 8.3.11 16:



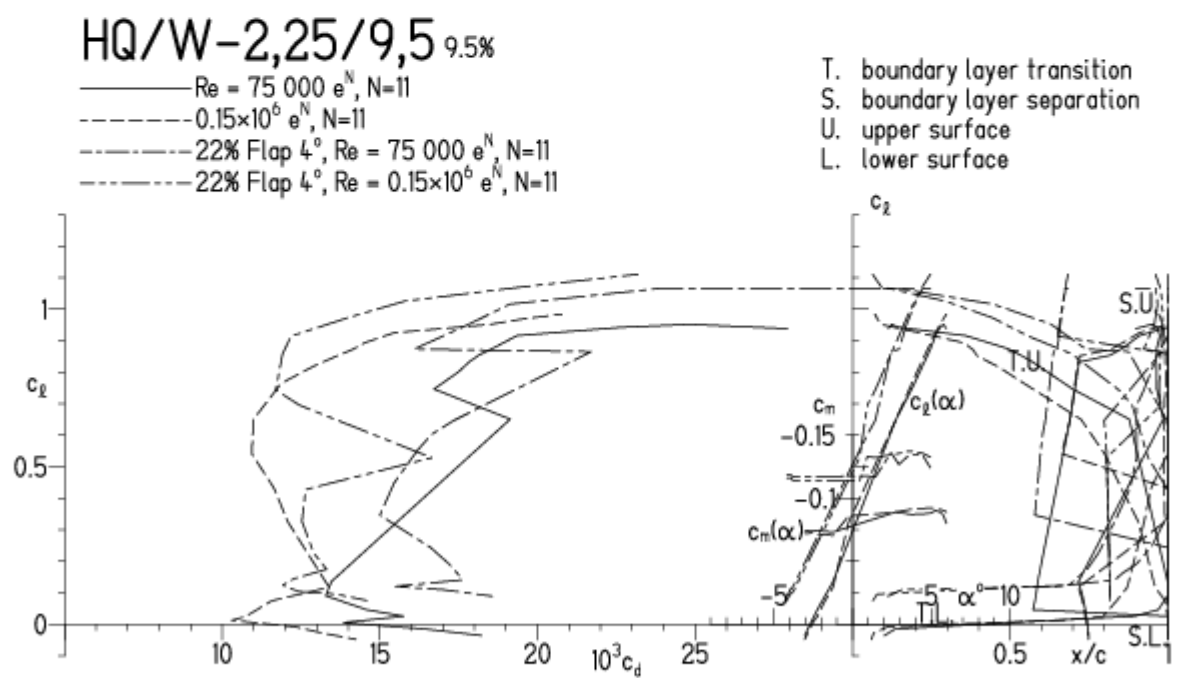
HQ/W-2,25/9,5,  $N=11$  mit  $+4^\circ$  Wölbklappenausschlag



EPPLER 2005 V. 8.5.07 RUN 8.3.11 17:07

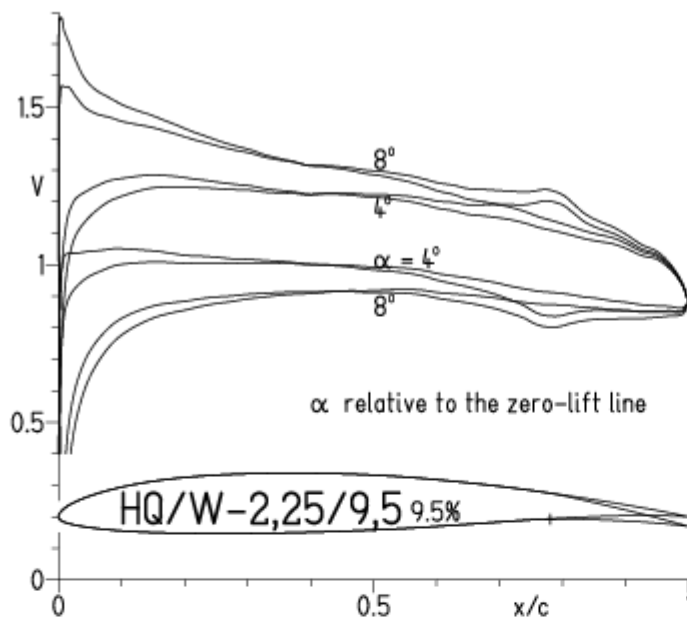


EPPLER 2005 V. 8.5.07 RUN 8.3.11 17:07

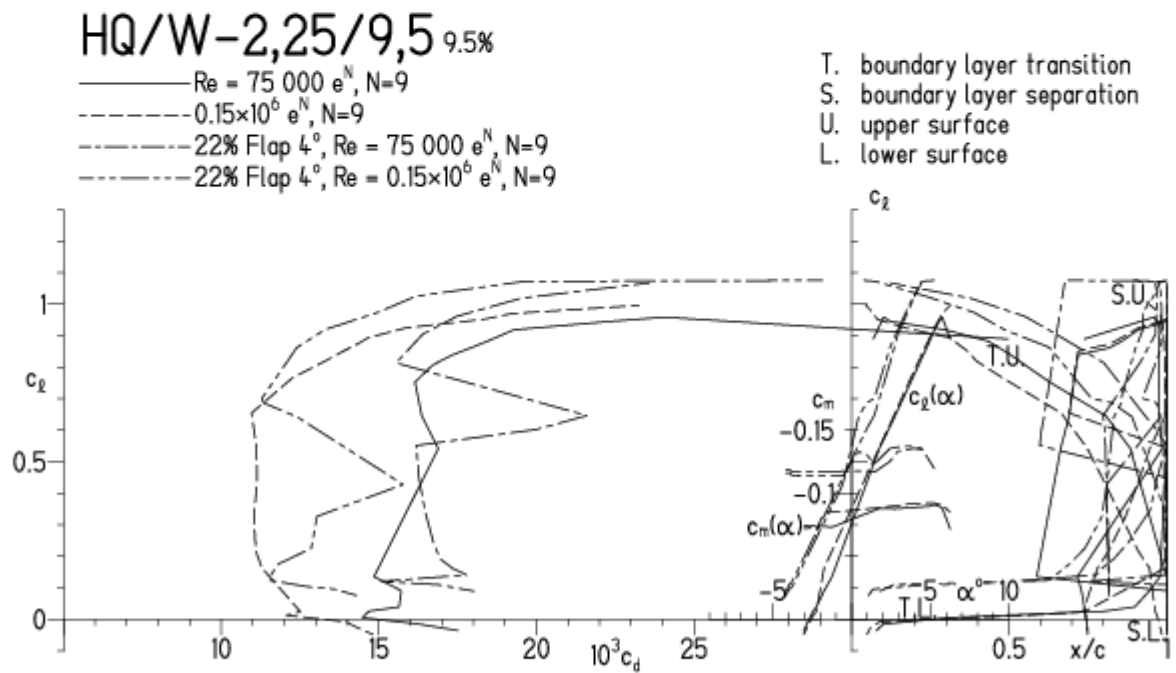


HQ/W-2,25/9,5, N=9 mit +4° Wölbklappenausschlag

EPPLER 2005 V. 8.5.07 RUN 8.3.11 17:12

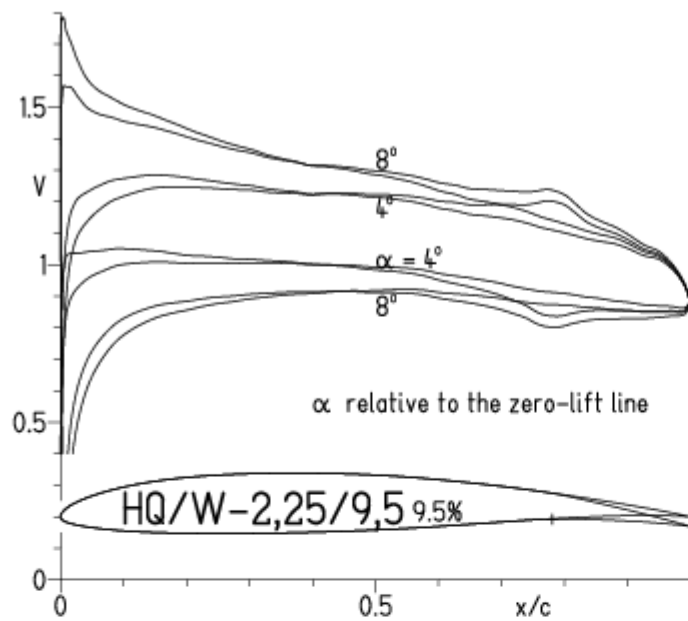


EPPLER 2005 V. 8.5.07 R



HQ/W-2,25/9,5,  $N=9$  mit  $+4^\circ$  Wölbklappenausschlag, Turbulatoreffekt  
(Verbesserungen für niedrige Geschwindigkeiten und Profiltiefen an Flügelenden)

EPPLER 2005 V. 8.5.07 RUN 8.3.11 17:14

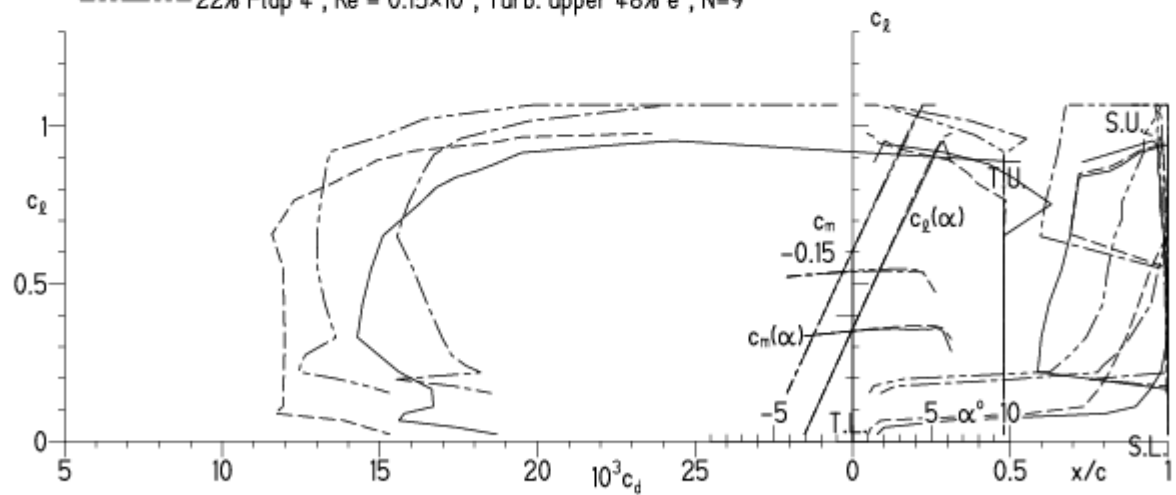


EPPLER 2005 V. 8.5.07 RUN 8.3.11 17:14

### HQ/W-2,25/9,5 9.5%

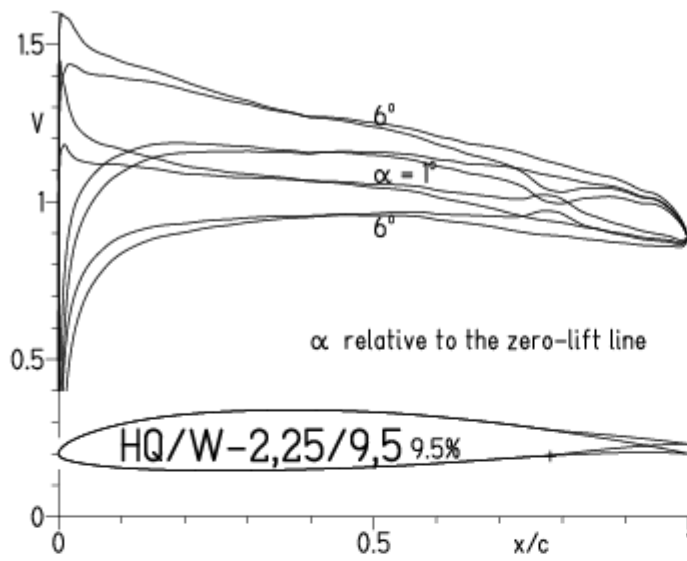
- $Re = 75\,000$ , Turb. upper 48%  $e^N$ ,  $N=9$
- - -  $0.15 \times 10^6$ , Turb. upper 48%  $e^N$ ,  $N=9$
- · - 22% Flap  $4^\circ$ ,  $Re = 75\,000$ , Turb. upper 48%  $e^N$ ,  $N=9$
- · - 22% Flap  $4^\circ$ ,  $Re = 0.15 \times 10^6$ , Turb. upper 48%  $e^N$ ,  $N=9$

- T. boundary layer transition
- S. boundary layer separation
- U. upper surface
- L. lower surface

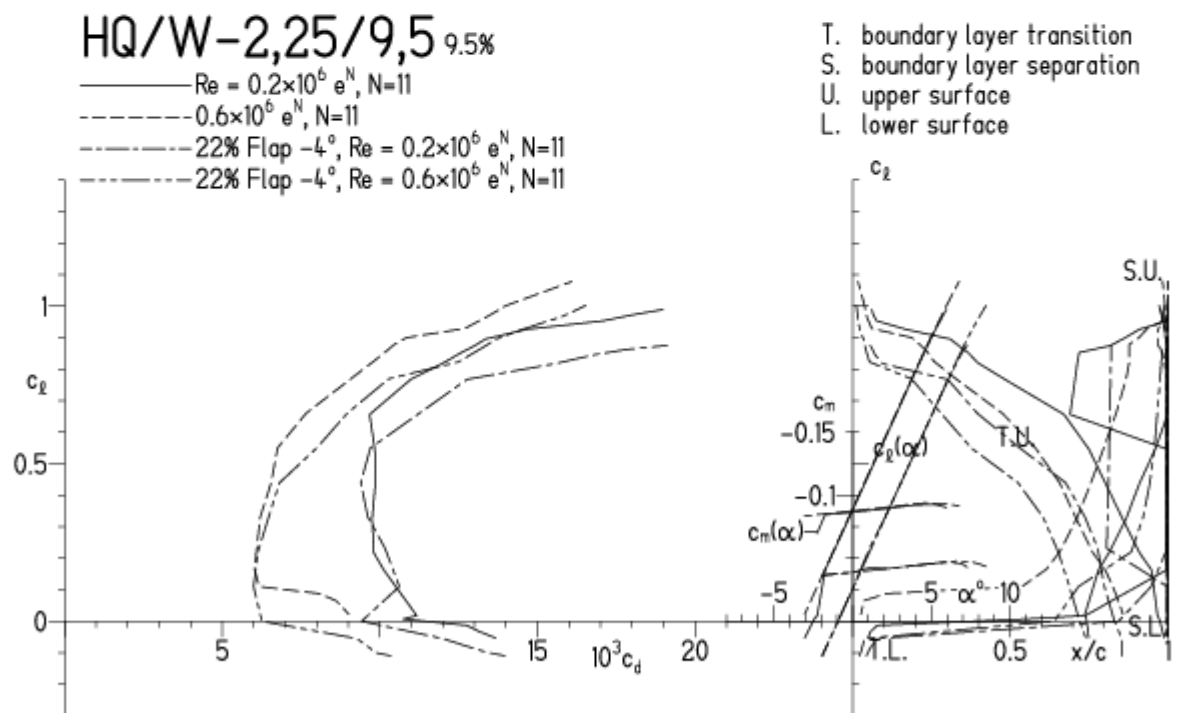


HQ/W-2,25/9,5,  $N=11$  mit  $-4^\circ$  Wölbklappenausschlag

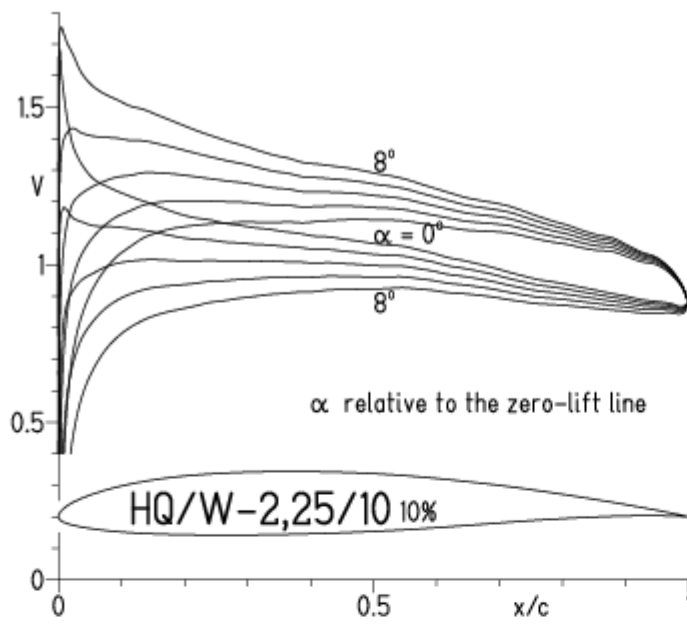
EPPLER 2005 V. 8.5.07 RUN 8.3.11 17:31



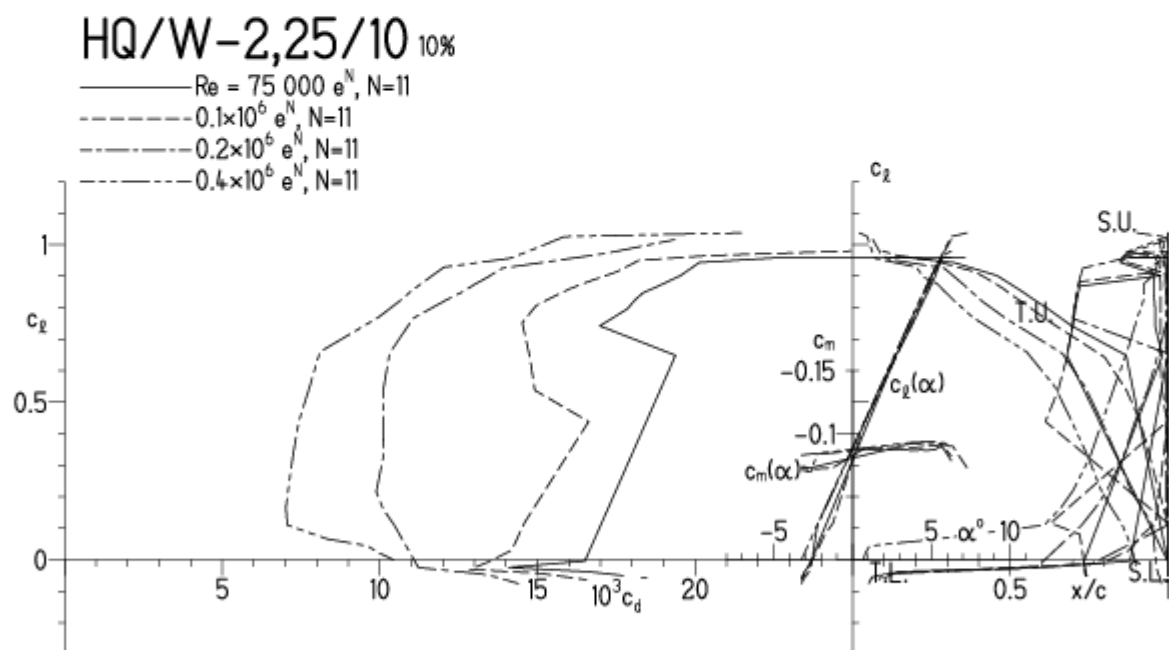
EPPLER 2005 V.

HQ/W-2,25/10, N=11

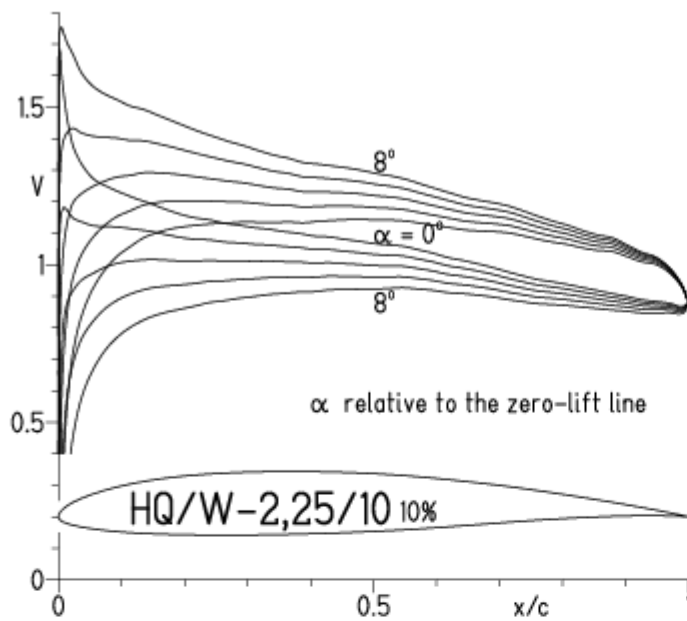
EPPLER 2005 V. 8.5.07 RUN 8.3.11 17:47



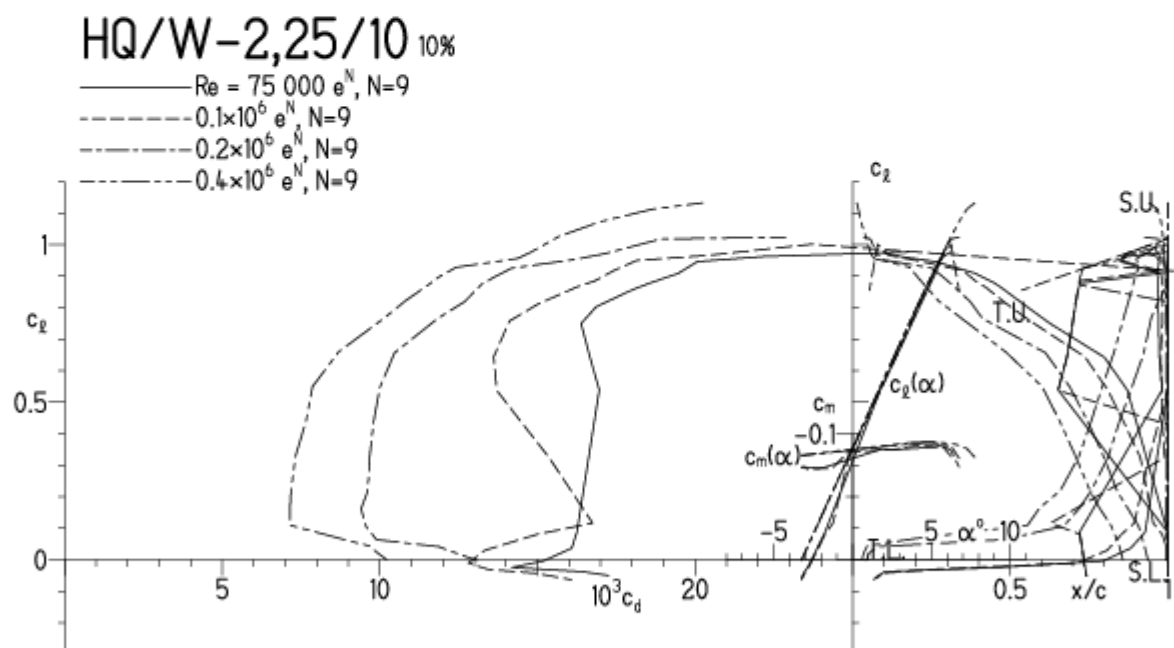
EPPLER 2005 V. 8.5.07 RUN 8.3.11 17:47

HQ/W-2,25/10,  $N=9$

EPPLER 2005 V. 8.5.07 RUN 8.3.11 17:53

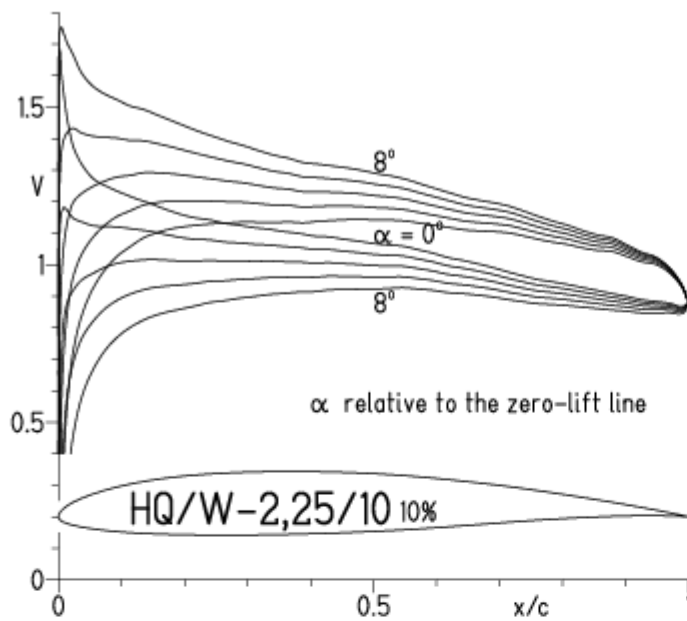


EPPLER 2005 V. 8.5.07 RUN 8.3.11 17:53

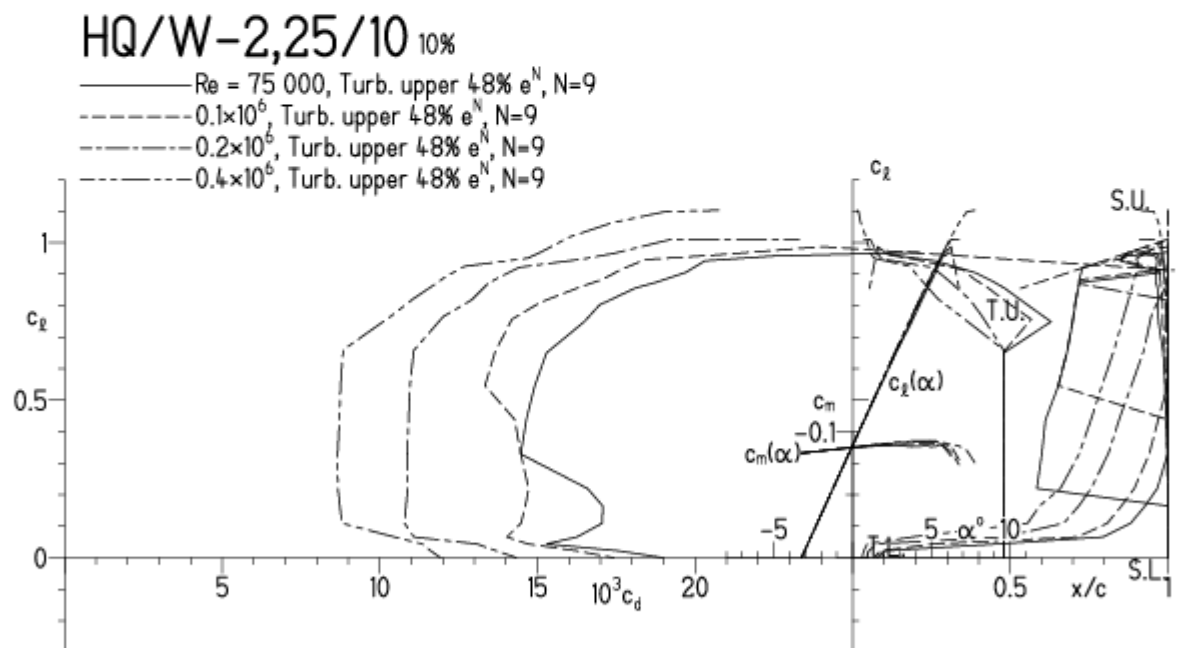


HQ/W-2,25/10,  $N=9$ , (Turbulatoreffekt (optimal beim Maximum der Wölbung))

EPPLER 2005 V. 8.5.07 RUN 8.3.11 17:56

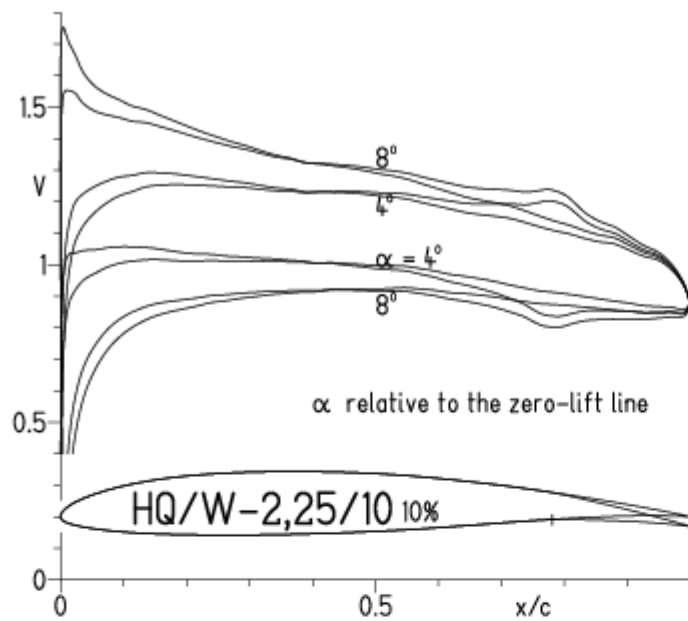


EPPLER 2005 V. 8.5.07 RUN 8.3.11 17:56

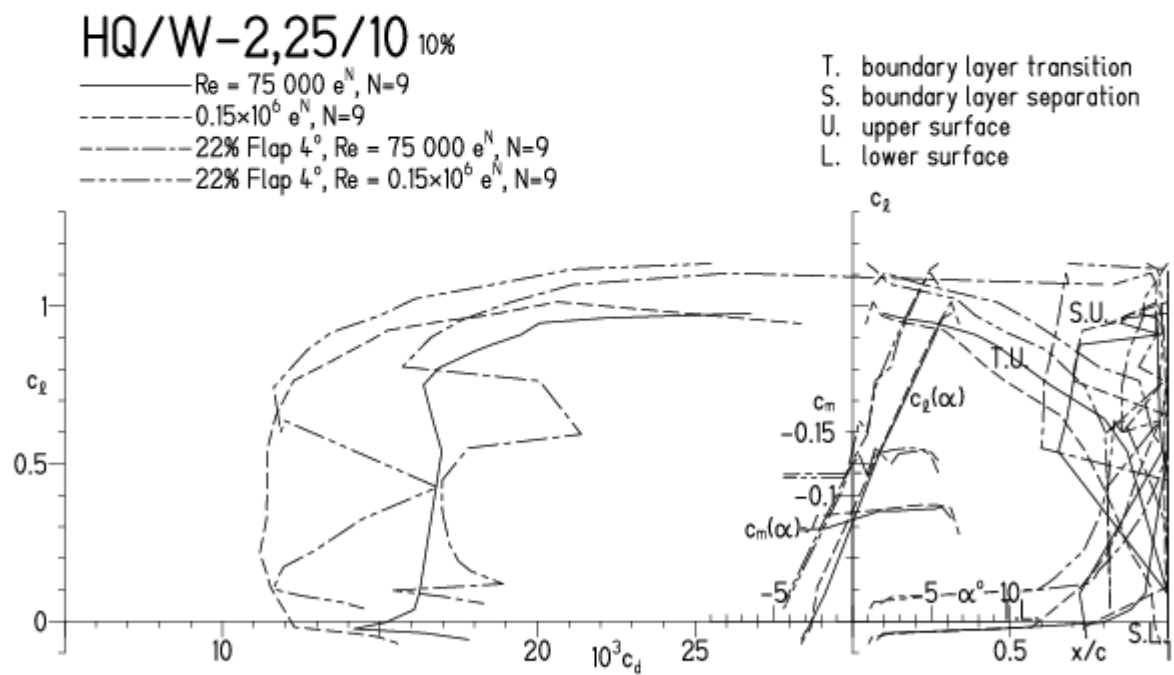


HQ/W-2,25/10,  $N=9$  mit  $+4^\circ$  Wölbklappenausschlag

EPPLER 2005 V. 8.5.07 RUN 8.3.11 18:16



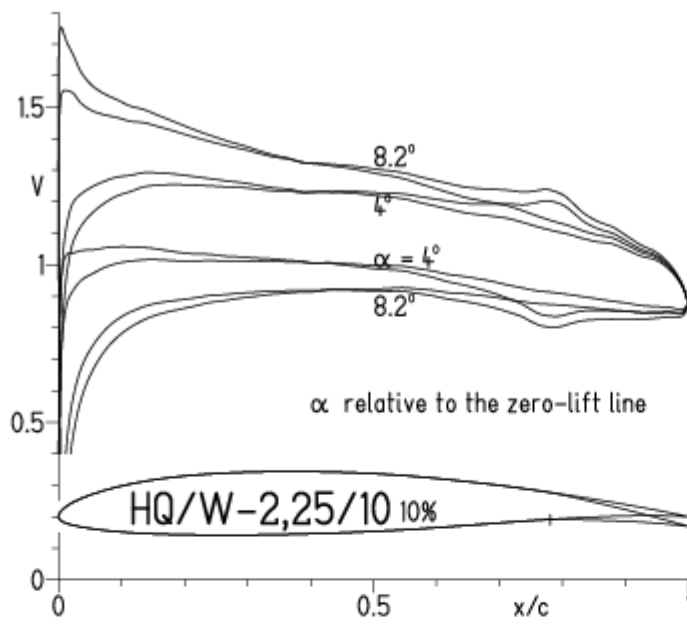
EPPLER 2005 V. 8.5.07 RUN 8.3.11 18:16



HQ/W-2,25/10,  $N=9$  mit  $+4^\circ$  Wölbklappenausschlag, Turbulatoreffekt



EPPLER 2005 V. 8.5.07 RUN 8.3.11 18:32

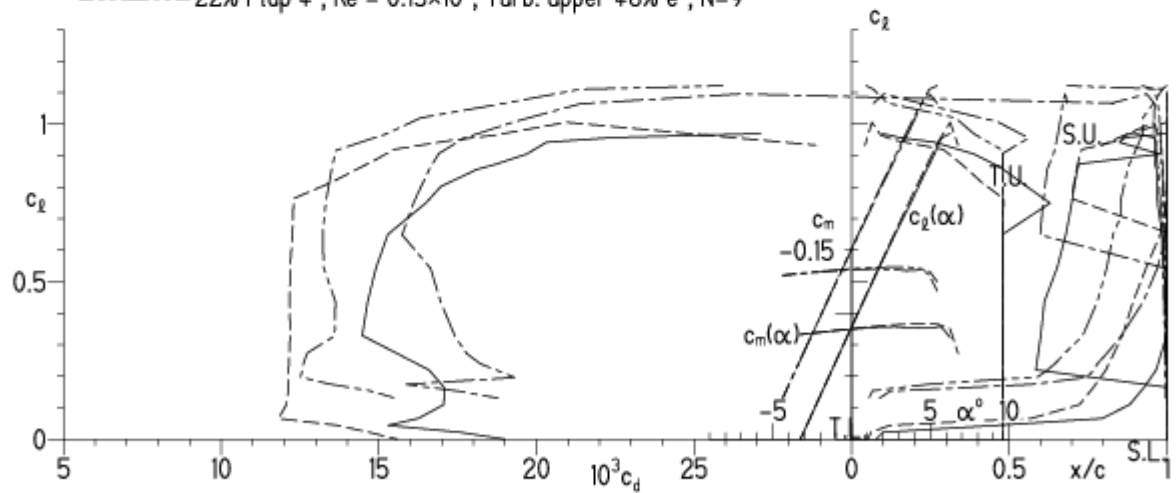


EPPLER 2005 V. 8.5.07 RUN 8.3

### HQ/W-2,25/10<sub>10%</sub>

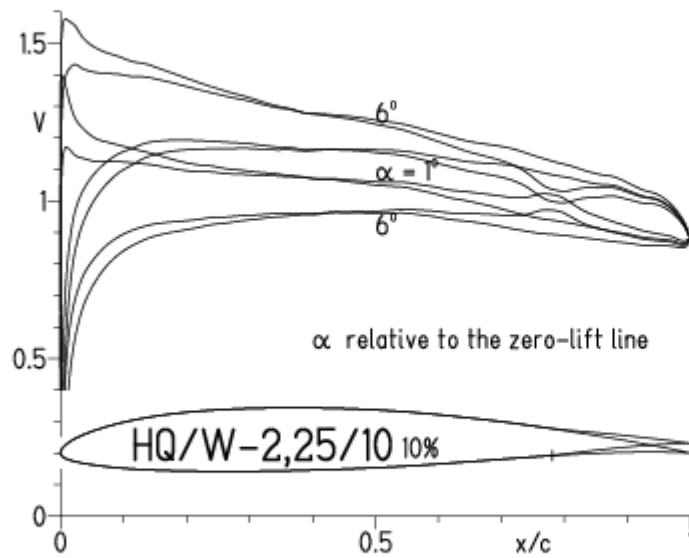
- $Re = 75\,000$ , Turb. upper 48%  $e^N$ ,  $N=9$
- - -  $0.15 \times 10^6$ , Turb. upper 48%  $e^N$ ,  $N=9$
- · - 22% Flap  $4^\circ$ ,  $Re = 75\,000$ , Turb. upper 48%  $e^N$ ,  $N=9$
- · - 22% Flap  $4^\circ$ ,  $Re = 0.15 \times 10^6$ , Turb. upper 48%  $e^N$ ,  $N=9$

- T. boundary layer transition
- S. boundary layer separation
- U. upper surface
- L. lower surface

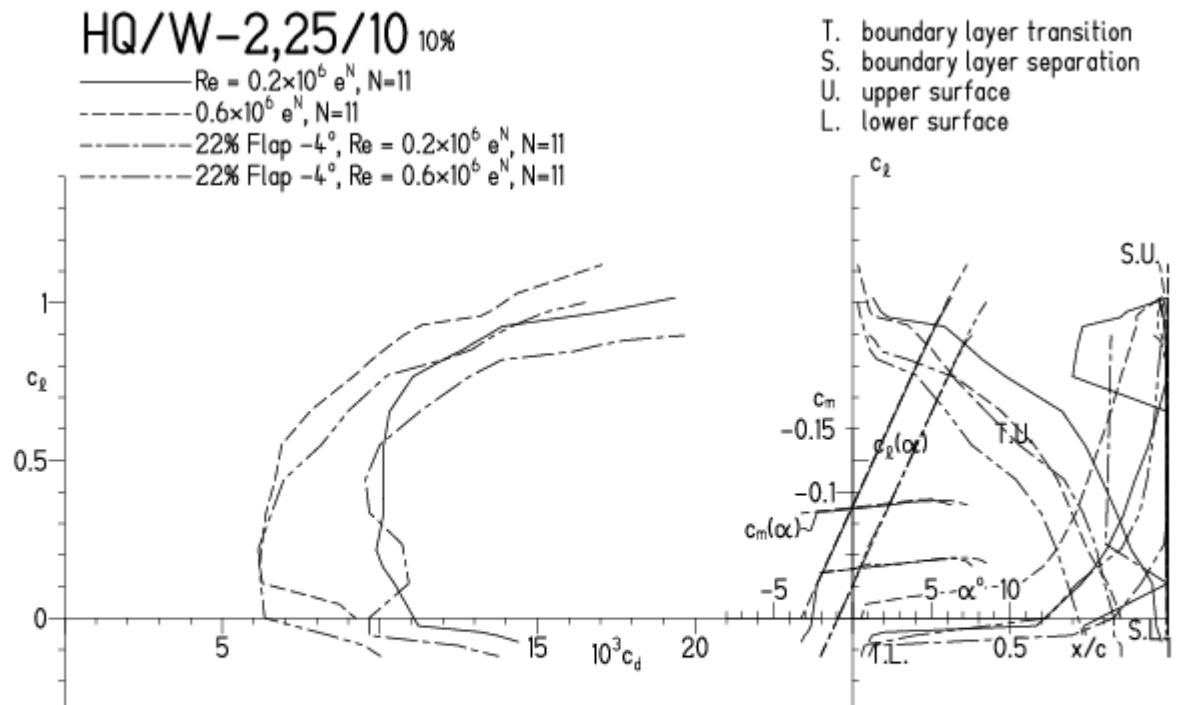


# HQ/W-2,25/10, N=11 mit -4° Wölbklappenausschlag

EPPLER 2005 V. 8.5.07 RUN 8.3.11 18:23

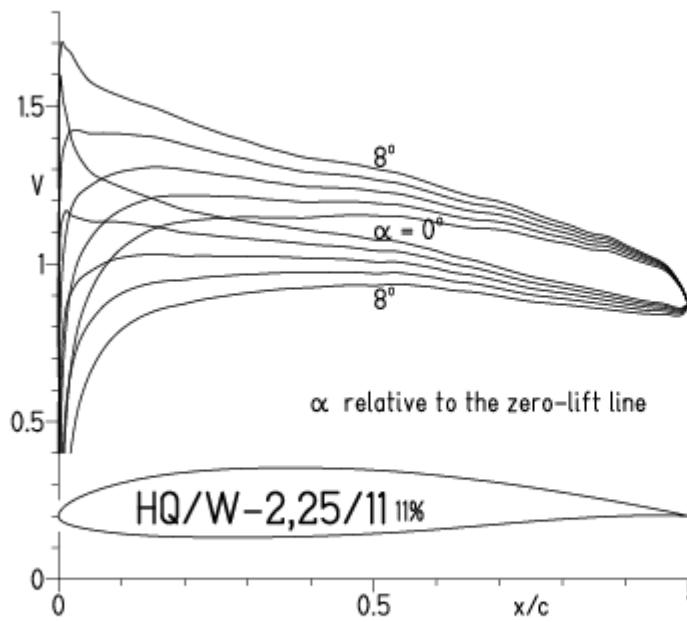


EPPLER 2005 V. 8.5.07 RUN

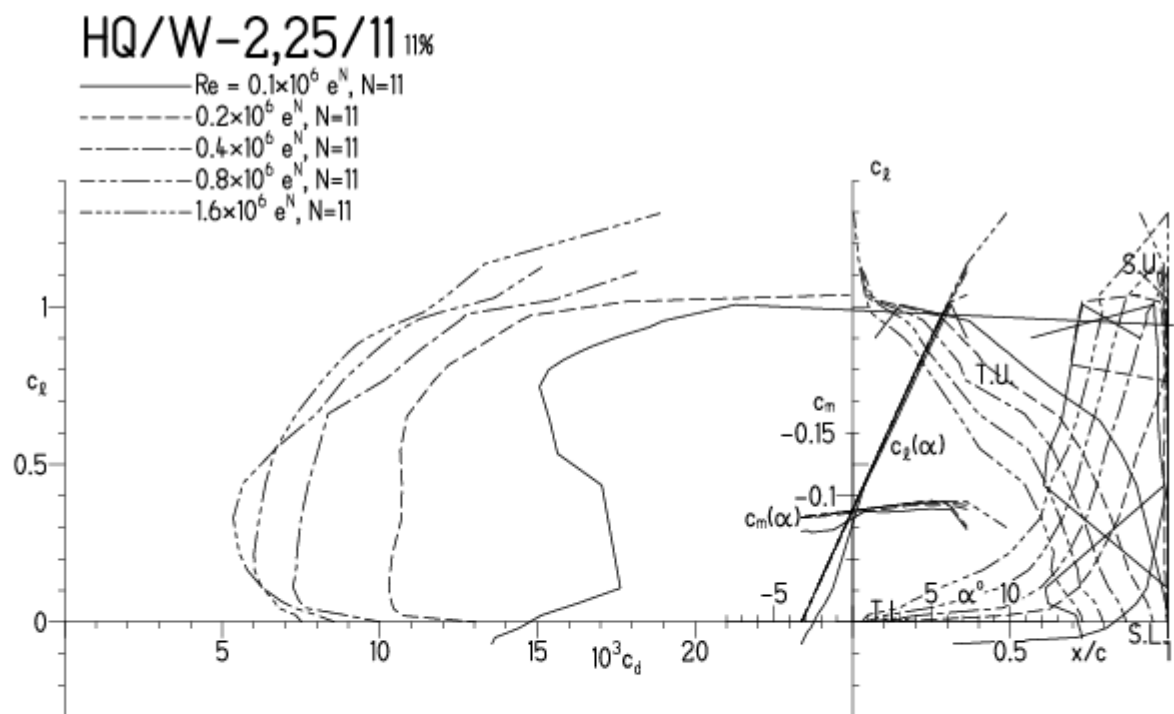


# HQ/W-2,25/11, N=11

EPPLER 2005 V. 8.5.07 RUN 15.12.23 12:32

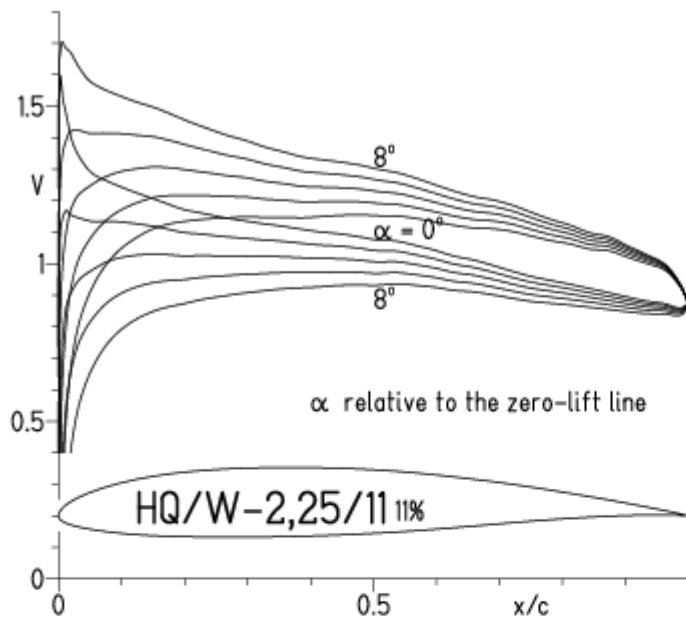


EPPLER 2005 V. 8.5.07 RUN 15.12.23 12:

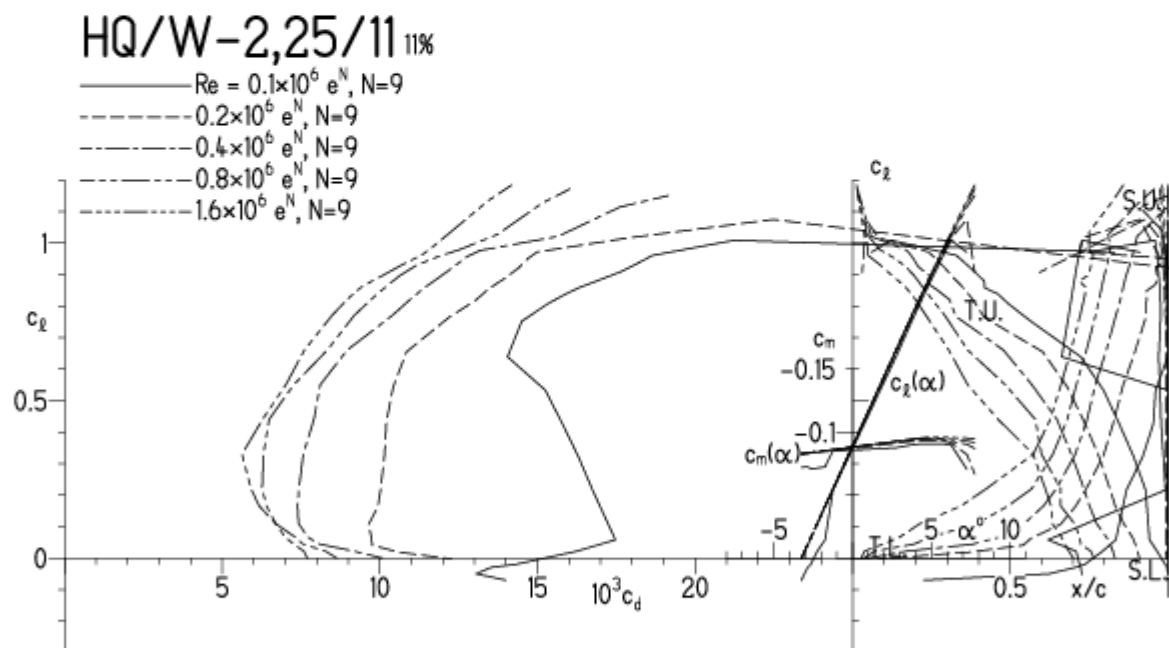


HQQ/W-2,25/11,  $N=9$

EPPLER 2005 V. 8.5.07 RUN 15.12.23 12:42

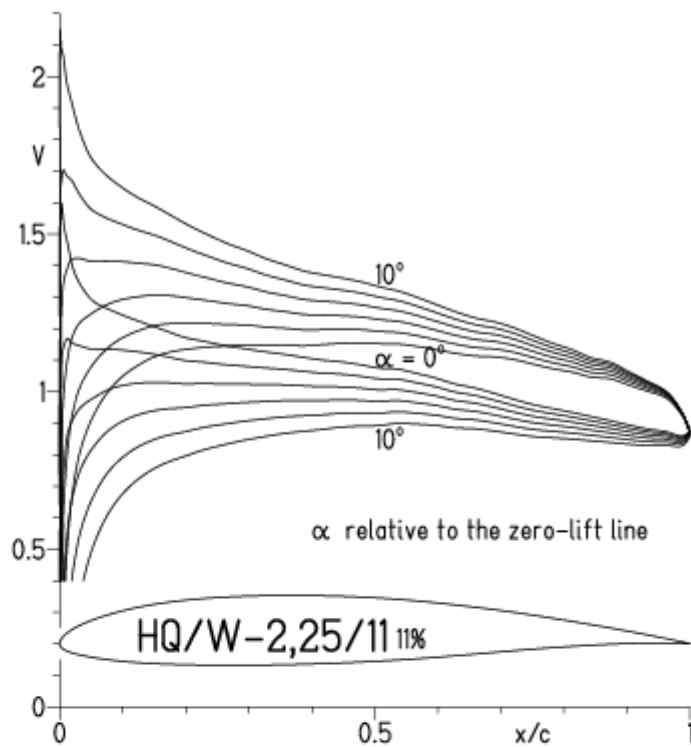


EPPLER 2005 V. 8.5.07 RUN 15.12.23 12:42



HQ/W-2,25/11,  $N=9$ , (Turbulatoreffekt (optimal beim Maximum der Wölbung))

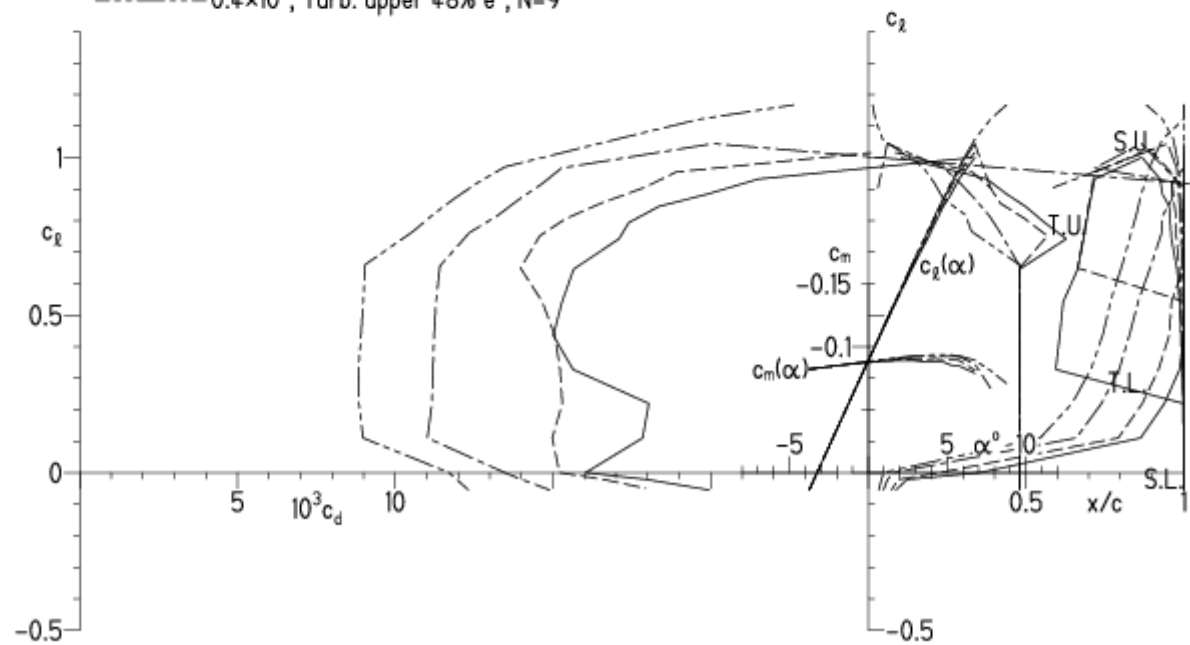
EPPLER 2005 V. 8.5.07 RUN 15.12.23 13:16



EPPLER 2005 V. 8.5.07 RUN 15.12.23 13:16

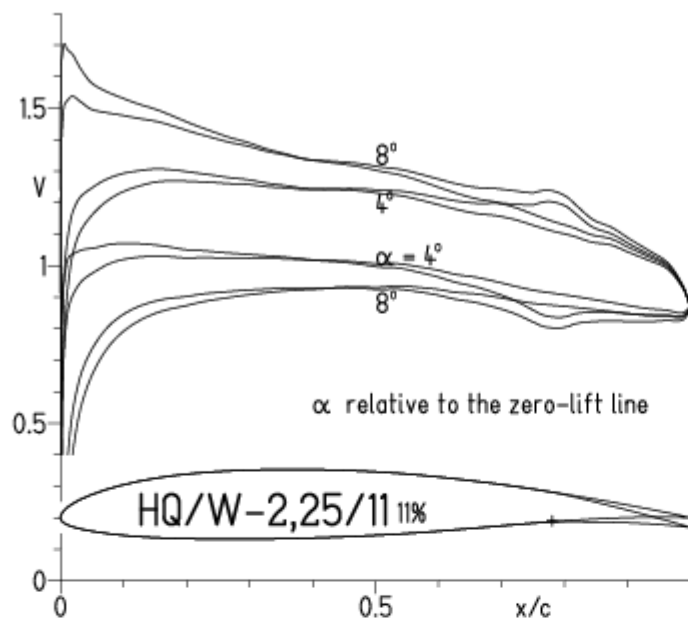
### HQ/W-2,25/11 11%

- $Re = 75\,000$ , Turb. upper 48%  $e^N$ ,  $N=9$
- - -  $0.1 \times 10^6$ , Turb. upper 48%  $e^N$ ,  $N=9$
- · -  $0.2 \times 10^6$ , Turb. upper 48%  $e^N$ ,  $N=9$
- - -  $0.4 \times 10^6$ , Turb. upper 48%  $e^N$ ,  $N=9$



# HQW-2,25/11, N=9 mit +4° Wölbklappenausschlag

EPPLER 2005 V. 8.5.07 RUN 14.12.23 17:17

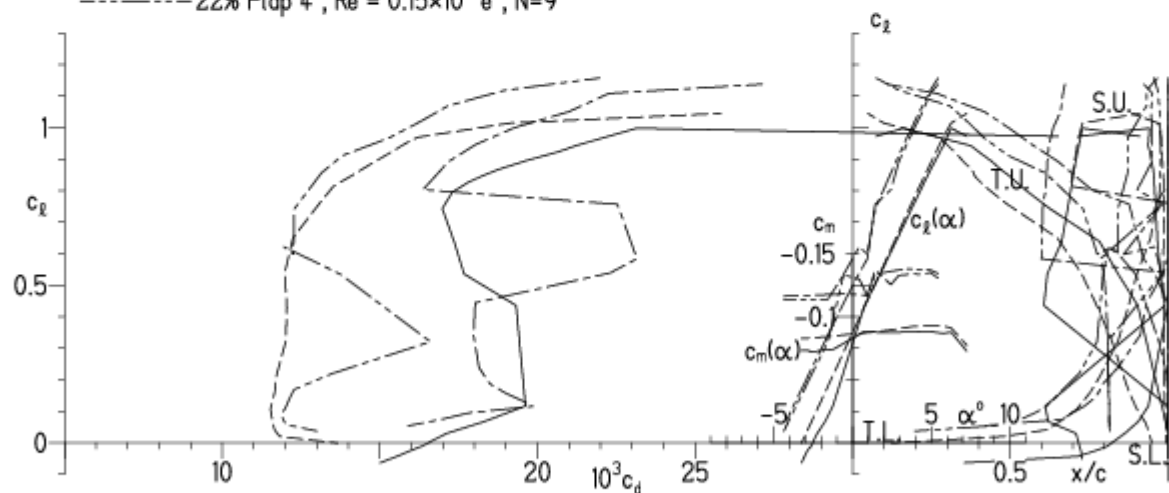


EPPLER 2005 V. 8.5.07 RUN 14.12.23 17:17

## HQ/W-2,25/11 11%

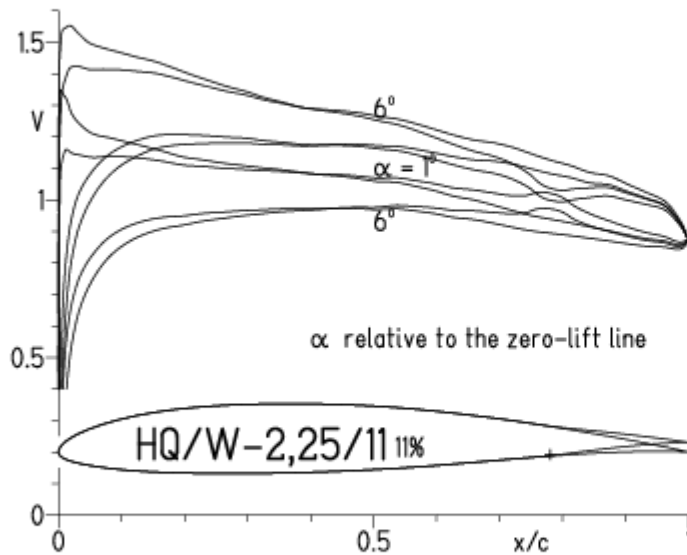
- $Re = 75\,000\, e^N, N=9$
- - -  $0.15 \times 10^6\, e^N, N=9$
- · - 22% Flap  $4^\circ, Re = 75\,000\, e^N, N=9$
- · - 22% Flap  $4^\circ, Re = 0.15 \times 10^6\, e^N, N=9$

- T. boundary layer transition
- S. boundary layer separation
- U. upper surface
- L. lower surface

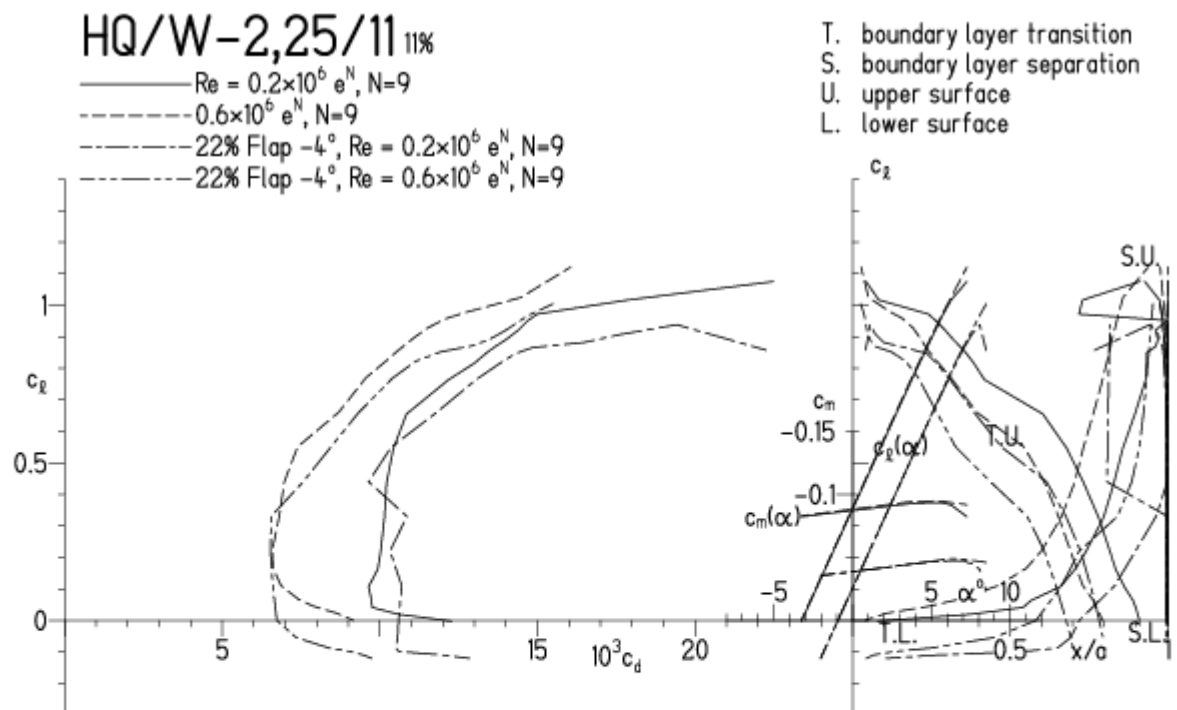


# HQ/W-2,25/10, N=9 mit -4° Wölbklappenausschlag

EPPLER 2005 V. 8.5.07 RUN 14.12.23 16:52

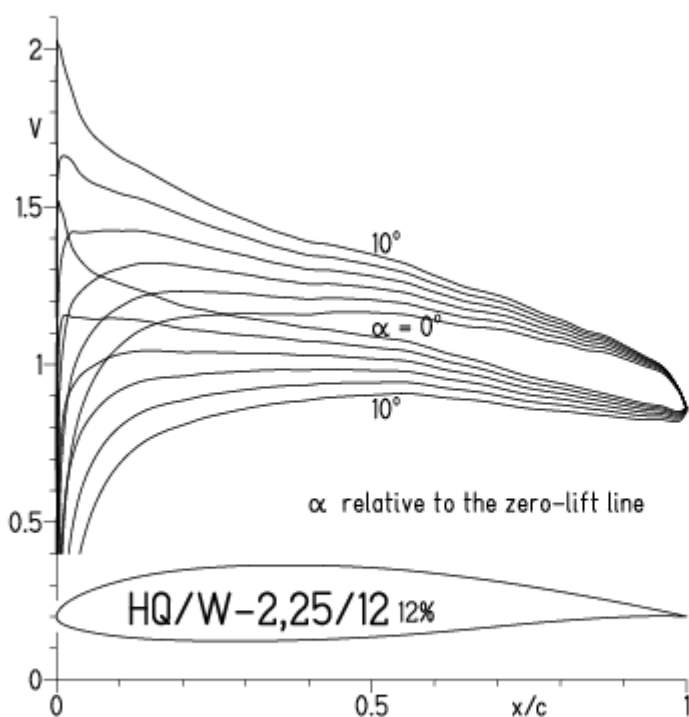


EPPLER 2005 V. 8.5.07 RUN 14.12.23 16:52



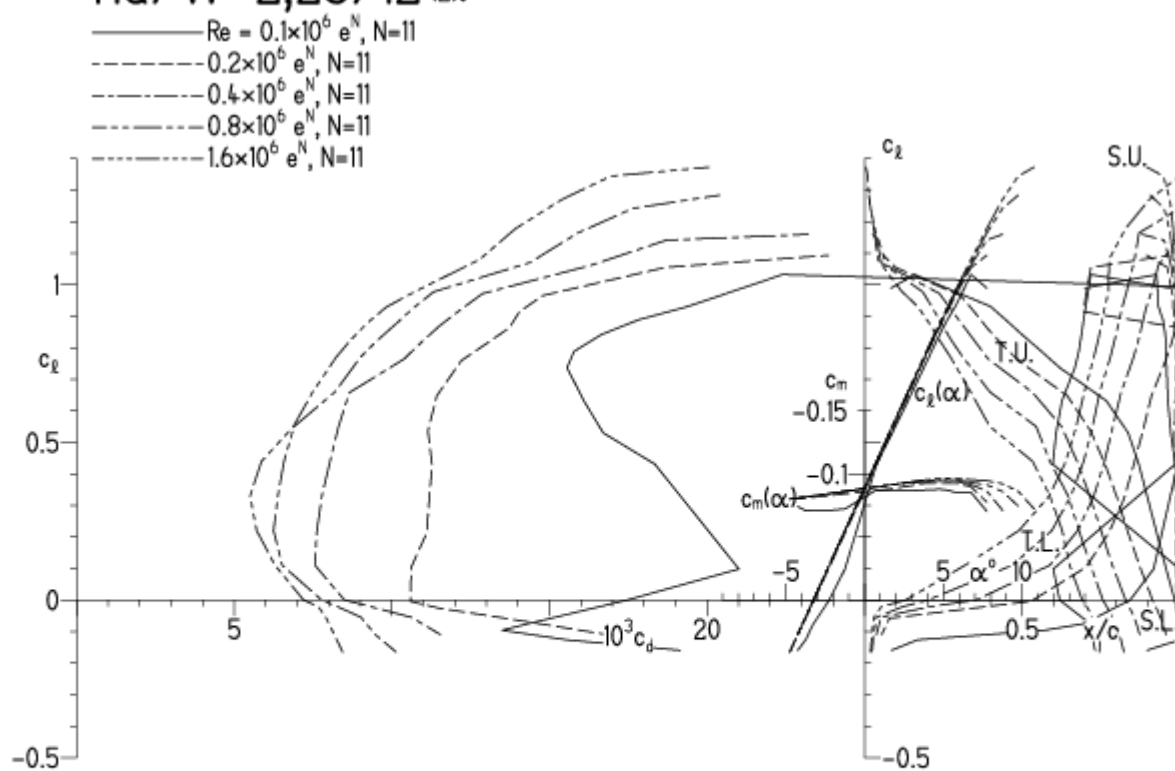
# HQ/W-2,25/12, N=11

EPPLER 2005 V. 8.5.07 RUN 18.12.23 12:32



EPPLER 2005 V. 8.5.07 RUN 18.12.23 1

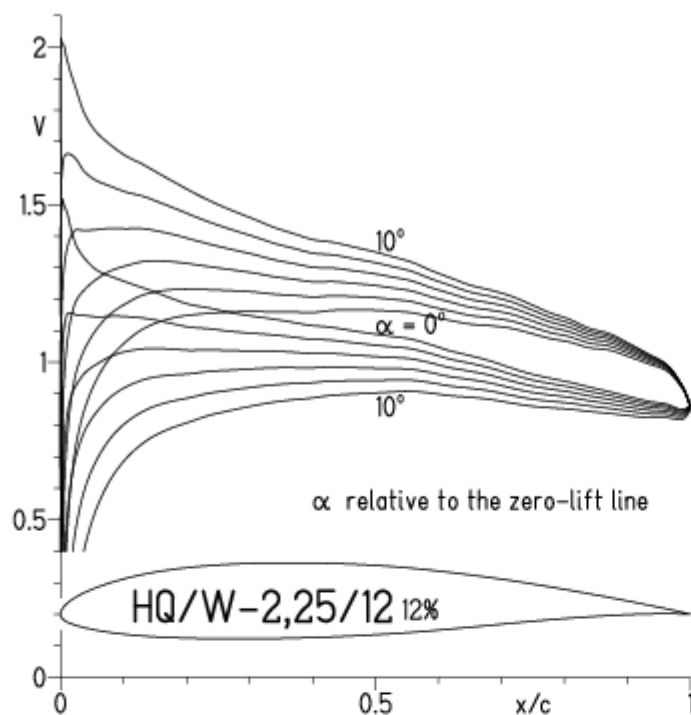
## HQ/W-2,25/12 12%





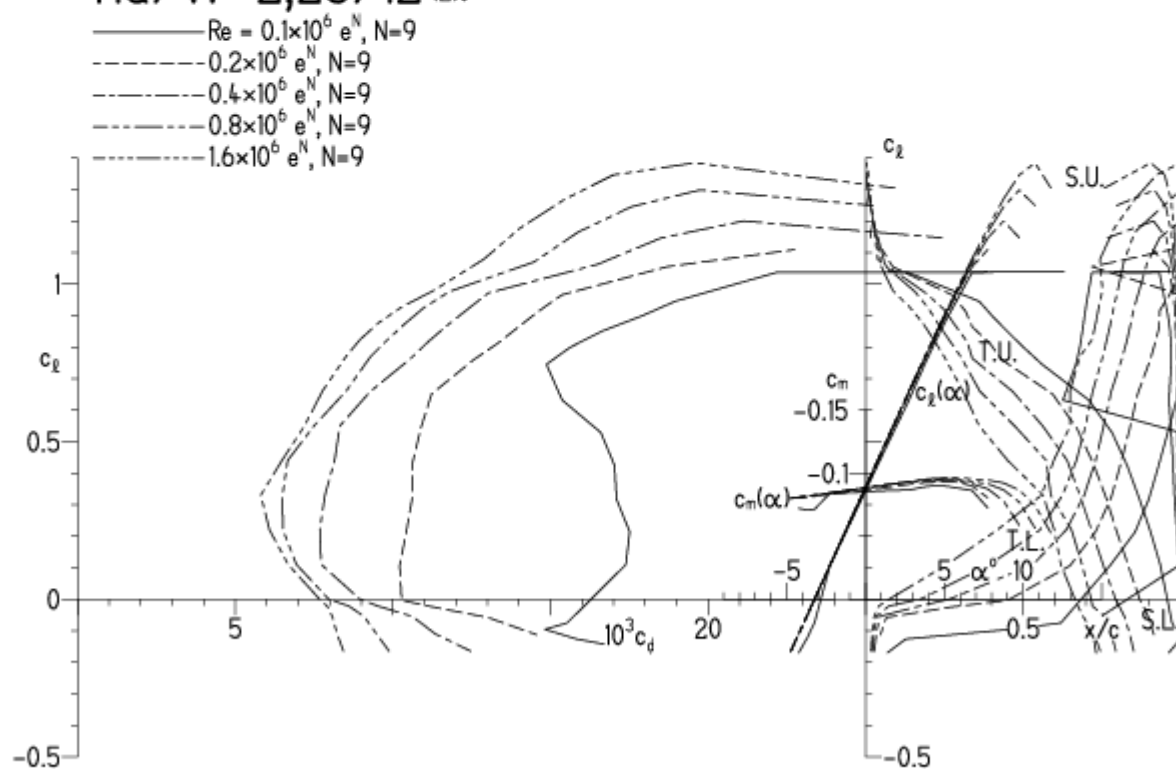
# HQ/W-2,25/12, N=9

EPPLER 2005 V. 8.5.07 RUN 18.12.23 12:44



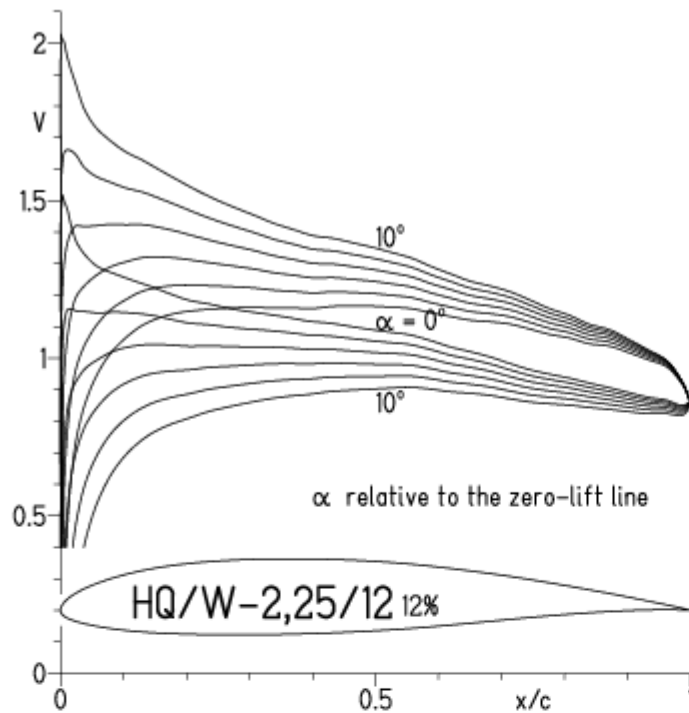
EPPLER 2005 V. 8.5

## HQ/W-2,25/12 12%



# HQ/W-2,25/12, N=9, (Turbulatoreffekt (optimal beim Maximum der Wölbung))

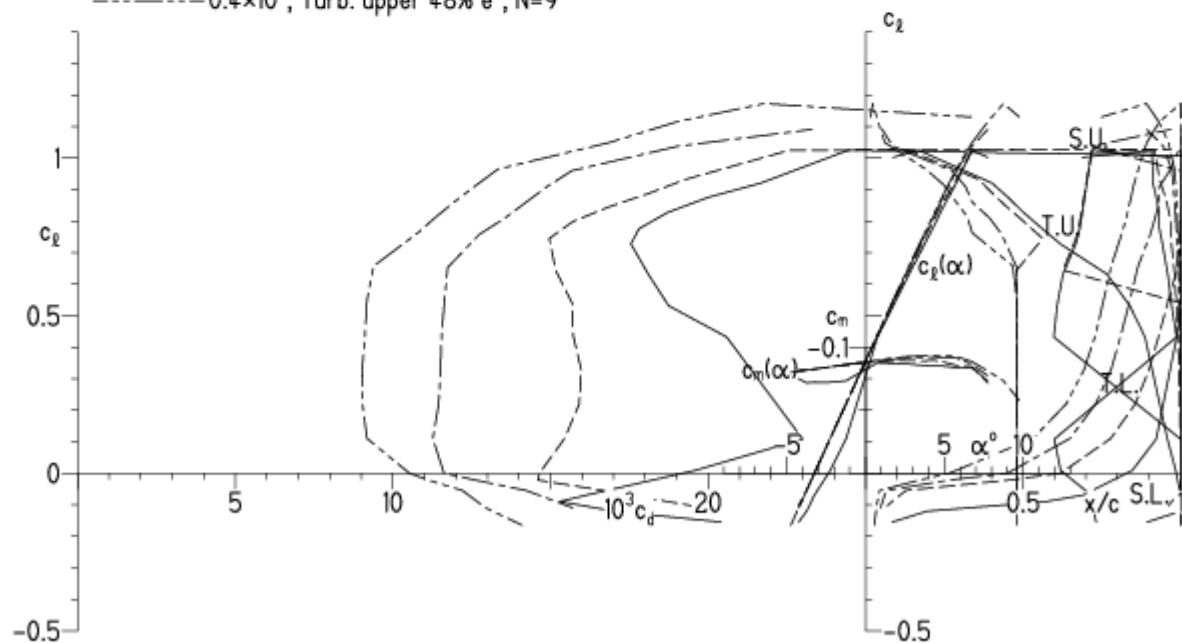
EPPLER 2005 V. 8.5.07 RUN 18.12.23 13:02



EPPLER 2005 V. 8.5.07 RUN 18.12.23 13:02

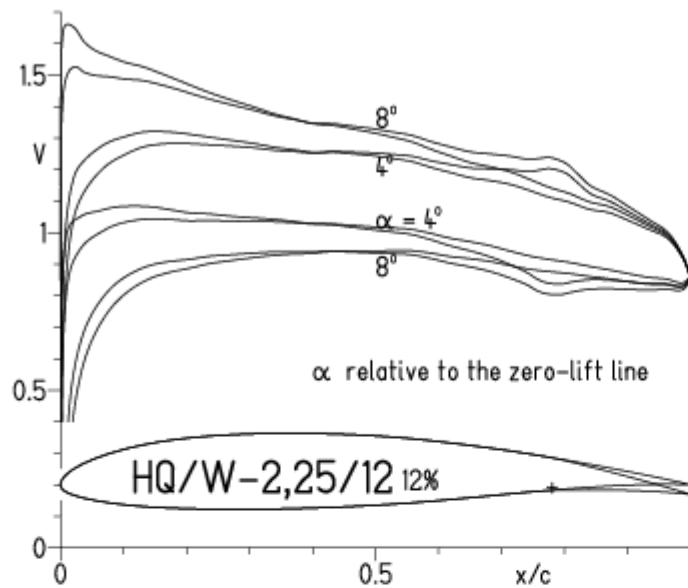
## HQ/W-2,25/12 12%

- $Re = 75\,000\, e^N, N=9$
- - -  $0.1 \times 10^6$ , Turb. upper 4.8%  $e^N, N=9$
- . -  $0.2 \times 10^6$ , Turb. upper 4.8%  $e^N, N=9$
- - -  $0.4 \times 10^6$ , Turb. upper 4.8%  $e^N, N=9$



# HQW-2,25/12, N=9 mit +4° Wölbklappenausschlag

EPPLER 2005 V. 8.5.07 RUN 19.12.23 17:47

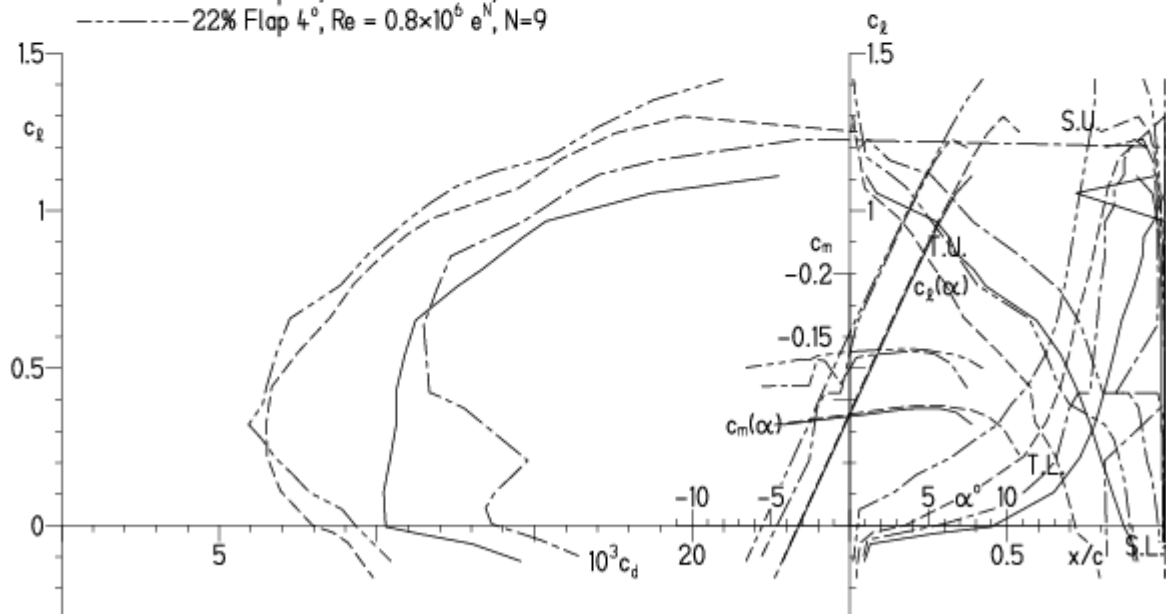


EPPLER 2005 V. 8.5.07 RUN 19.12.23 17:47

## HQ/W-2,25/12 12%

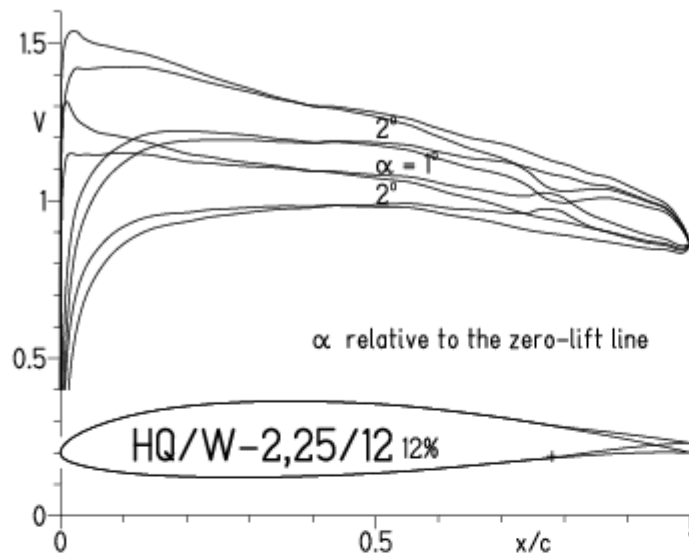
- $Re = 0.2 \times 10^6$  e<sup>N</sup>, N=9
- - -  $0.8 \times 10^6$  e<sup>N</sup>, N=9
- · - 22% Flap  $4^\circ$ ,  $Re = 0.2 \times 10^6$  e<sup>N</sup>, N=9
- · - 22% Flap  $4^\circ$ ,  $Re = 0.8 \times 10^6$  e<sup>N</sup>, N=9

- T. boundary layer transition
- S. boundary layer separation
- U. upper surface
- L. lower surface

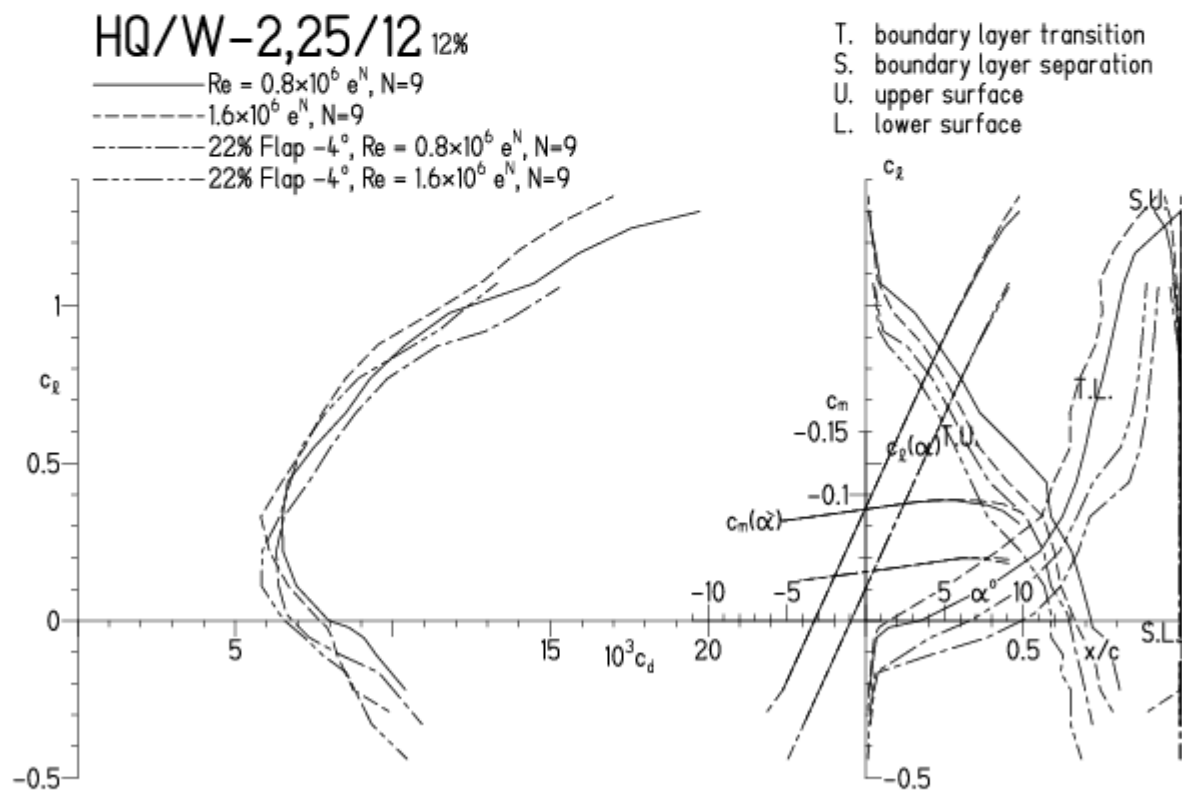


# HQW-2,25/12, N=9 mit $-4^\circ$ Wölbklappenausschlag

EPPLER 2005 V. 8.5.07 RUN 19.12.23 17:24

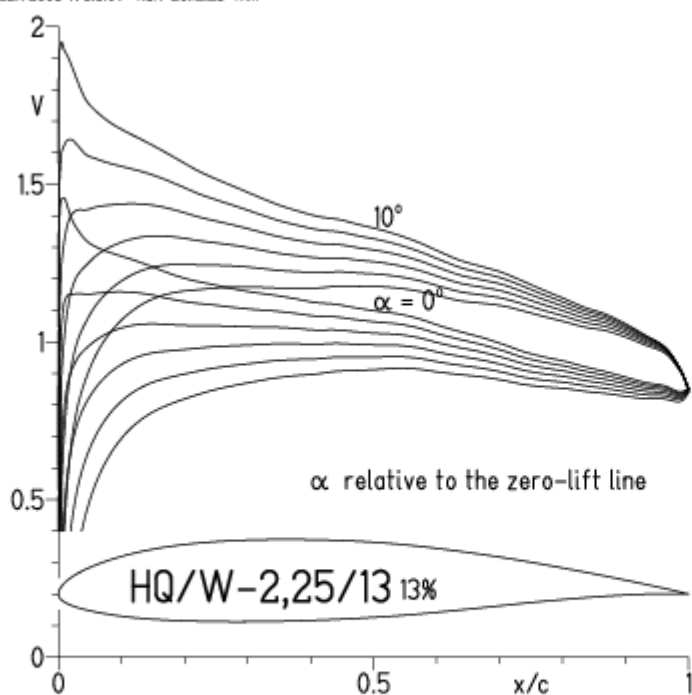


EPPLER 2005 V. 8.5.07 RUN 19.12.23 17:24

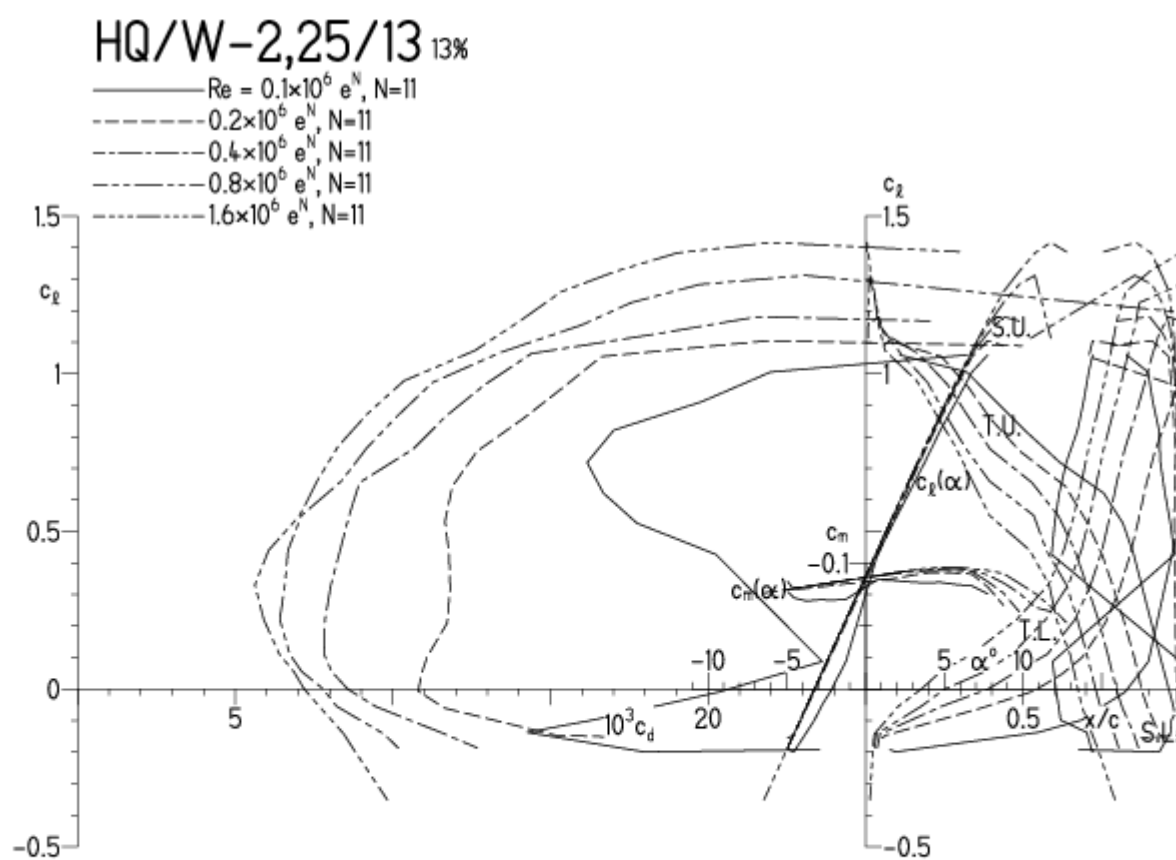


# HQ/W-2,25/13, N=11

EPPLER 2005 V. 8.5.07 RUN 20.12.23 17:11

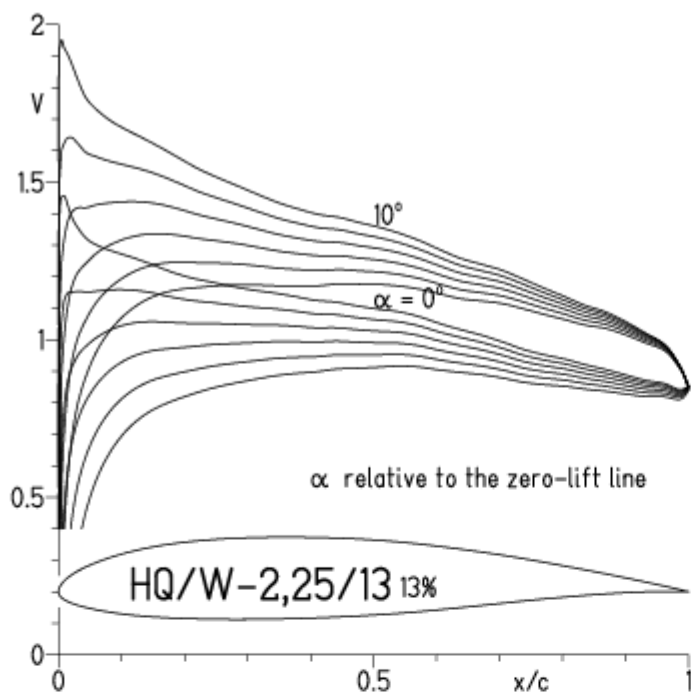


EPPLER 2005 V. 8.5.07 RUN 20.12.23 17:11

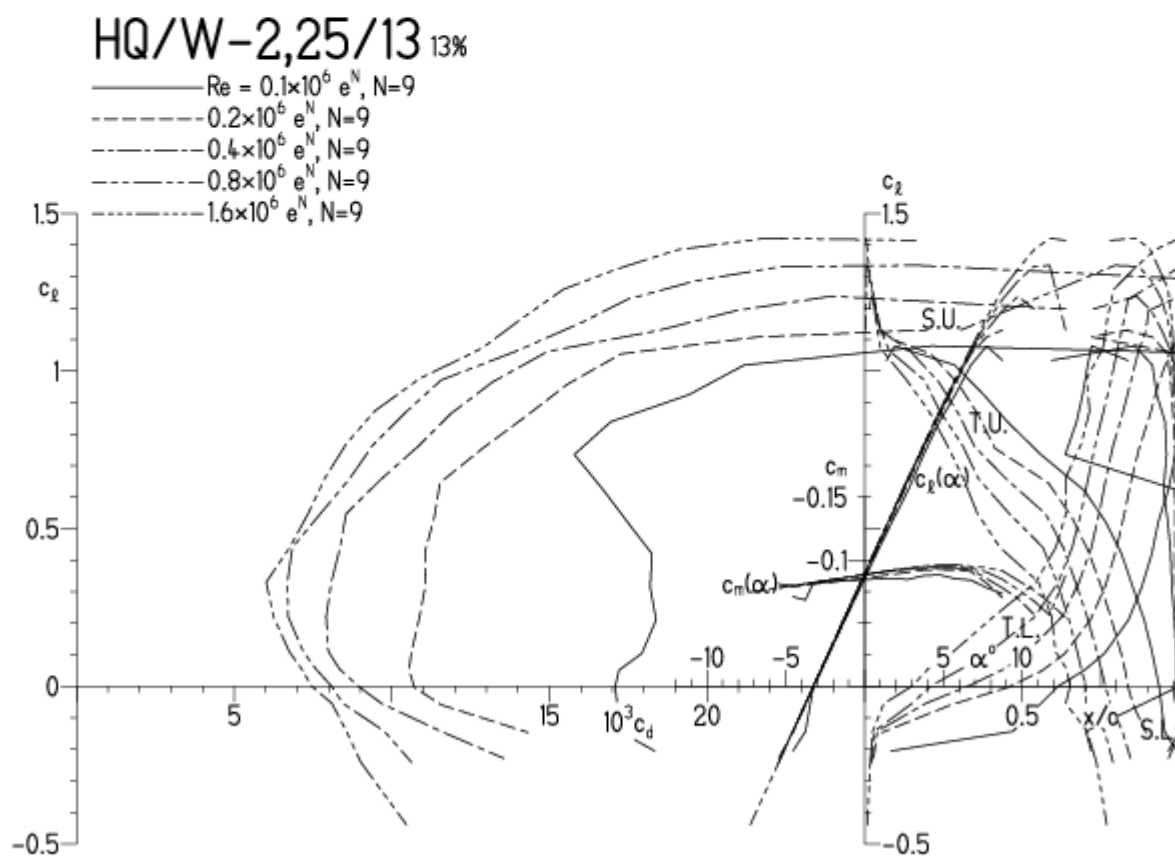


# HQ/W-2,25/13, N=9

EPPLER 2005 V. 8.5.07 RUN 20.12.23 17:26

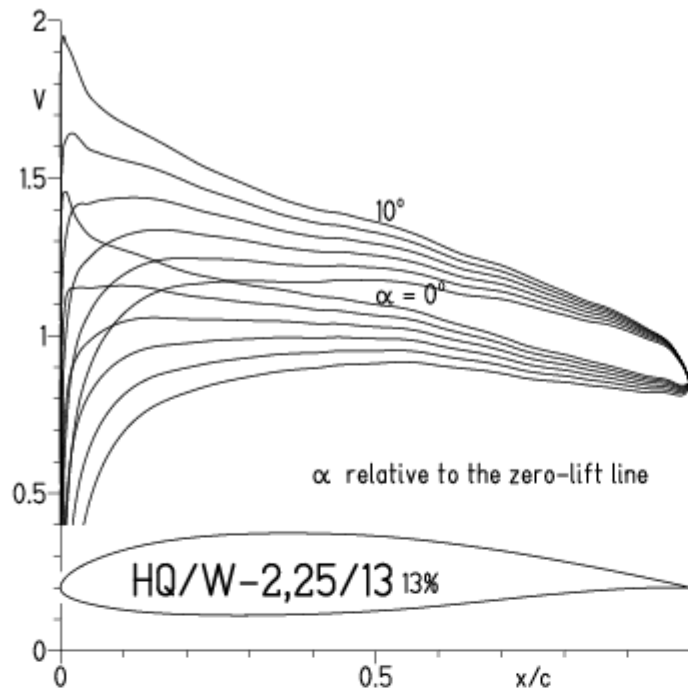


EPPLER 2005 V. 8.5.07 RUN 20.12.23 17:26



# HQ/W-2,25/13, N=9, (Turbulatoreffekt (optimal beim Maximum der Wölbung))

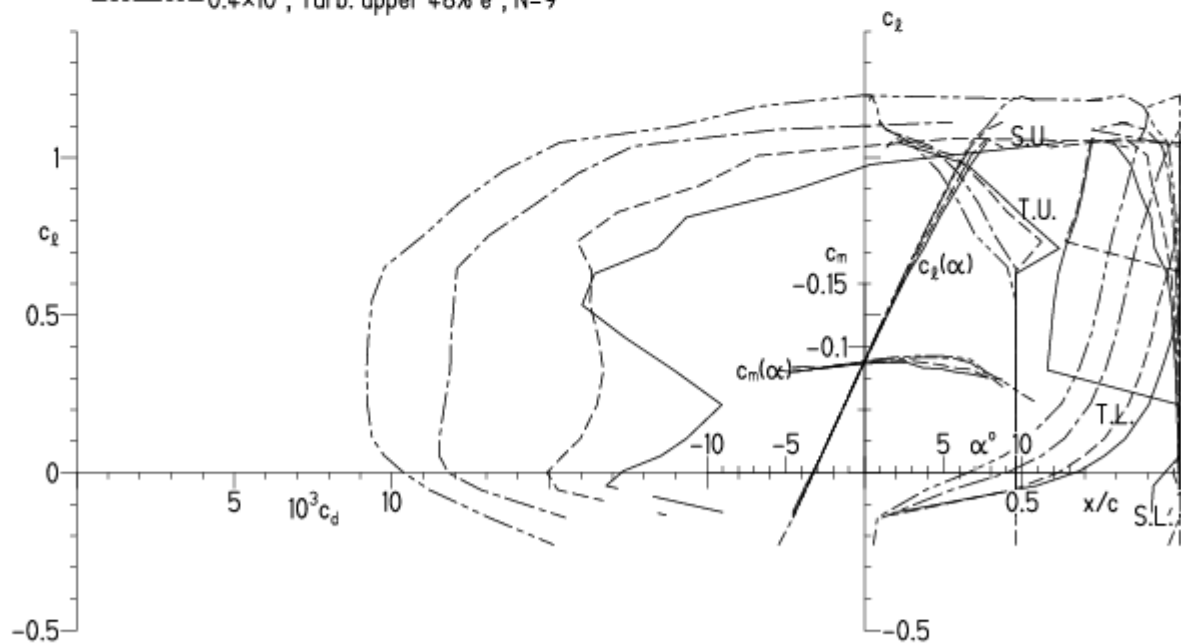
EPPLER 2005 V. 8.5.07 RUN 20.12.23 17:35



EPPLER 2005 V. 8.5.07 RUN 20.12.23 17:35

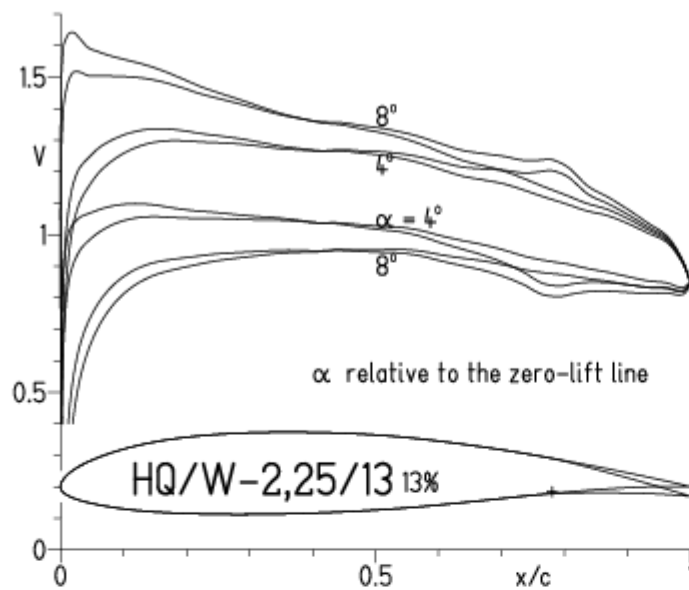
## HQ/W-2,25/13 13%

- $Re = 75\,000$ , Turb. upper 48%  $e^N$ , N=9
- - -  $0.1 \times 10^6$ , Turb. upper 48%  $e^N$ , N=9
- · -  $0.2 \times 10^6$ , Turb. upper 48%  $e^N$ , N=9
- - -  $0.4 \times 10^6$ , Turb. upper 48%  $e^N$ , N=9

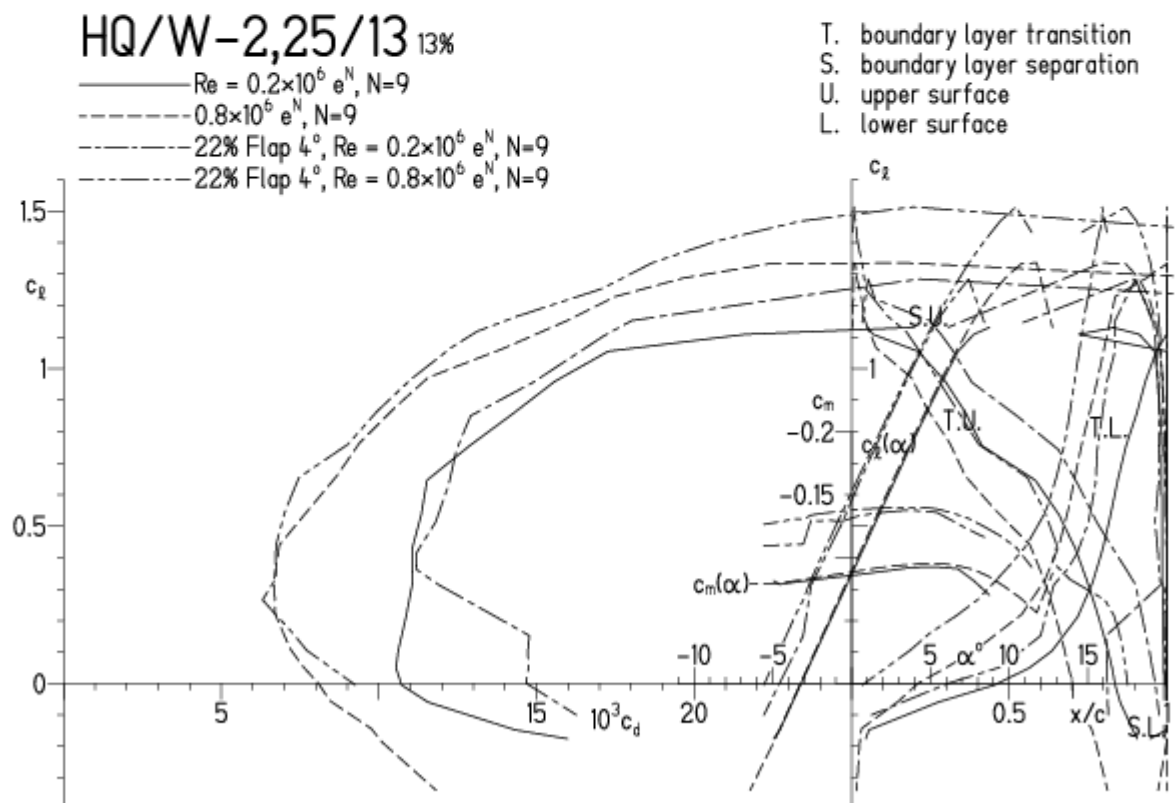


# HQW-2,25/13, N=9 mit +4° Wölbklappenausschlag

EPPLER 2005 V. 8.5.07 RUN 20.12.23 18:11



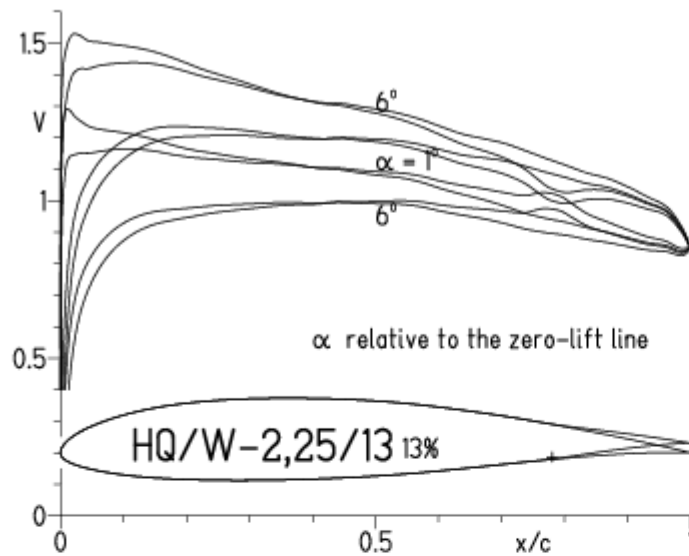
EPPLER 2005 V.



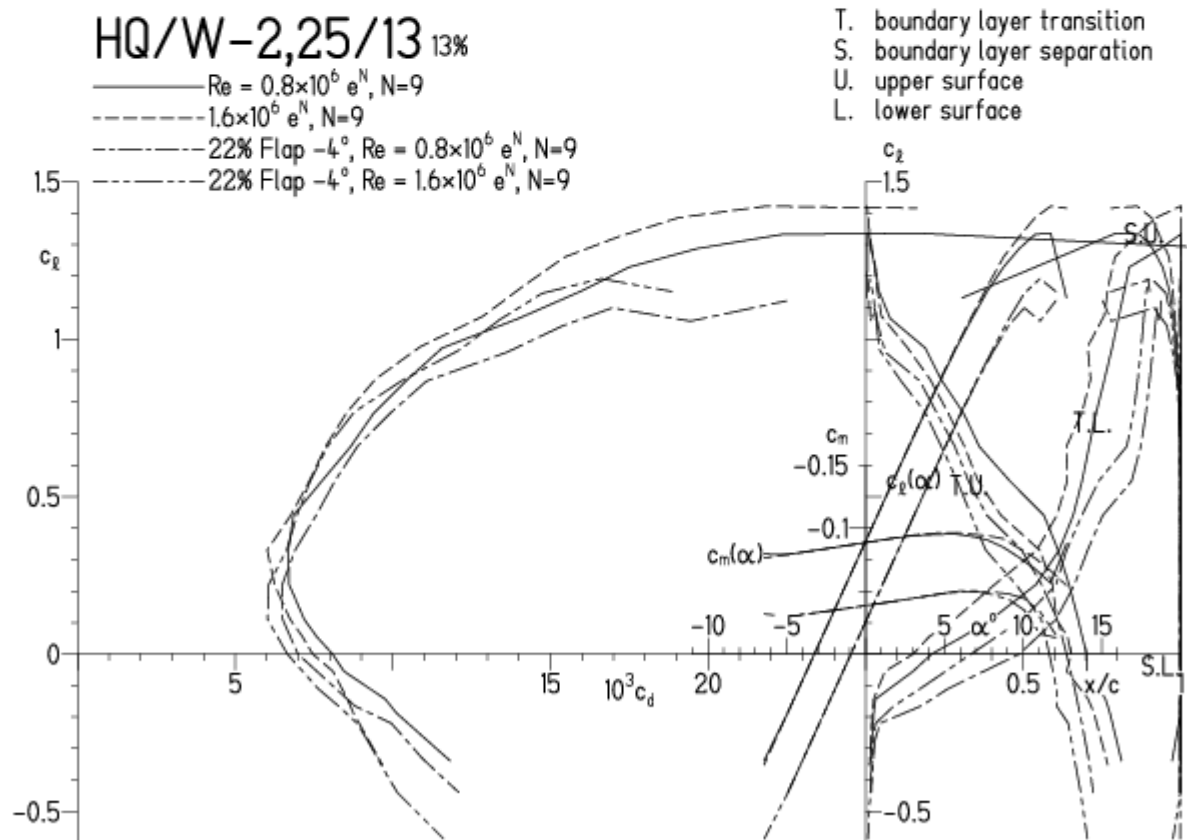


# HQW-2,25/13, N=9 mit $-4^\circ$ Wölbklappenausschlag

EPPLER 2005 V. 8.5.07 RUN 20.12.23 18:00

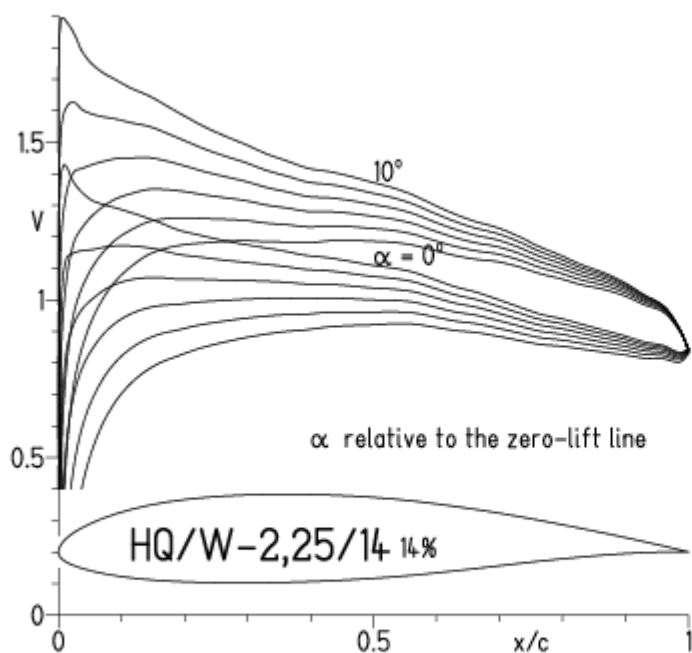


EPPLER 2005 V. 8.5.07 RUN 20.12.23 18:

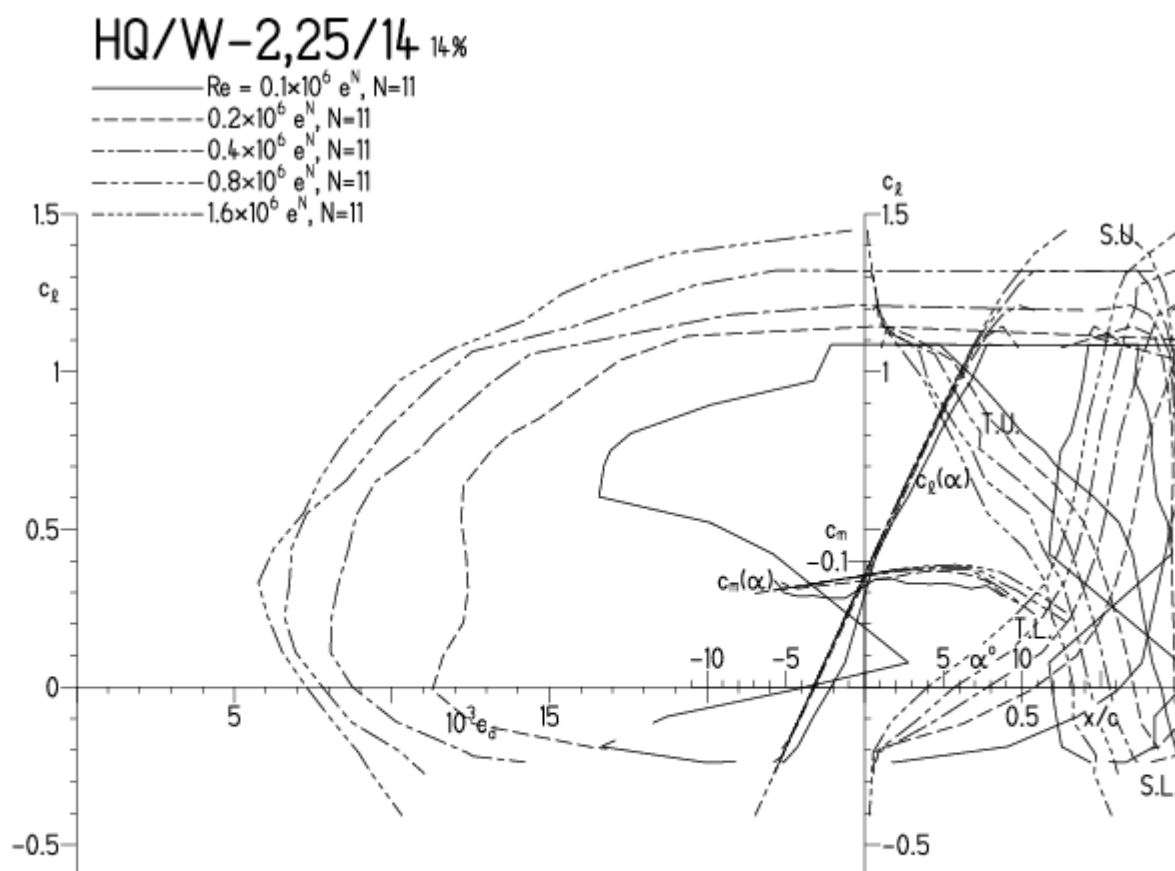


# HQ/W-2,25/14, N=11

EPPLER 2005 V. 8.5.07 RUN 21.12.23 17:12

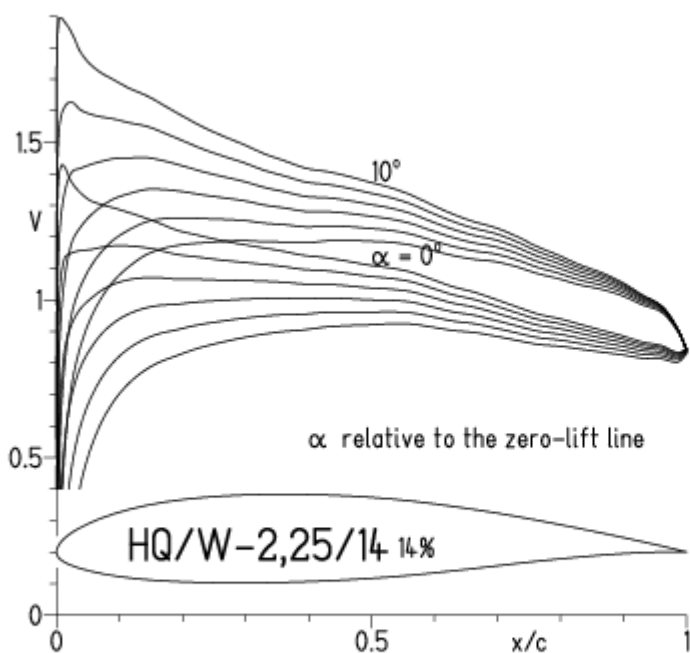


EPPLER 2005 V. 8.

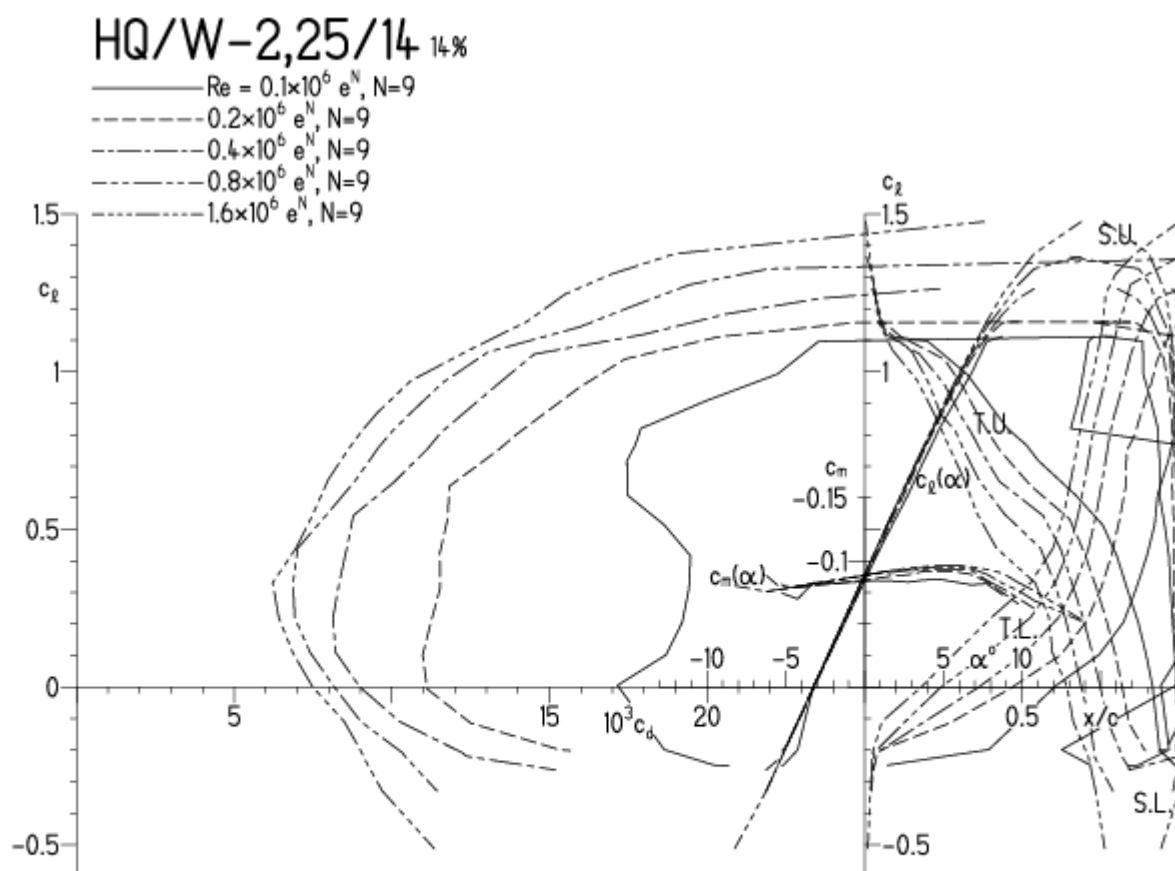


# HQ/W-2,25/14, N=9

EPPLER 2005 V. 8.5.07 RUN 21.12.23 17:20

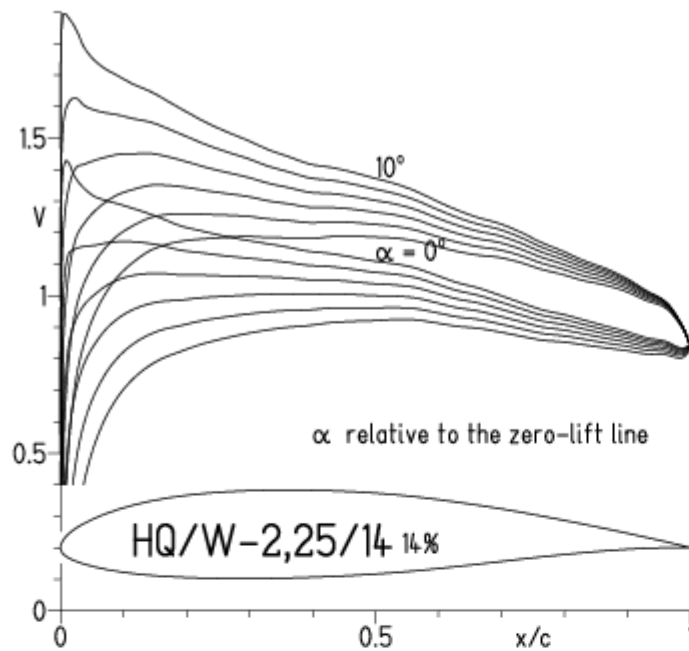


EPPLER 2005 V. 8.



# HQ/W-2,25/14, $N=9$ , (Turbulatoreffekt (optimal beim Maximum der Wölbung))

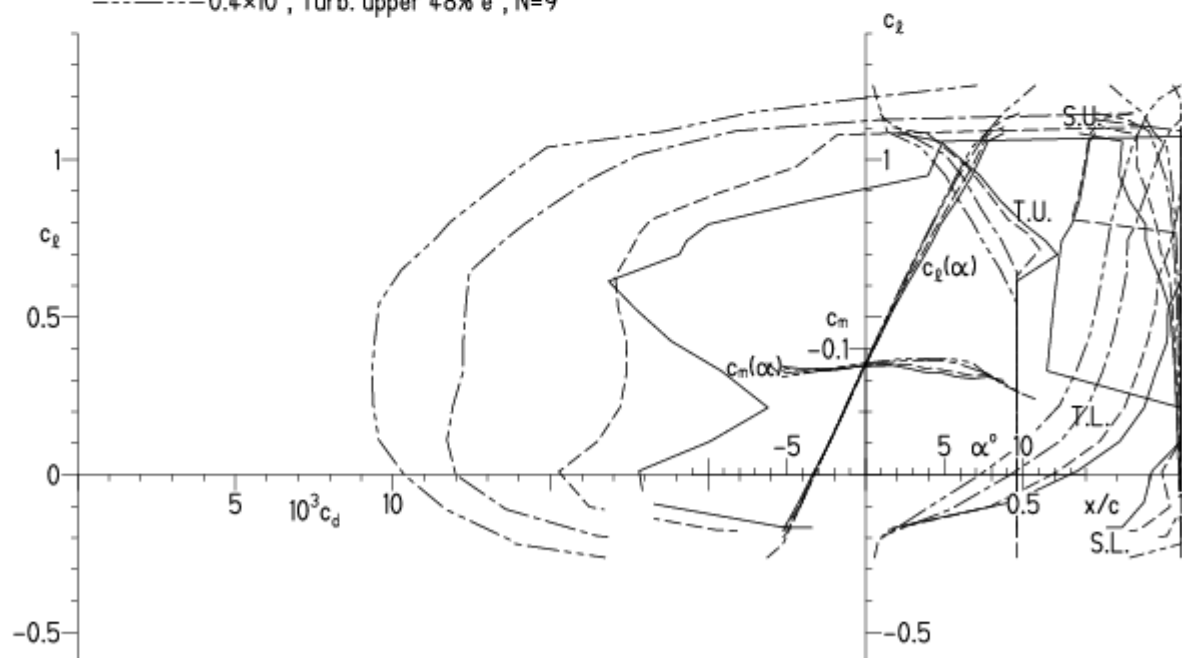
EPPLER 2005 V. 8.5.07 RUN 21.12.23 17:29



EPPLER 2005 V. 8.5.07 RU

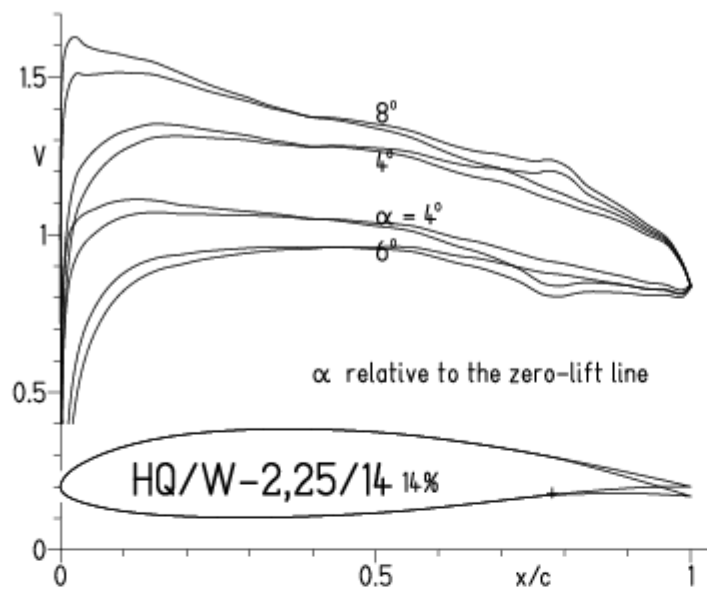
## HQ/W-2,25/14 14%

- $Re = 75\,000$ , Turb. upper 48%  $e^N$ ,  $N=9$
- - -  $0.1 \times 10^6$ , Turb. upper 48%  $e^N$ ,  $N=9$
- · -  $0.2 \times 10^6$ , Turb. upper 48%  $e^N$ ,  $N=9$
- - -  $0.4 \times 10^6$ , Turb. upper 48%  $e^N$ ,  $N=9$



# HQW-2,25/14, N=9 mit +4° Wölbklappenausschlag

EPPLER 2005 V. 8.5.07 RUN 21.12.23 17:56

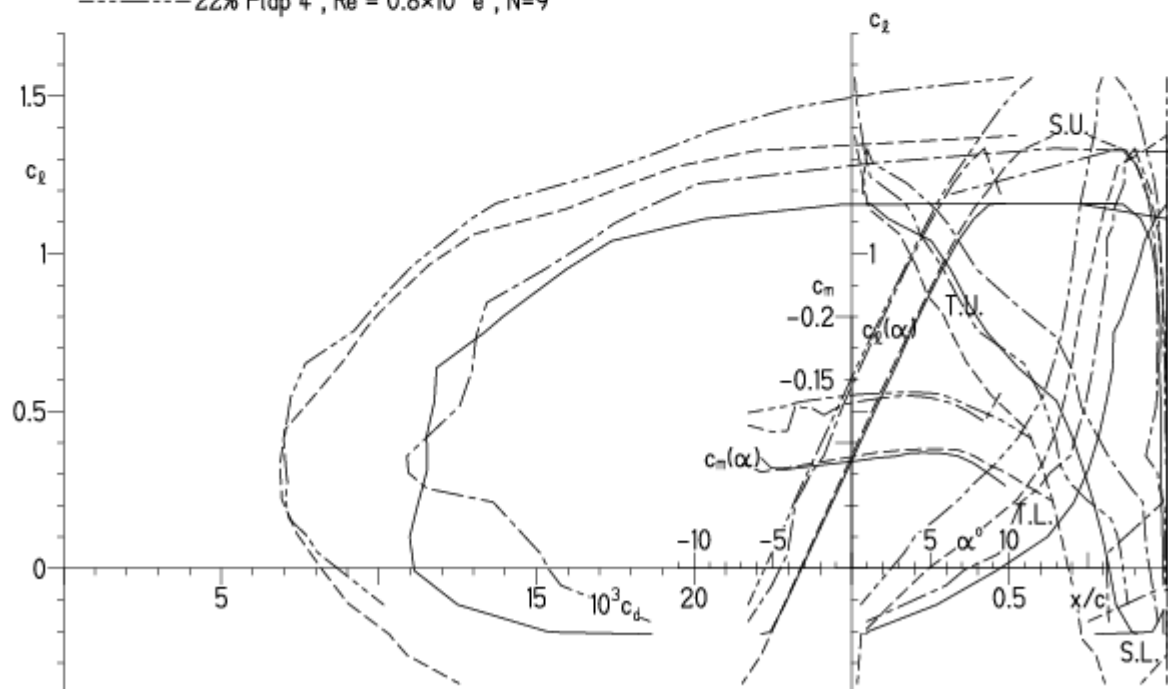


EPPLER 2005 V. 8.5.07 RUN 21.12.23 17:56

## HQ/W-2,25/14 14%

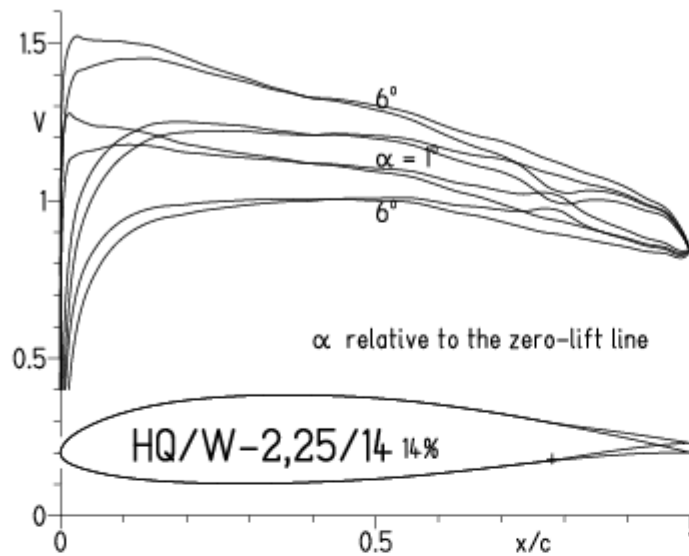
- $Re = 0.2 \times 10^6$  e<sup>N</sup>, N=9
- - -  $0.8 \times 10^6$  e<sup>N</sup>, N=9
- · - 22% Flap  $4^\circ$ ,  $Re = 0.2 \times 10^6$  e<sup>N</sup>, N=9
- · - 22% Flap  $4^\circ$ ,  $Re = 0.8 \times 10^6$  e<sup>N</sup>, N=9

- T. boundary layer transition
- S. boundary layer separation
- U. upper surface
- L. lower surface

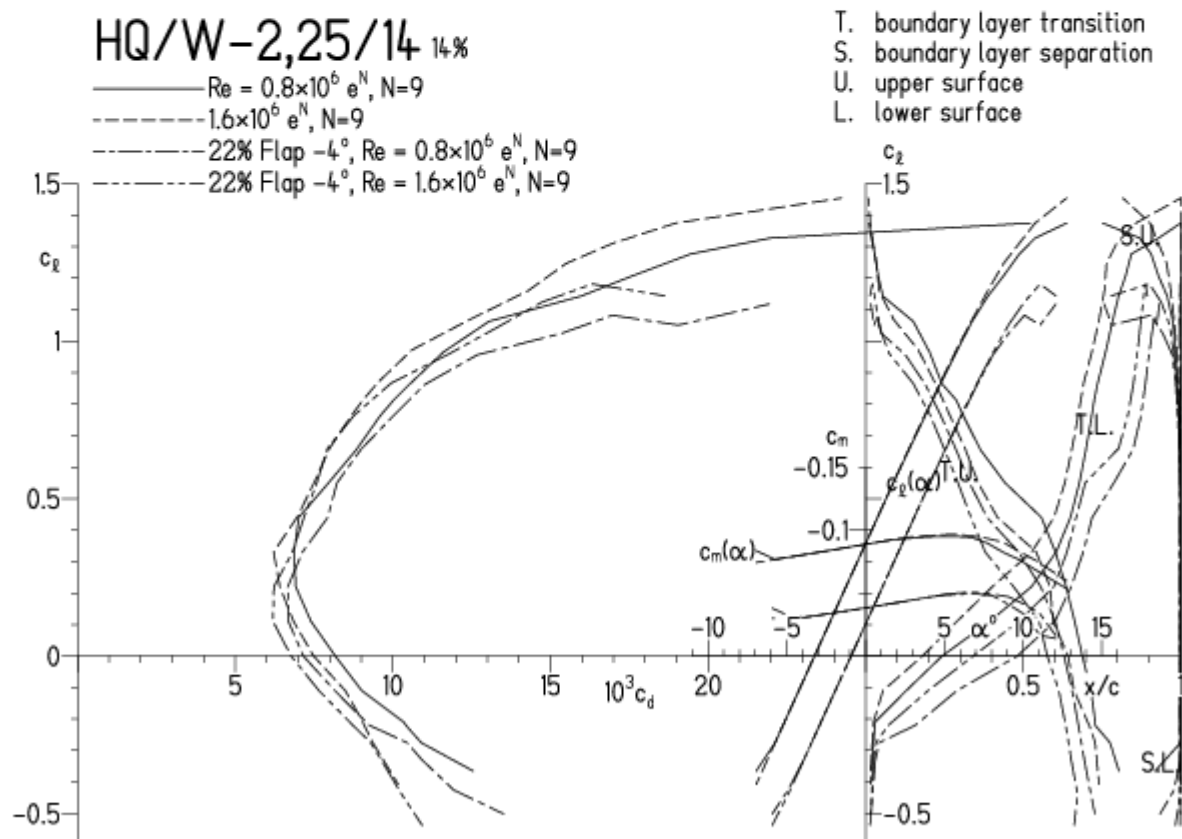


# HQW-2,25/14, N=9 mit -4° Wölbklappenausschlag

EPPLER 2005 V. 8.5.07 RUN 21.12.23 17:51

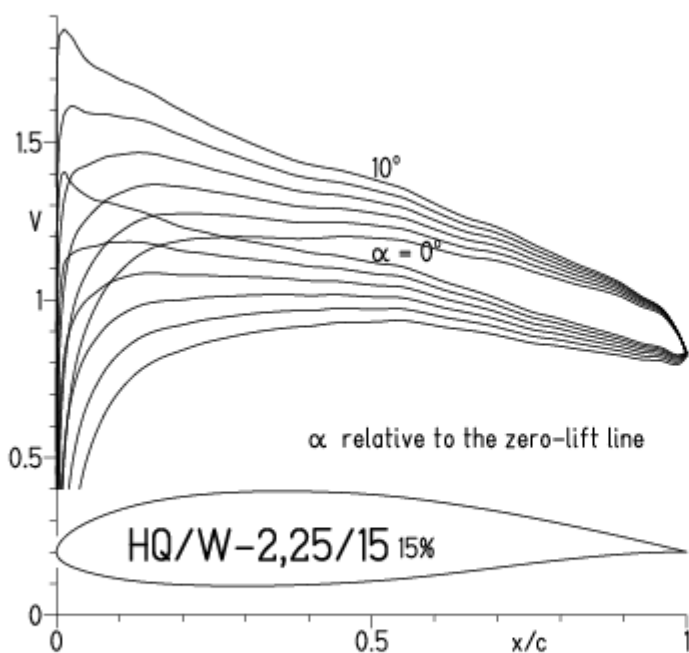


EPPLER 2005 V. 8.5.07

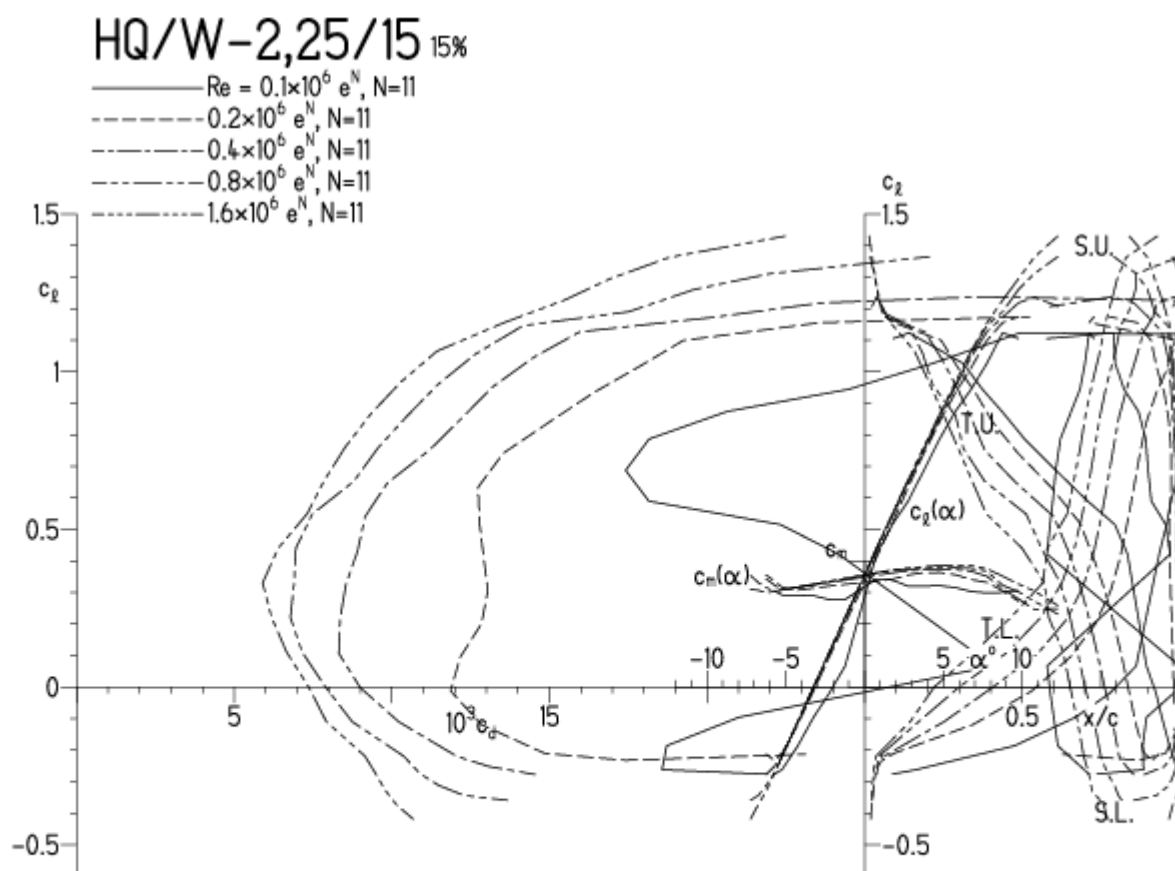


# HQ/W-2,25/15, N=11

EPPLER 2005 V. 8.5.07 RUN 22.12.23 11:31

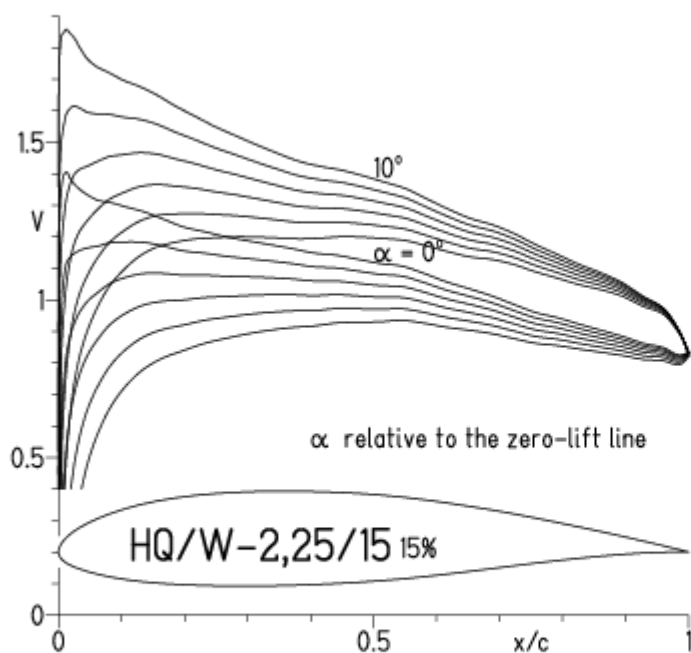


EPPLER 20

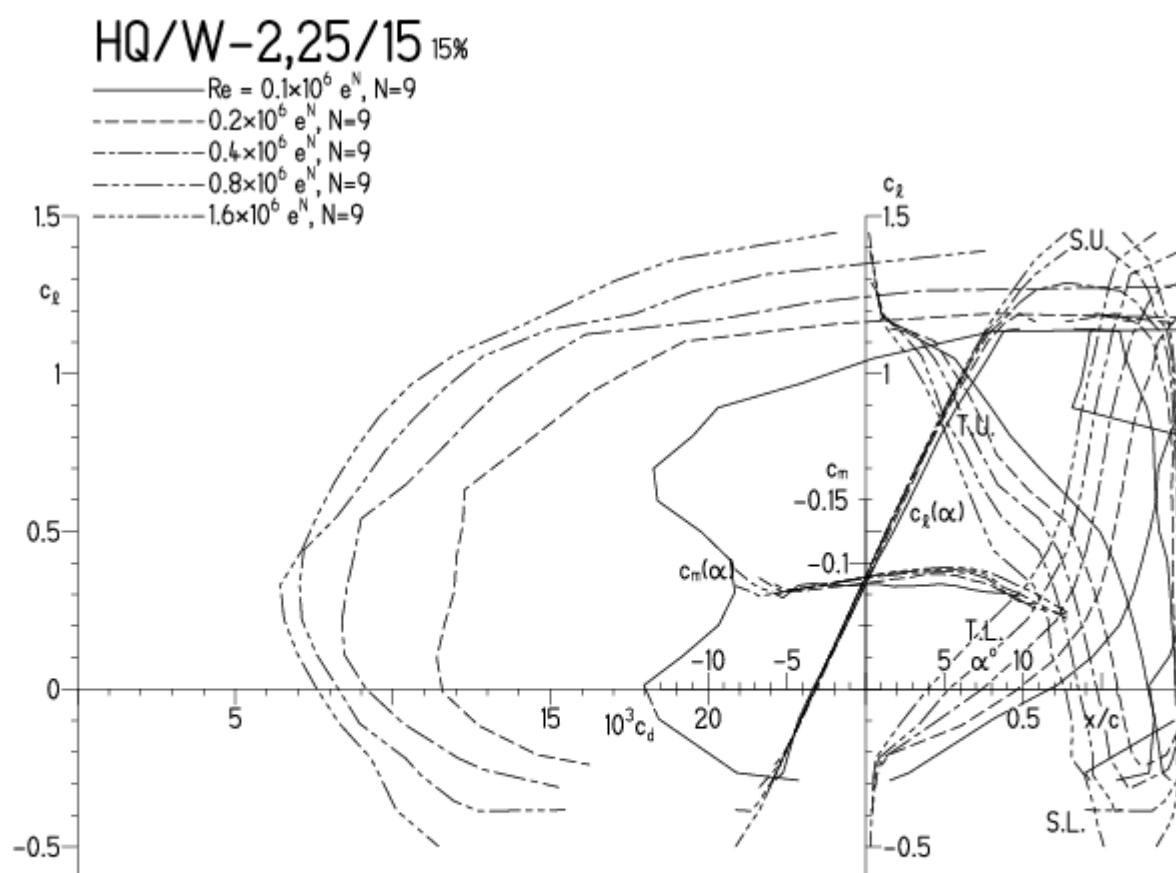


# HQ/W-2,25/15, N=9

EPPLER 2005 V. 8.5.07 RUN 22.12.23 11:25



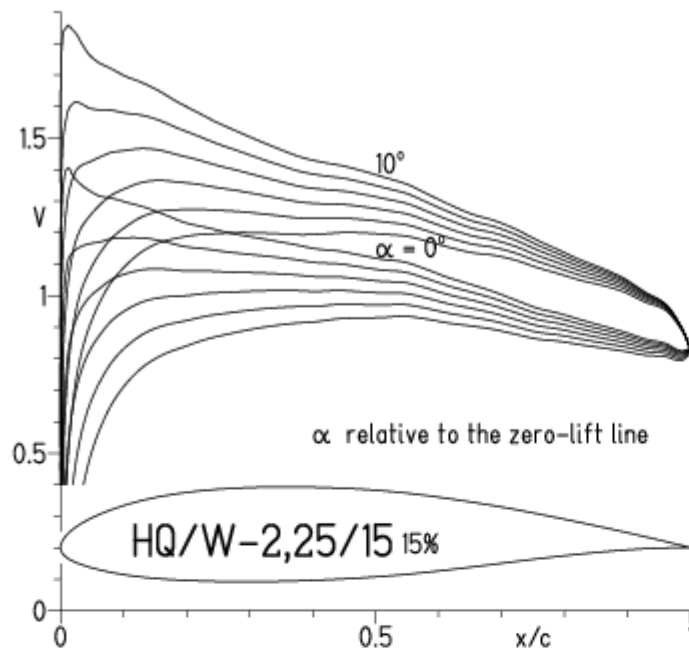
EPPLER 2005 V. 8.5.07 RUN 22.12.23 11





# HQ/W-2,25/15, N=9, (Turbulatoreffekt (optimal beim Maximum der Wölbung))

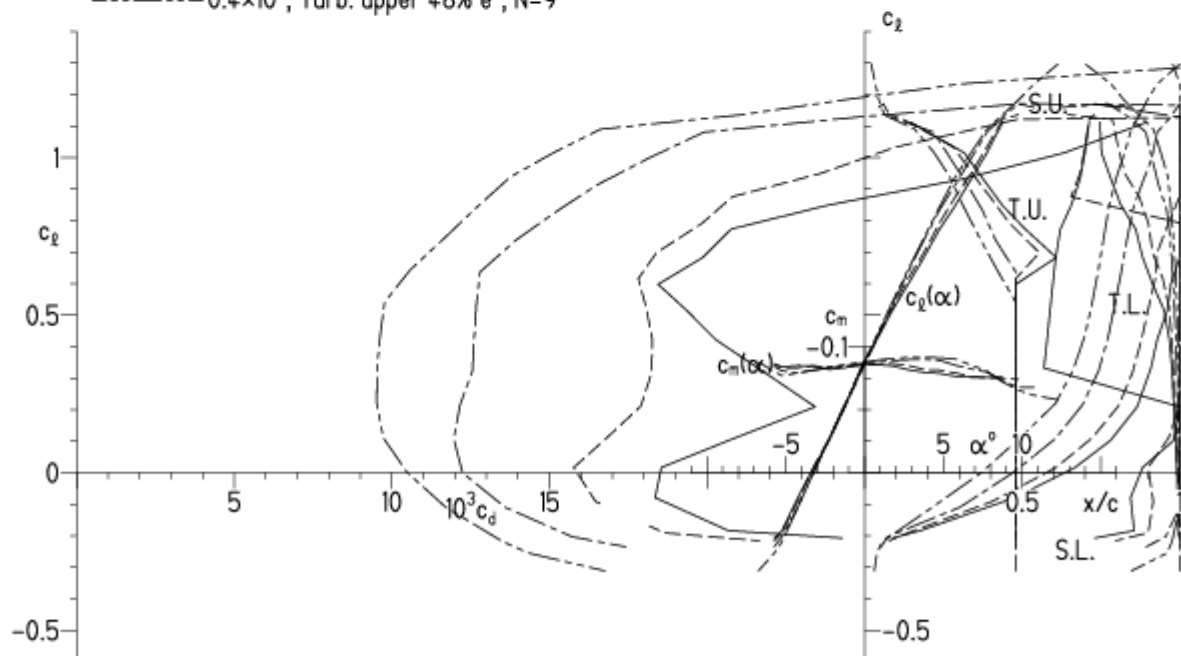
EPPLER 2005 V. 8.5.07 RUN 22.12.23 11:41



EPPLER 20

## HQ/W-2,25/15 15%

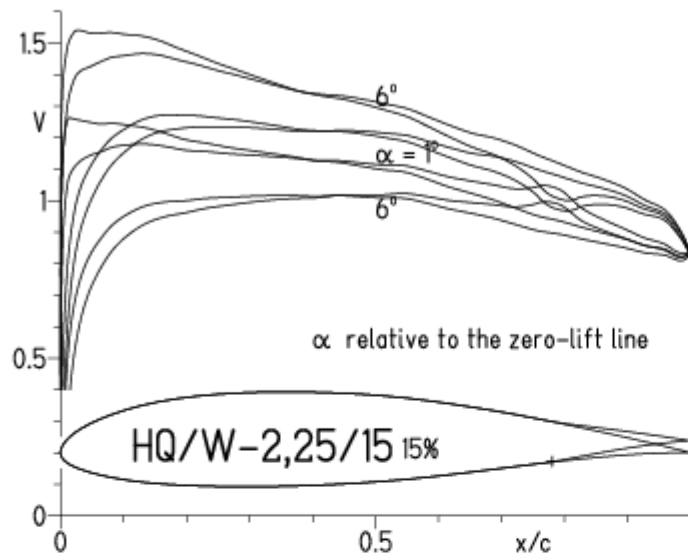
- $Re = 75\,000$ , Turb. upper 48%  $e^N$ ,  $N=9$
- - -  $0.1 \times 10^6$ , Turb. upper 48%  $e^N$ ,  $N=9$
- · -  $0.2 \times 10^6$ , Turb. upper 48%  $e^N$ ,  $N=9$
- - -  $0.4 \times 10^6$ , Turb. upper 48%  $e^N$ ,  $N=9$



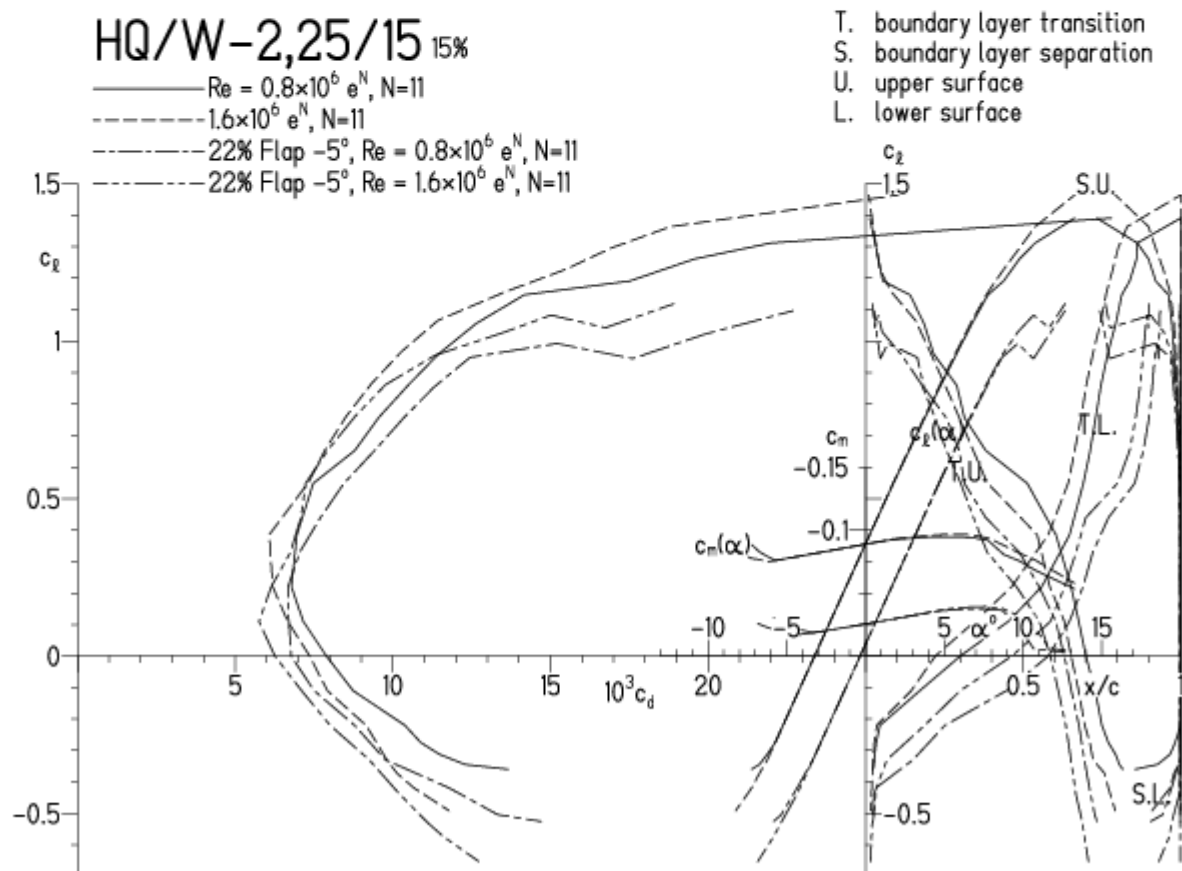
# HQW-2,25/15, N=9 mit +4° Wölbklappenausschlag

Bringt keine merkliche Verbesserung im Langsamflug.

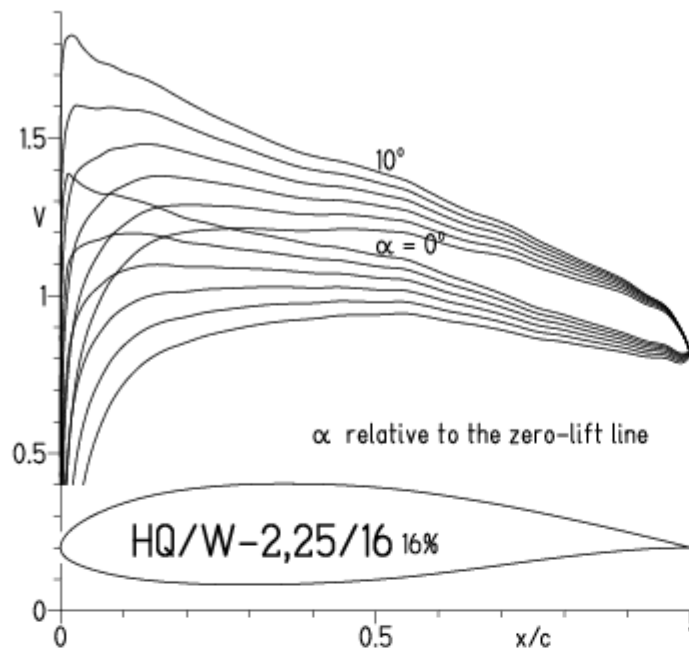
EPPLER 2005 V. 8.5.07 RUN 22.12.23 12:04



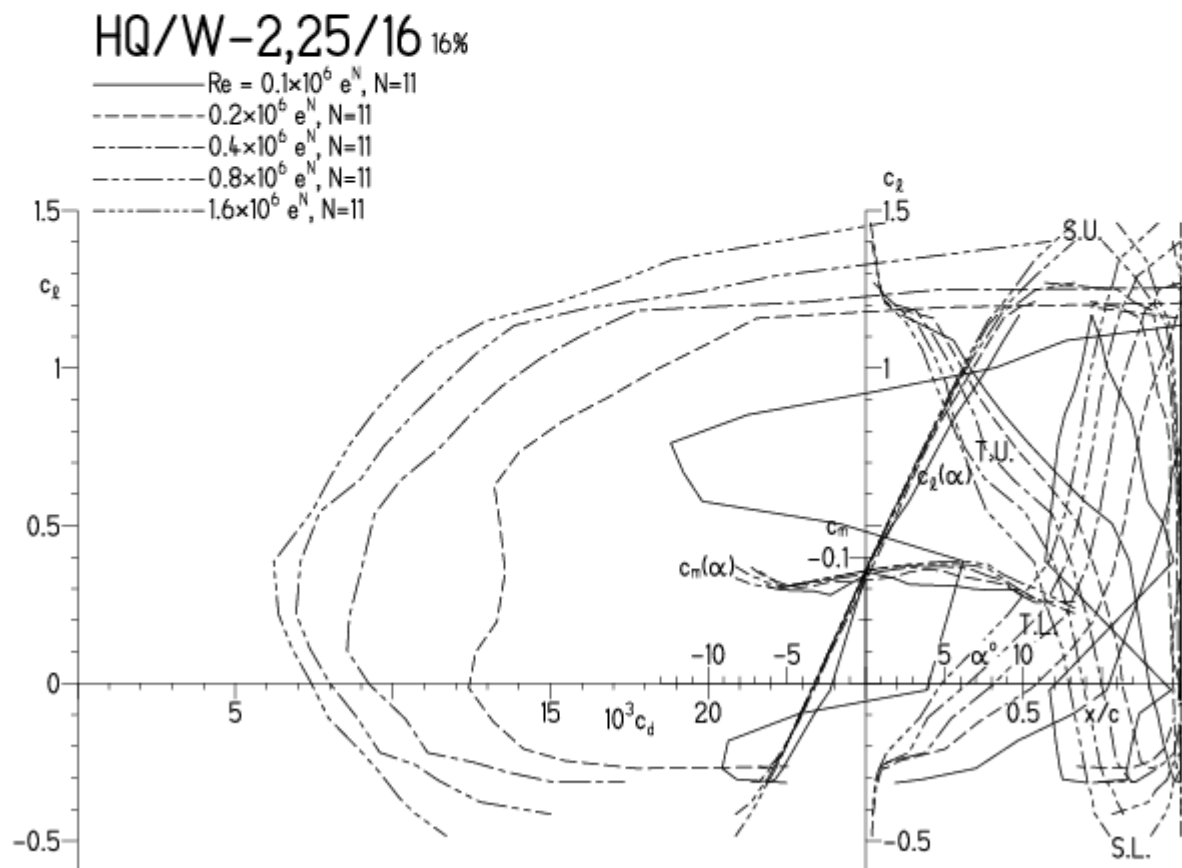
EPPLER 2005 V. 8.5.07 RUN 22.12.23 12:

HQ/W-2,25/16,  $N=11$

EPPLER 2005 V. 8.5.07 RUN 22.12.23 12:13

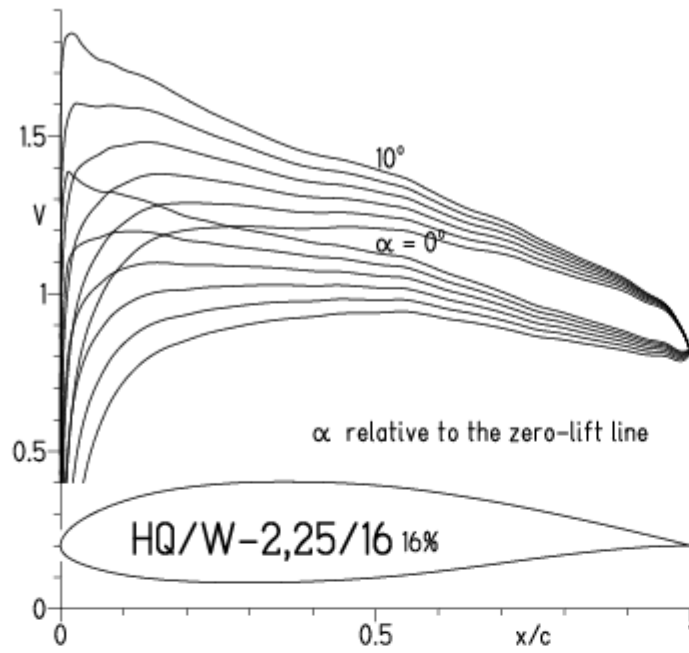


EPPLER 200

HQ/W-2,25/16,  $N=9$



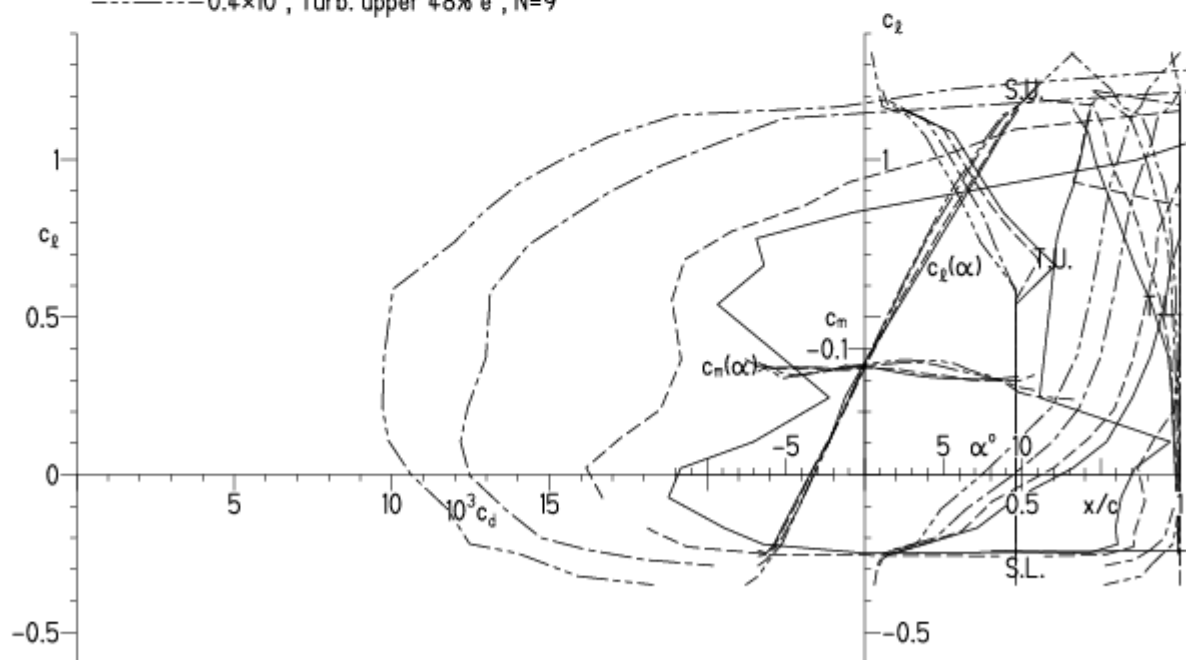
EPPLER 2005 V. 8.5.07 RUN 22.12.23 12:30



EPPLER 2005 V. 8.5.07 R

HQ/W-2,25/16 16%

- $Re = 75\,000$ , Turb. upper 48%  $e^N$ ,  $N=9$
- - -  $0.1 \times 10^6$ , Turb. upper 48%  $e^N$ ,  $N=9$
- · -  $0.2 \times 10^6$ , Turb. upper 48%  $e^N$ ,  $N=9$
- - -  $0.4 \times 10^6$ , Turb. upper 48%  $e^N$ ,  $N=9$

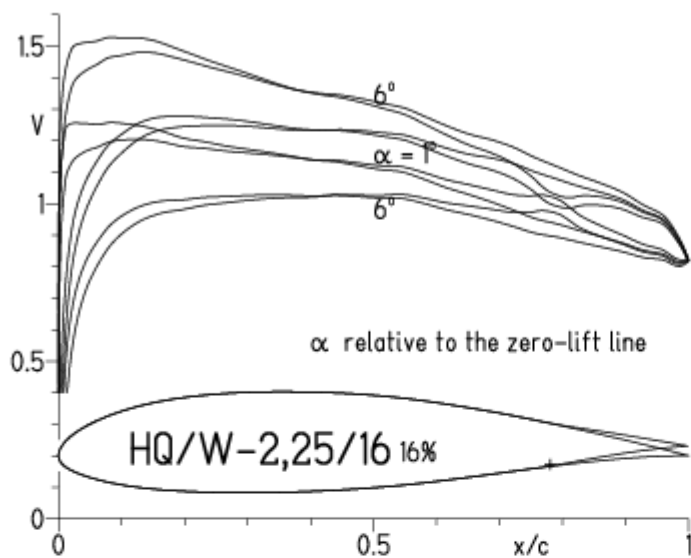


HQW-2,25/16,  $N=9$  mit  $+4^\circ$  Wölbklappenausschlag

Bringt keine merkliche Verbesserung im Langsamflug.

HQW-2,25/16, N=11 mit  $-4^\circ$  Wölbklappenausschlag

EPPLER 2005 V. 8.5.07 RUN 22.12.23 12:41



EPPLER 2005 V. 8.5.07 RUN 22.12.23 12:41

